



**GRIR – Groupe de recherche et  
d'intervention régionales**

**UN FJORD, UNE RIVIÈRE, UN LAC ET DES RUISSEAUX.**

**VARIABILITÉ CULTURELLE PALÉOHISTORIQUE SUR LE BASSIN  
HYDROGRAPHIQUE DE LA RIVIÈRE SAGUENAY (QUÉBEC, CANADA)**

**RECUEIL DE FIGURES**

**Par**

**ÉRIK LANGEVIN**

**UNIVERSITÉ DU QUÉBEC À CHICOUTIMI**

**2020**

## LISTE DES FIGURES

Figure 1 : Localisation des sites archéologiques du bassin hydrographique de la rivière Saguenay par grandes tranches chronologiques. Sous-région du lac Saint-Jean .....	1
Figure 2: Localisation des sites archéologiques du bassin hydrographique de la rivière Saguenay par grandes tranches chronologiques. Sous-région du Haut-Saguenay et du Bas-Saguenay.....	2
Figure 3: Gisements ayant livré des fragments osseux. Sous-région du lac Saint-Jean. ....	3
Figure 4: Gisements ayant livré des fragments osseux. Sous-région du Haut et du Bas-Saguenay.....	4
Figure 5: Gisements ayant livré des tessons de céramique amérindienne. Sous-région du lac Saint-Jean.....	5
Figure 6: Gisements ayant livré des tessons de céramique amérindienne. Sous-région du Haut et du Bas-Saguenay.....	6
Figure 7: Distribution des groupes Glen Meyer et Pickering entre 1000 et 650 A.A....	7
Figure 8 : Localisation des groupes Uren et des sites archéologiques dans le sud-est de l'Ontario. ....	8
Figure 9 : Les groupes Neutres, Ériés et les divisions Nord et Sud qui formèrent les Hurons-Pétuns .....	9
Figure 10 : Déplacement des groupes amérindiens entre 1530 et 1580 .....	10
Figure 11 : Différents types d'«ondulation» des Wenros .....	11
Figure 12 : Évolution de la morphologie des vases en céramique lors du sylvicole au Québec .....	12
Figure 13 : Distribution des matières premières lithiques dominantes sur les sites des sous-région du Bas et du Haut-Saguenay.....	13
Figure 14 : Distribution des matières premières lithiques dominantes sur les sites de sous-région du lac Saint-Jean. ....	14
Figure 15 : Territoire à l'étude. ....	15
Figure 16 : Caractéristiques hypsométriques du Saguenay–Lac-Saint-Jean .....	16
Figure 17: Projection hypsométrique de la mer de Laflamme .....	17
Figure 18 : Profil géologique du Saguenay–Lac-Saint-Jean .....	18
Figure 19 : Réseau hydrographique du Saguenay–Lac-Saint-Jean .....	19
Figure 20 : Principaux bassins versants du Saguenay–Lac-Saint-Jean .....	20
Figure 21: Accumulation de sédiments lors de la crue exceptionnelle de 1996 .....	211
Figure 22 : Caractéristiques écologiques du Saguenay–Lac-Saint-Jean .....	22

Figure 23 : Squelette de poisson découvert dans la stratigraphie du site DcEx-1, été 2002.....	23
Figure 24 : Subdivisions écogéographiques du bassin hydrographique de la rivière Saguenay.....	24
Figure 25 : Localisation des principaux sites mentionnés dans la thèse .....	25
Figure 26 : Carte de localisation des grottes du Saguenay.....	26
Figure 27: Sites DaEk-34 et 36.....	27
Figure 28: Site DaEm-a. ....	28
Figure 29: Distribution des sites archéologiques du sous-bassin de la rivière Sainte-Marguerite.....	29
Figure 30: Distribution des sites archéologiques du sous-bassin de la rivière à la Croix.....	30
Figure 31: Distribution des sites archéologiques du sous-bassin des rivières Chicoutimi, aux Écorces, Pikauba et Cyriac.....	31
Figure 32 : Sous-bassin de la rivière Chicoutimi, site DcEs-1 .....	32
Figure 33 : Sous-bassin de la rivière Chicoutimi, site DcEs-1, localisation des différentes interventions archéologiques.....	33
Figure 34: Distribution des sites archéologiques du sous-bassin de la rivière Belle-Rivière.....	34
Figure 35: Distribution des sites archéologiques du sous-bassin des rivières Grande et Petite-Décharge.....	35
Figure 36: Distribution des sites archéologiques du sous-bassin de la rivière Métabetchouane. ....	36
Figure 37: Distribution des sites archéologiques du sous-bassin de la rivière Ouiatchouan. ....	37
Figure 38: Distribution spatiale des sites archéologiques du sous-bassin de la rivière Ticouapé. ....	38
Figure 39: Distribution spatiale des sites archéologiques du sous-bassin de la rivière Ashuapmushuan. ....	39
Figure 40 : Schéma des fouilles effectuées sur le site DhFk-7 .....	40
Figure 41 : Distribution spatiale des sites archéologiques du sous-bassin de la rivière Pérignonka. ....	41
Figure 42 : DjEt-1, aperçu du site .....	42
Figure 43: DcEp-3, distribution en pourcentage des matières premières lithiques... ..	43
Figure 44: DcEp-3, distribution spatiale des fragments osseux .....	44
Figure 45: Site DcEp-5, station B, aire N300W300. Distribution spatiale des différentes catégories de vestiges .....	45

Figure 46: Site DcEp-5, station B, vestige d'une tente de sudation.....	46
Figure 47 : DcEx-1, distribution des perles de verre de la période française sur l'aire de fouille principale .....	47
Figure 48 : Extrait de la carte de Guillaume Le Testu .....	48
Figure 49 : Extrait d'une carte anonyme .....	49
Figure 50: Extrait de la carte de Pierre Desceliers .....	50
Figure 51 : Extrait de la carte de Mercator .....	51
Figure 52 : Extrait de la carte de Cornelis .....	52
Figure 53 : Extrait de la carte de Matthias Quad .....	53
Figure 54 : Carte de Cornelius Wytfliet .....	54
Figure 55 : Extrait de la carte de Matthias Quad .....	55
Figure 56 : Extrait de la carte de Champlain.....	56
Figure 57 : Extrait d'une carte anonyme .....	57
Figure 58 : Extrait d'une carte anonyme d'après celle de Samuel de Champlain .....	58
Figure 59 : Extrait d'une carte de l'atelier Delisle .....	59
Figure 60 : Extrait d'une carte de Pierre Laure du lac Saint-Jean.....	60
Figure 61 : Extrait d'une carte de Pierre Laure du Saguenay.....	61
Figure 62 : Carte de Nicolas Bellin.....	62
Figure 63 : Distribution des sites archéologiques du Bas et du Haut-Saguenay selon leurs composantes chronologiques. ....	63
Figure 64 : Site DbEl-9, station B, plan de la surface fouillée.....	64
Figure 65 : Station B du site DbEl-9, stratigraphie. ....	65
Figure 66: Site DbEl-9, station B, ventilation des matières premières lithiques, 2000 à 2003. ....	66
Figure 67 : Site DbEl-9, station A, plan de la surface fouillée.....	67
Figure 68 : Site DbEl-9, station A, ventilation des matières premières lithiques, 1999 à 2007.....	68
Figure 69 :Site DbEl-9, station A, éléments structuraux.....	69
Figure 70 : Carte topographique de l'Anse-à-la-Croix, échelle 1 : 50 000.....	70
Figure 71: Site DcEp-2, interventions annuelles, années 1996 à 2013 .....	71
Figure 72 : Site DcEp-2, aire de combustion. ....	72
Figure 73 : Site DcEp-2, trou de poteau. ....	73
Figure 74 : Site DcEp-2, ventilation des matières premières lithiques, années 1996 à 2013.....	74

Figure 75 : Site DcEp-2, distribution des vestiges lithiques en fonction de leur provenance présumée, années 1996 à 2019 (Plourde, Bouchard, Pilette et Langevin 2020) .....	75
Figure 76 : Site DcEp-2, distribution des vestiges céramiques, années 1996 à 2012... ..	76
Figure 77 : Site DcEp-2, distribution horizontale des tessons attribués au Sylvicole moyen tardif.....	77
Figure 78 : Site DcEp-2, distribution horizontale des tessons attribués au Sylvicole moyen tardif/Sylvicole supérieur ancien.....	78
Figure 79: Figure 79: site DcEp-2, distribution des vestiges osseux, années 1996 à 2019 (Plourde, Bouchard, Pilette et Langevin 2020) .....	79
Figure 80: Site DcEp-5, station A. Interventions annuelles, années 2002 à 2013.....	80
Figure 81 : Station A, site DcEp-5, ancrage pour poteau.....	81
Figure 82: Site DcEp-5, station A. Ventilation des matières premières lithiques, années 2002 à 2013.....	82
Figure 83: Site DcEp-5, station A. Distribution horizontale de l'ensemble des témoins céramiques .....	83
Figure 84: Site DcEp-5, station A. Distribution horizontale des tessons attribués au Sylvicole supérieur médian .....	84
Figure 85: Site DcEp-5, station A. Distribution horizontale des tessons attribués au Sylvicole moyen tardif.....	85
Figure 86: Site DcEp-5, station A. Distribution horizontale des tessons attribués au Sylvicole moyen ancien.....	86
Figure 87: Site DcEp-5, station A. Distribution des vestiges osseux, années 2002 à 2013.....	87
Figure 88: Site DcEp-5, station A, distribution des structures, années 2002 à 2013 ...	88
Figure 89: Site DcEp-5, station A, distribution des vestiges lithiques en fonction de leur provenance présumée, années 2002 à 2013.....	89
Figure 90: site DcEp-5, station B, interventions annuelles, années 2002 à 2019 (Plourde, Bouchard, Pilette et Langevin 2020).....	90
Figure 91: site DcEp-5, station B, structure de combustion, aire N100W100, années 2018-2019 (Plourde, Bouchard, Pilette et Langevin 2020) .....	91
Figure 92: Site DcEp-5, station B, ventilation des matières premières lithiques, années 2002 à 2013.....	92
Figure 93: Site DcEp-5, station B, distribution des vestiges céramiques, années 2002 à 2013.....	93
Figure 94: Site DcEp-5, station B, distribution des vestiges osseux, années 2002 à 2013.....	94
Figure 95 : Plan original des aires de combustion lors de la fouille du site DcEs-1 (1969-1972) .....	95

Figure 96 : Site DcEs-1, structure de combustion 129, fouilles 1969 à 1972. ....	96
Figure 97 : DcEs-1, ventilation des matières premières lithiques pour les déchets de taille .....	97
Figure 98 : DcEs-1, ventilation des matières premières lithiques pour les objets transformés. ....	98
Figure 99 : DgEs-1, localisation du site.....	99
Figure 100 : DgEs-1, ventilation des matières premières lithiques toute typologie confondue. ....	100
Figure 101 : Site DgEs-1, aire de combustion.....	101
Figure 102 : Site DgEs-1, galets présumément associés à une activité de sudation. .	102
Figure 103 : Distribution des sites archéologiques sur la portion sud des Basses et Hautes-terres du lac Saint-Jean selon leurs composantes chronologiques. ....	103
Figure 104 : Distribution des sites archéologiques sur la portion nord des Basses et Hautes-terres du lac Saint-Jean selon leurs composantes chronologiques. ....	104
Figure 105 : Distribution spatiale des gisements régionaux selon le nombre de vestiges présents dans les assemblages. Sous-régions du lac Saint-Jean. ....	105
Figure 106: Distribution spatiale des gisements régionaux selon le nombre de vestiges présents dans les assemblages. Sous-régions du Haut et Bas-Saguenay. ....	106
Figure 107: Distribution spatiale des gisements régionaux selon le type d'activité archéologique. Sous-régions du lac Saint-Jean. ....	107
Figure 108: Distribution spatiale des gisements régionaux selon le type d'activité archéologique. Sous-région du Haut et du Bas-Saguenay. ....	108
Figure 109: Distribution spatiale des gisements régionaux ayant livré de la céramique du Sylvicole supérieur. Sous-région du lac Saint-Jean. ....	109
Figure 110 : Distribution par matière première dominante des sites des Basses-terres du lac Saint-Jean contenant plus de 50 objets lithiques.....	110
Figure 111 : DcEx-1, ventilation des matières premières lithiques toute typologie confondue. ....	111
Figure 112 : Site DcFa-5, distribution des matières premières.....	112
Figure 113 : Environ du site DcFa-5 en 1926, au moment de la mise en eau du réservoir du lac Saint-Jean .....	113
Figure 114 : Site DhFk-7, ventilation des matières premières lithiques chez le débitage.....	114
Figure 115 : Sites à céramique de la rivière Ashuapmushuan, ventilation des matières premières lithiques. ....	115

Figure 116: Distribution spatiale des gisements régionaux ayant livré de la céramique du Sylvicole moyen. Sous-régions du lac Saint-Jean.....	116
Figure 117 : Site DeFc-1/9, distribution des matières premières.....	117
Figure 118 : Site DfEu-3, distribution des matières premières.....	118
Figure 119 : Site DfEu-2, distribution des matières premières.....	119
Figure 120: Site DfEu-2, aire de combustion observée en surface du site par eaux basses .....	120
Figure 121: Site DfEu-2, aire de combustion observée en surface du site par eaux basses.....	121
Figure 122 : DjEt-1, aire E.1, sol rubéfié .....	122
Figure 123: DjEt-1, aire E.1, amoncellement de pierres chauffées.....	123
Figure 124 : Site DjEt-1, section E, distribution des matières premières. ....	124
Figure 125: Distribution spatiale des gisements régionaux ayant livré des vestiges du Sylvicole inférieur. Sous-région du lac Saint-Jean. ....	125
Figure 126: Distribution spatiale des gisements régionaux ayant livré des pointes de jet de type Adéna, Turkey-Tail et Meadowood.....	126
Figure 127 : Secteur du site DcEw-6 avant l'érosion des berges .....	127
Figure 128 : Occurrence de céramique du Sylvicole moyen dans l'estuaire du fleuve Saint-Laurent jusqu'à Baie-Sainte-Catherine.....	128
Figure 129 : Occurrence de céramique du Sylvicole moyen sur la Haute Côte-Nord.....	129
Figure 130 : Tracé théorique de déplacement sur le fjord du Saguenay, secteur anse à la Croix.....	130
Figure 131 : Site DcEp-2, ourlet d'habitation .....	131
Figure 132: Distribution par matière première dominante des sites des Hautes-terres du lac Saint-Jean contenant plus de 50 objets lithiques. Section sud.....	132
Figure 133: Distribution par matière première dominante des sites des Hautes-terres du lac Saint-Jean contenant plus de 50 objets lithiques. Section nord .....	133
Figure 134: Distribution par matière première dominante des sites des Hautes-terres du lac Saint-Jean contenant plus de 50 objets lithiques. Section ouest.....	134
Figure 135 : Niveaux historiques mensuels du lac Saint-Jean .....	135
Figure 136 : Extrait d'une carte de l'atelier Sanson 1656 .....	136
Figure 137 : Extrait d'une carte de l'atelier Sanson 1690 .....	137
Figure 138 : Extrait de la carte de Joliet 1679.....	138

Figure 139 : Géographie humaine à la fin de la Protohistoire.....	139
Figure 140 : Géographie humaine au Sylvicole Supérieur et au début de la Protohistoire.....	140
Figure 141 : Géographie humaine lors du Sylvicole moyen tardif.....	141
Figure 142 : Géographie humaine lors du Sylvicole moyen ancien.....	142
Figure 143 : Géographie humaine lors du Sylvicole inférieur.....	143
Figure 144 : Géographie humaine lors de l'Archaïque supérieur.....	144

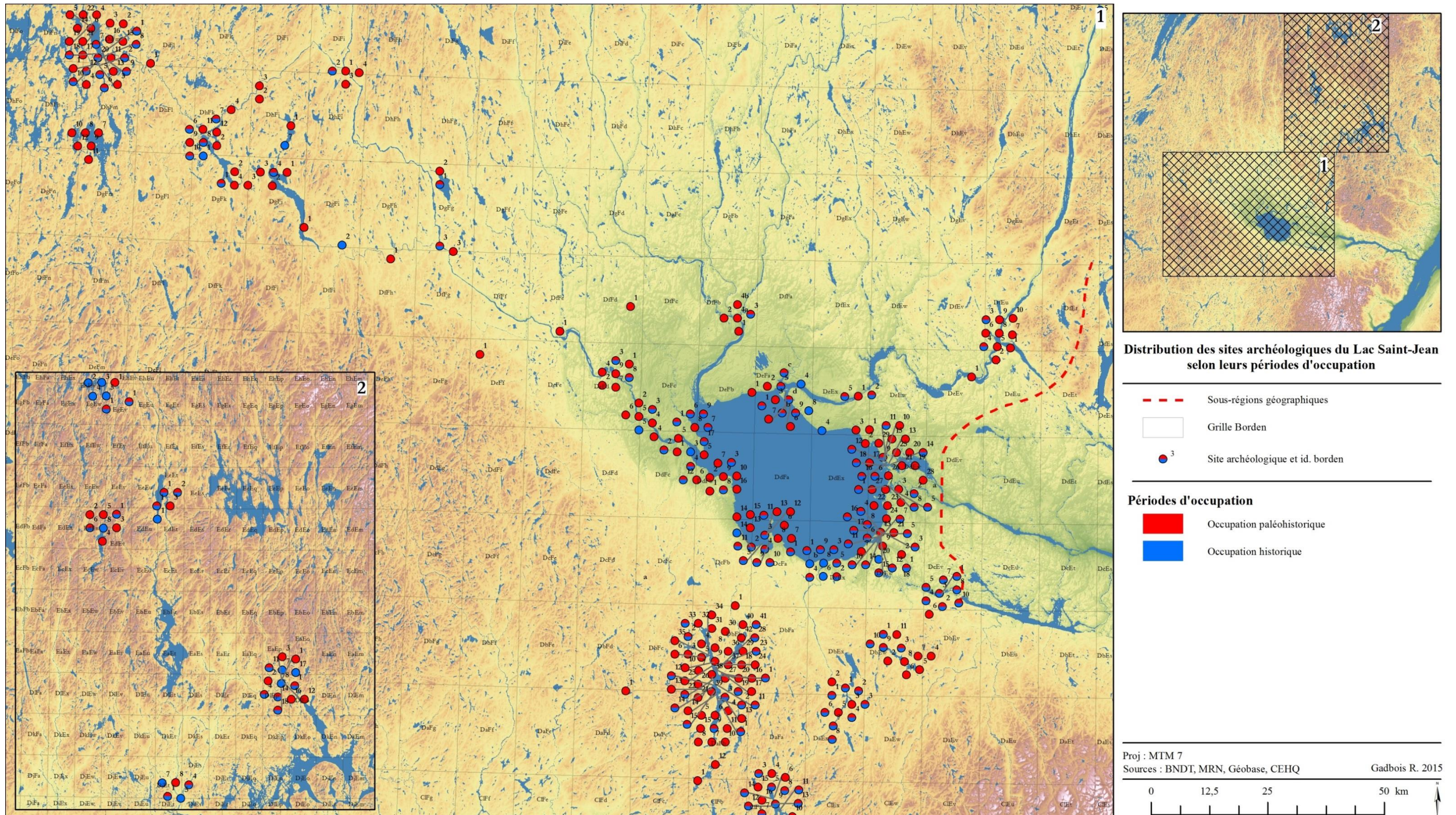


Figure 1 : Localisation des sites archéologiques du bassin hydrographique de la rivière Saguenay par grandes tranches chronologiques. Sous-régions du lac Saint-Jean

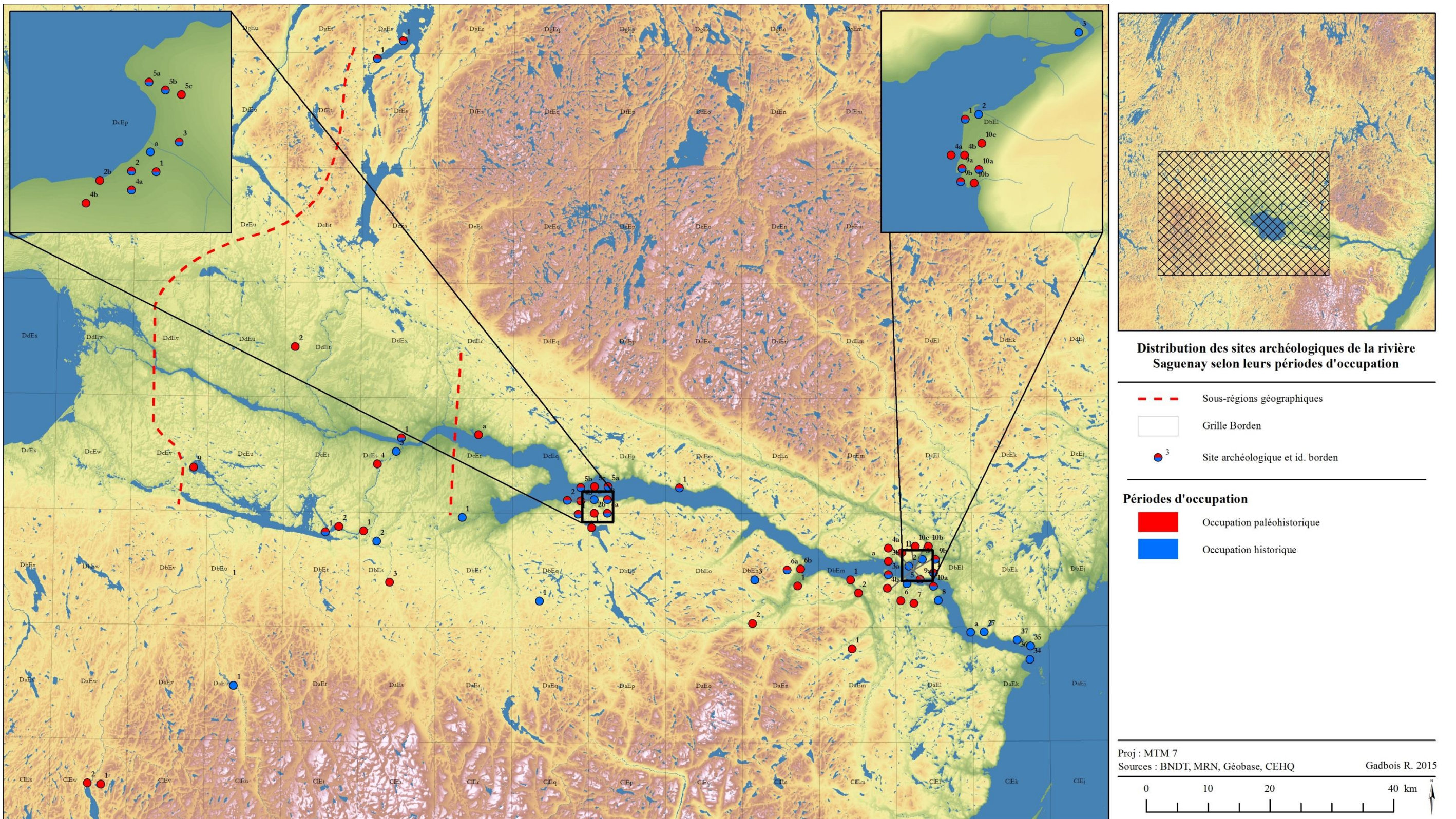


Figure 2: Localisation des sites archéologiques du bassin hydrographique de la rivière Saguenay par grandes tranches chronologiques. Sous-régions du Haut-Saguenay et du Bas-Saguenay

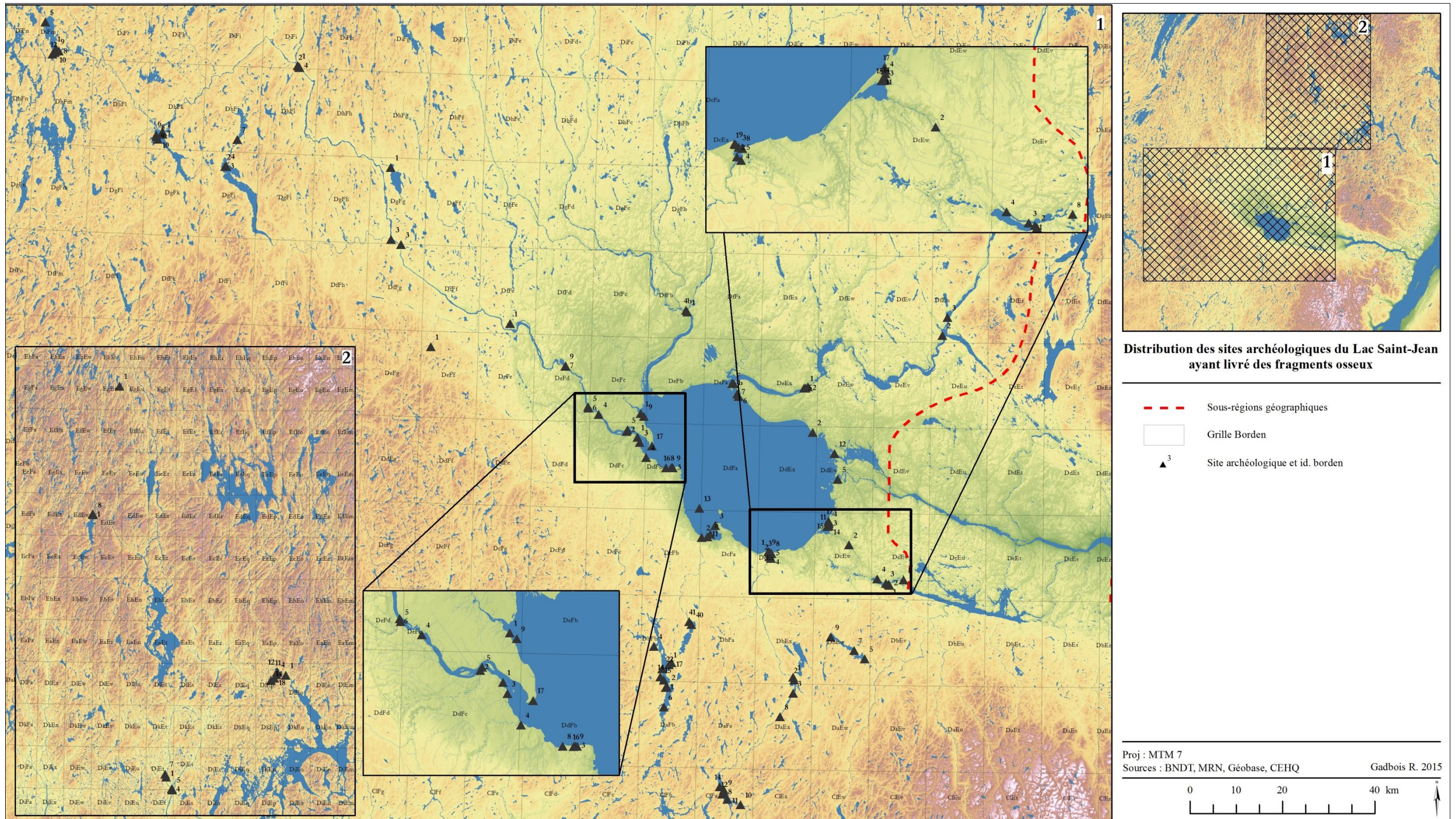


Figure 3: Gisements ayant livré des fragments osseux. Sous-région du lac Saint-Jean.

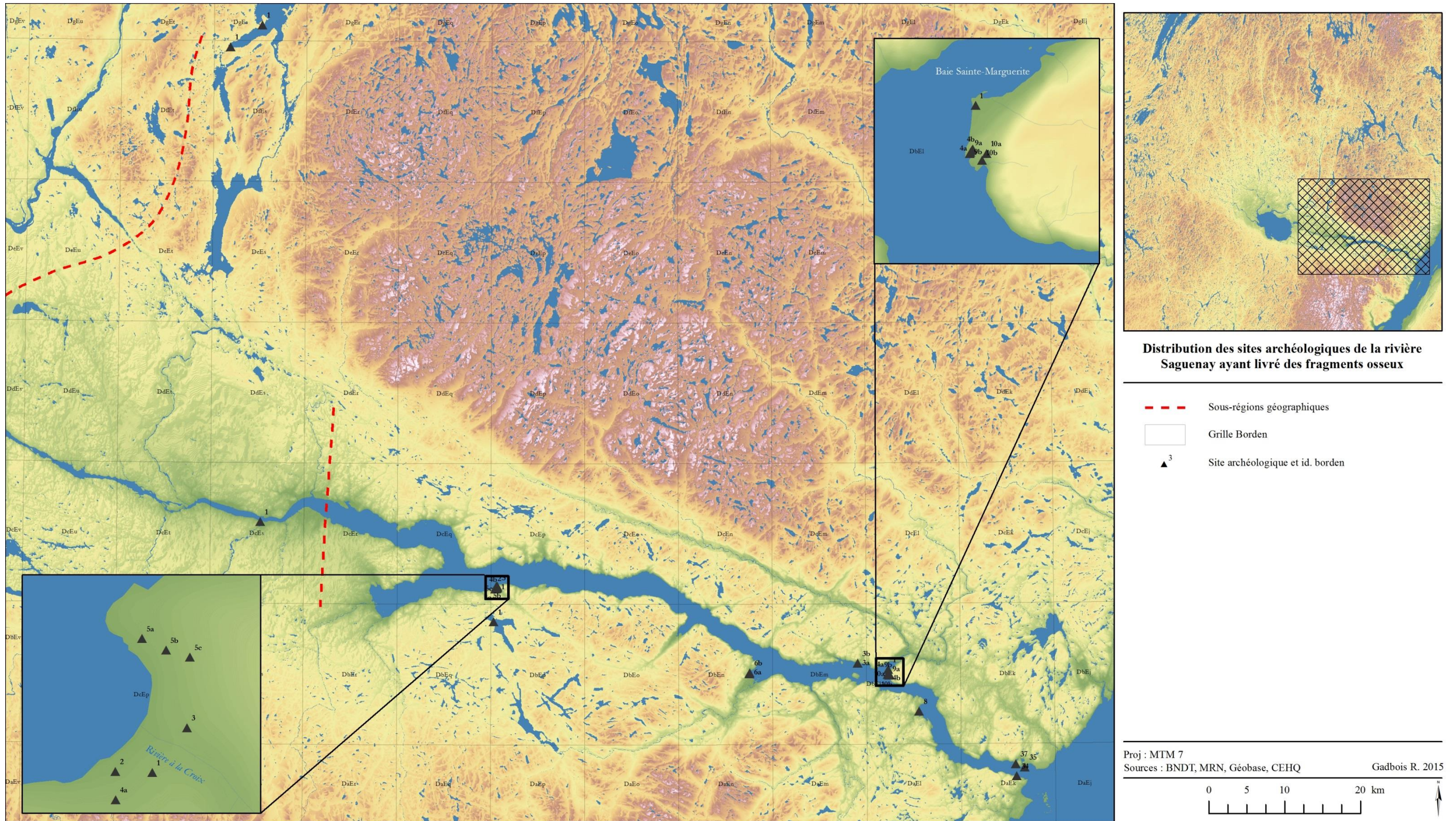


Figure 4: Gisements ayant livré des fragments osseux. Sous-région du Haut et du Bas-Saguenay.

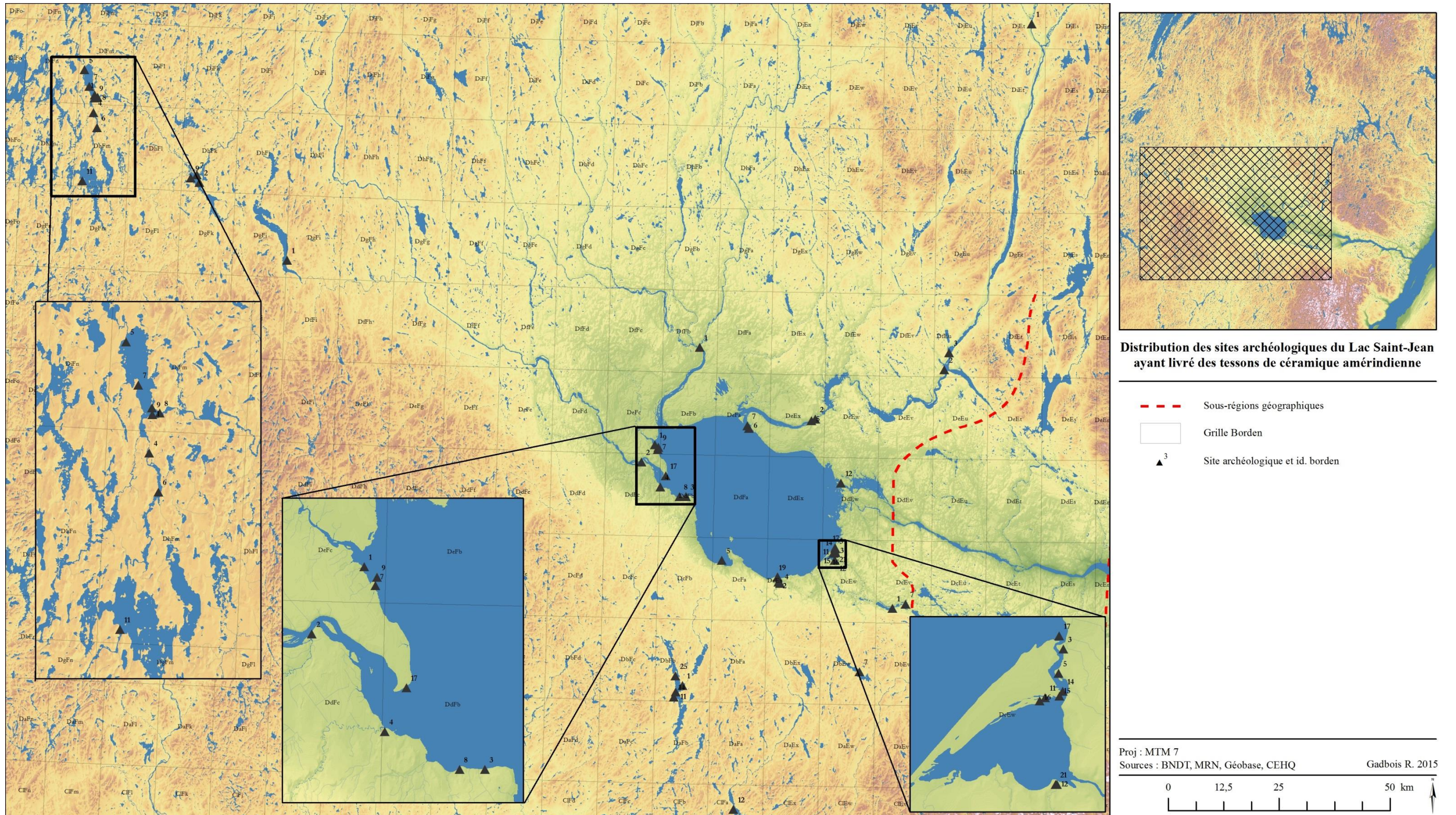


Figure 5: Gisements ayant livré des tessons de céramique amérindienne. Sous-région du lac Saint-Jean.

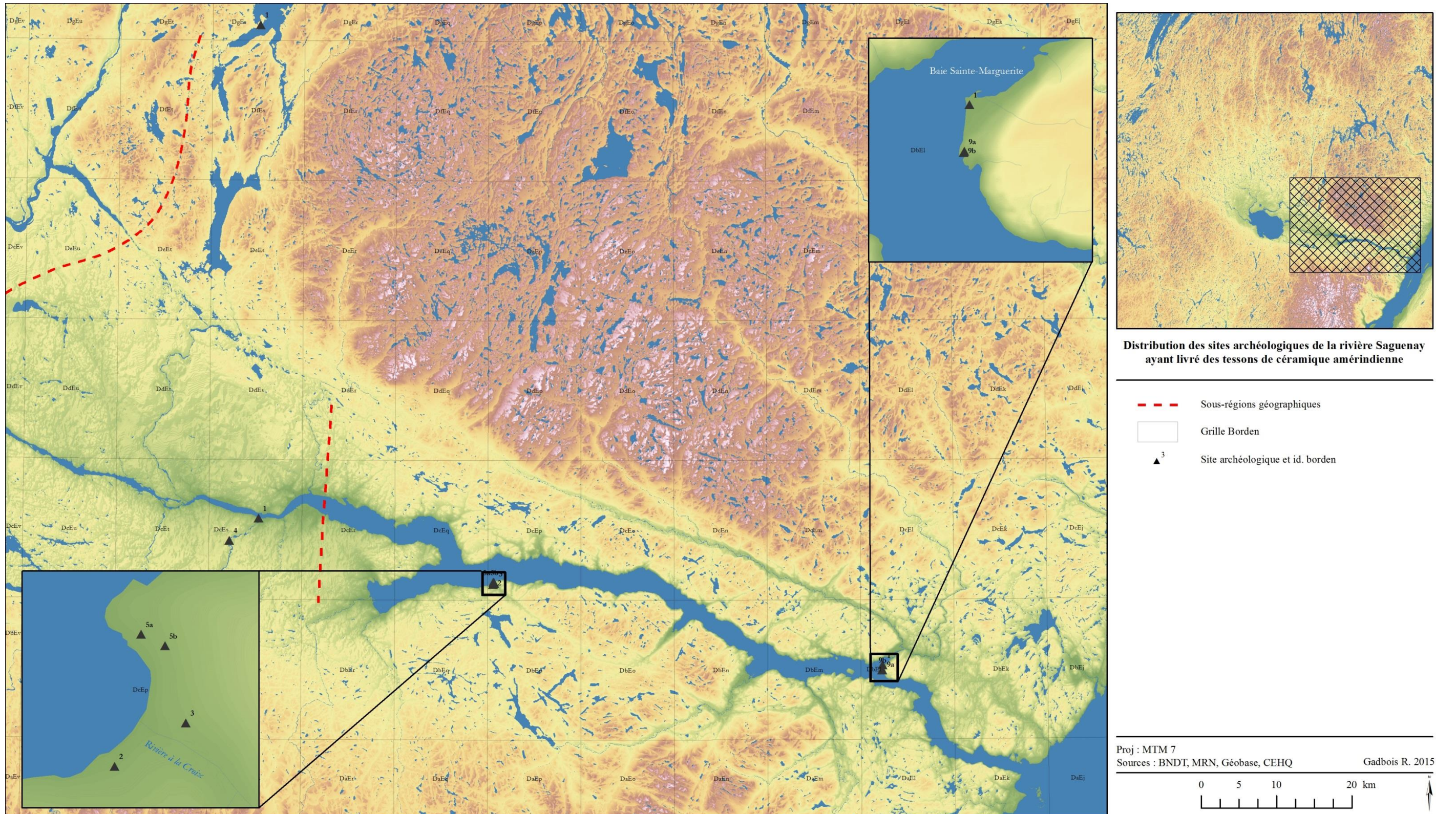


Figure 6: Gisements ayant livré des tessons de céramique amérindienne. Sous-régions du Haut et du Bas-Saguenay.

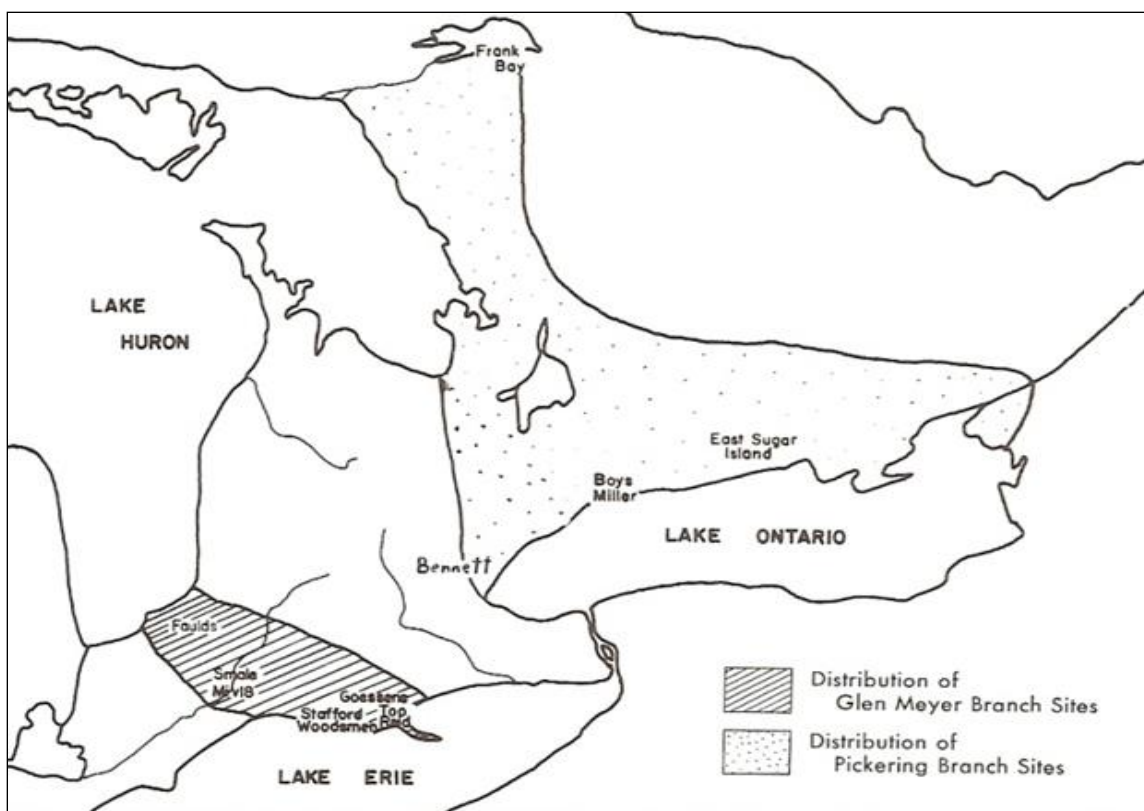


Figure 7: Distribution des groupes Glen Meyer et Pickering entre 1000 et 650 A.A.  
(Wright 1966: 23).

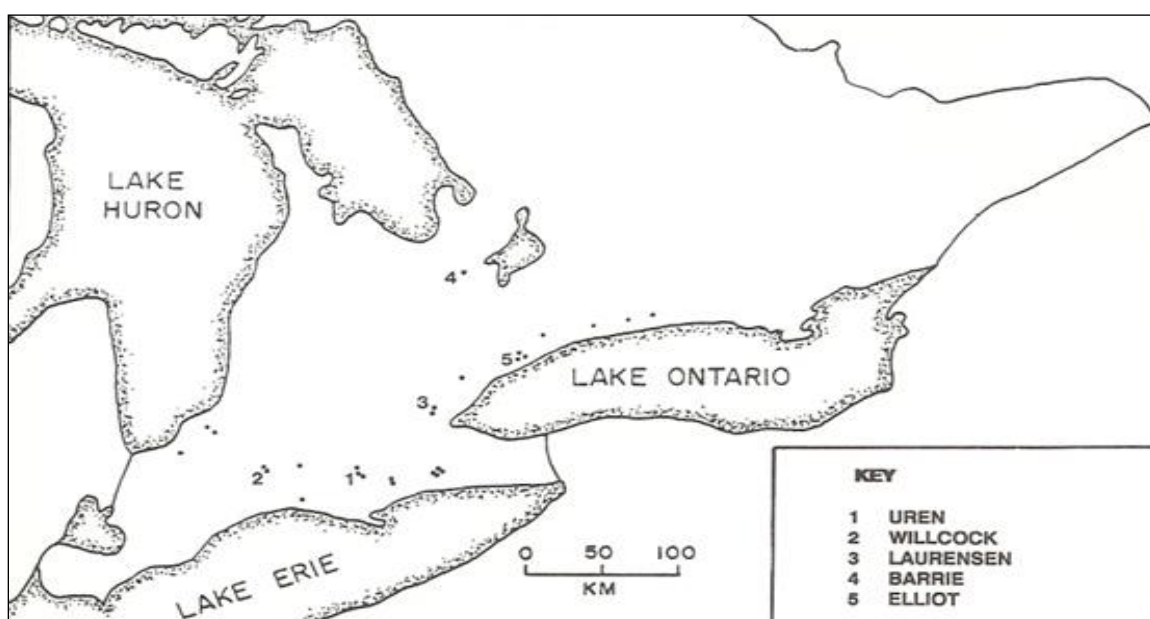
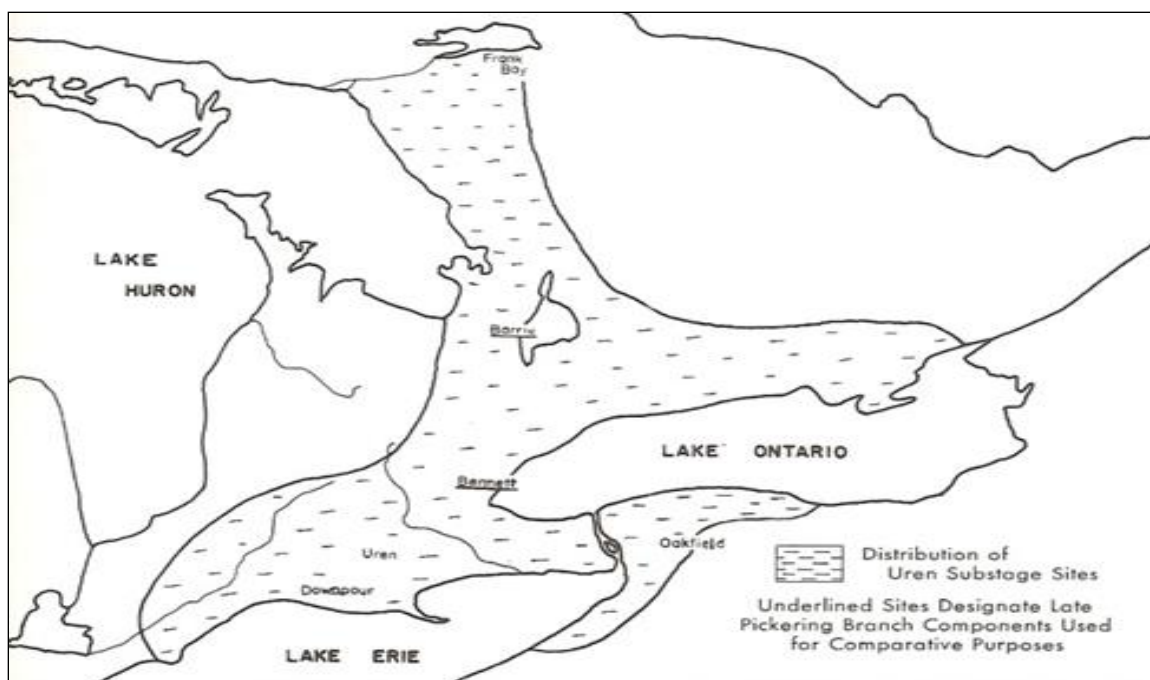


Figure 8 : Localisation des groupes Uren et des sites archéologiques dans le sud-est de l'Ontario (En haut, Wright 1966. En bas, Dodd, Poulton, Lennox, Smith et Warrick 1990).

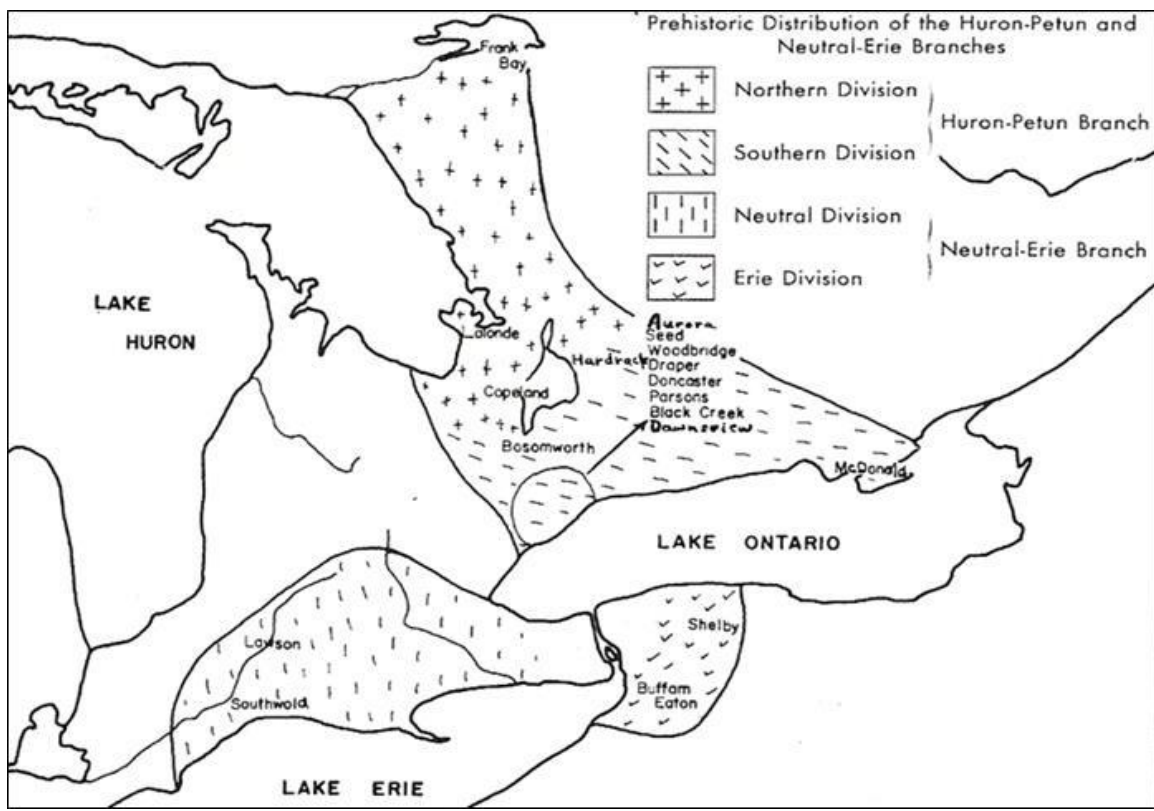


Figure 9 : Les groupes Neutres, Ériés et les divisions Nord et Sud qui formèrent les Hurons-Pétuns (Wright 1966).

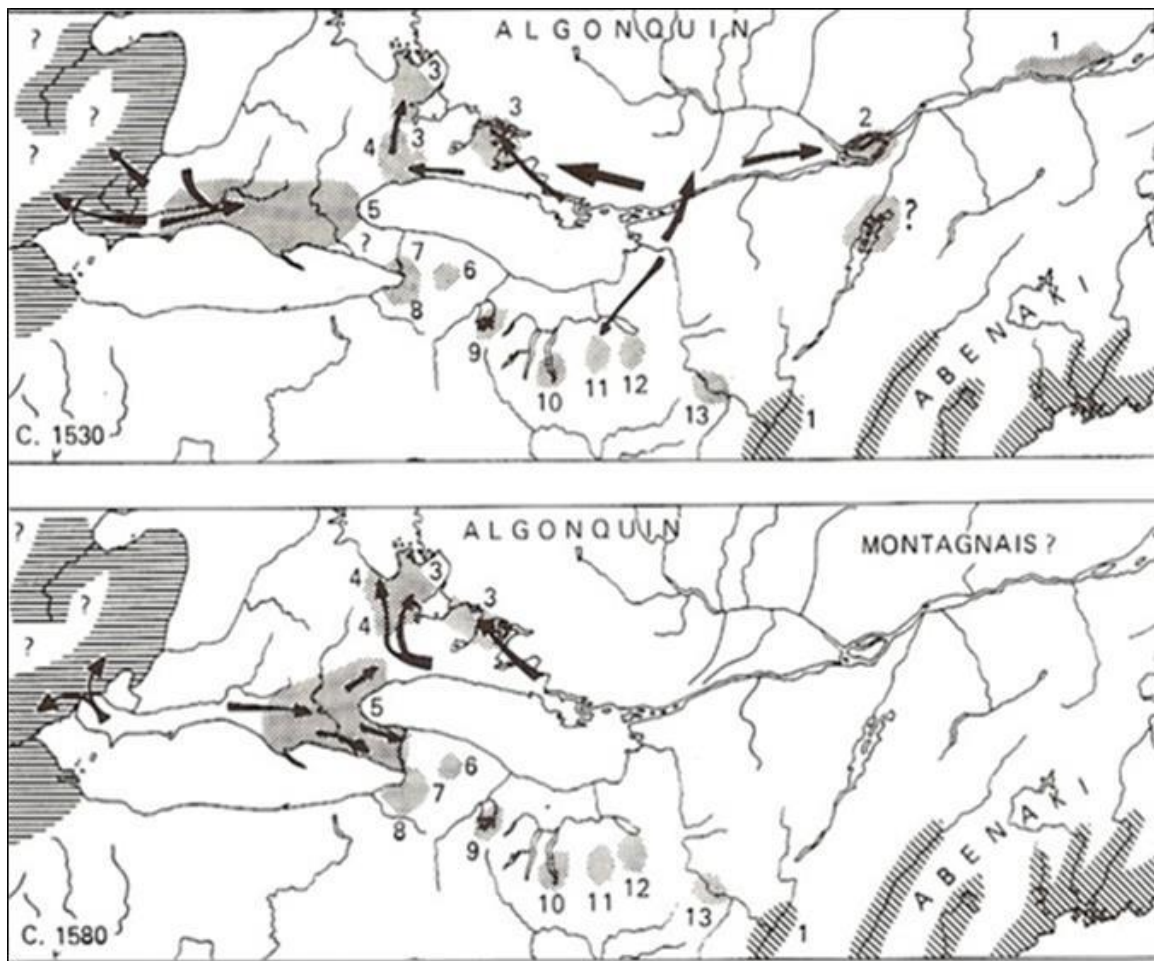


Figure 10 : Déplacement des groupes amérindiens entre 1530 et 1580 (Heidenreich 1990).

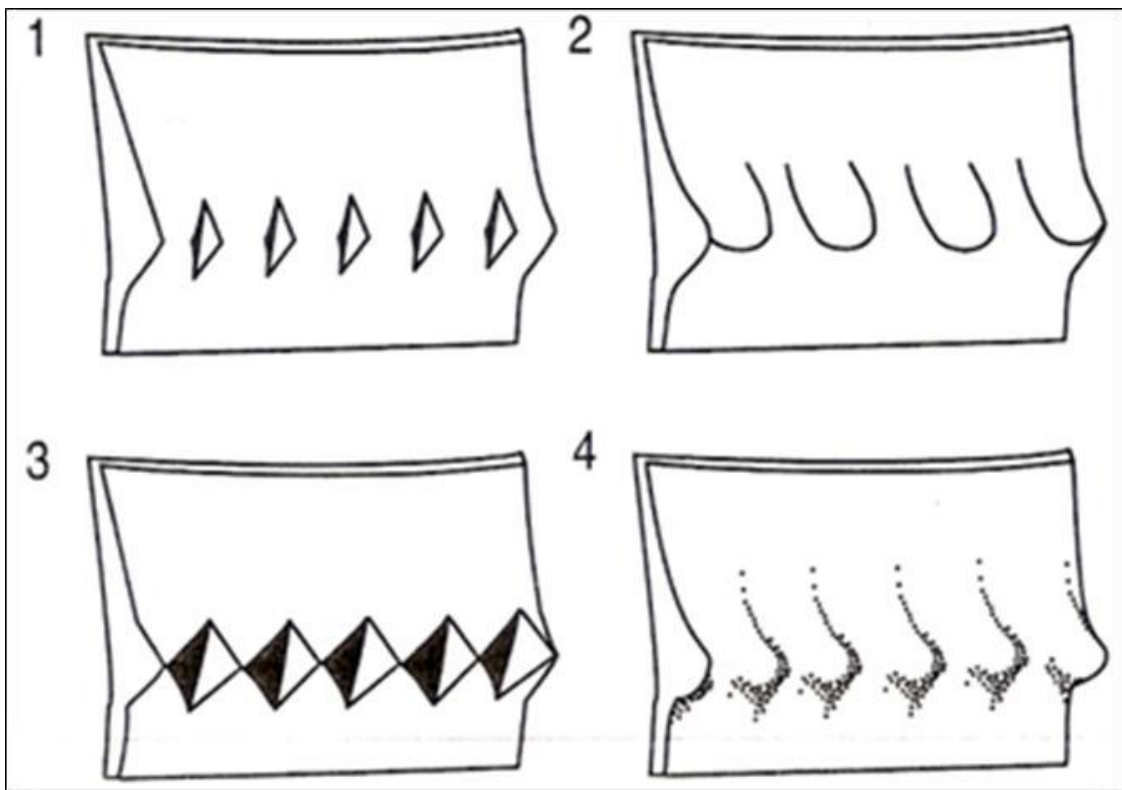


Figure 11 : Différents types d'«ondulation» des Wenros (Hawkins 2001).

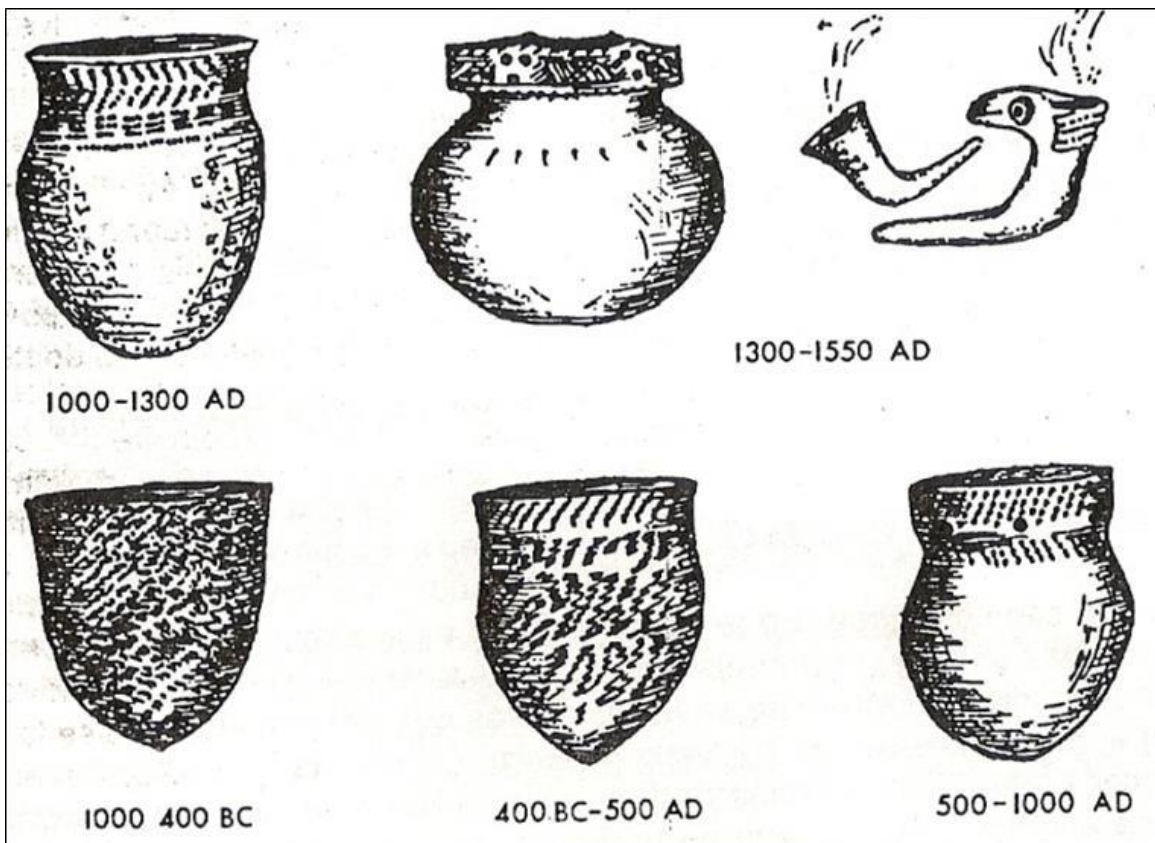


Figure 12 : Évolution de la morphologie des vases en céramique lors du sylvicole au Québec (Clermont 1995).

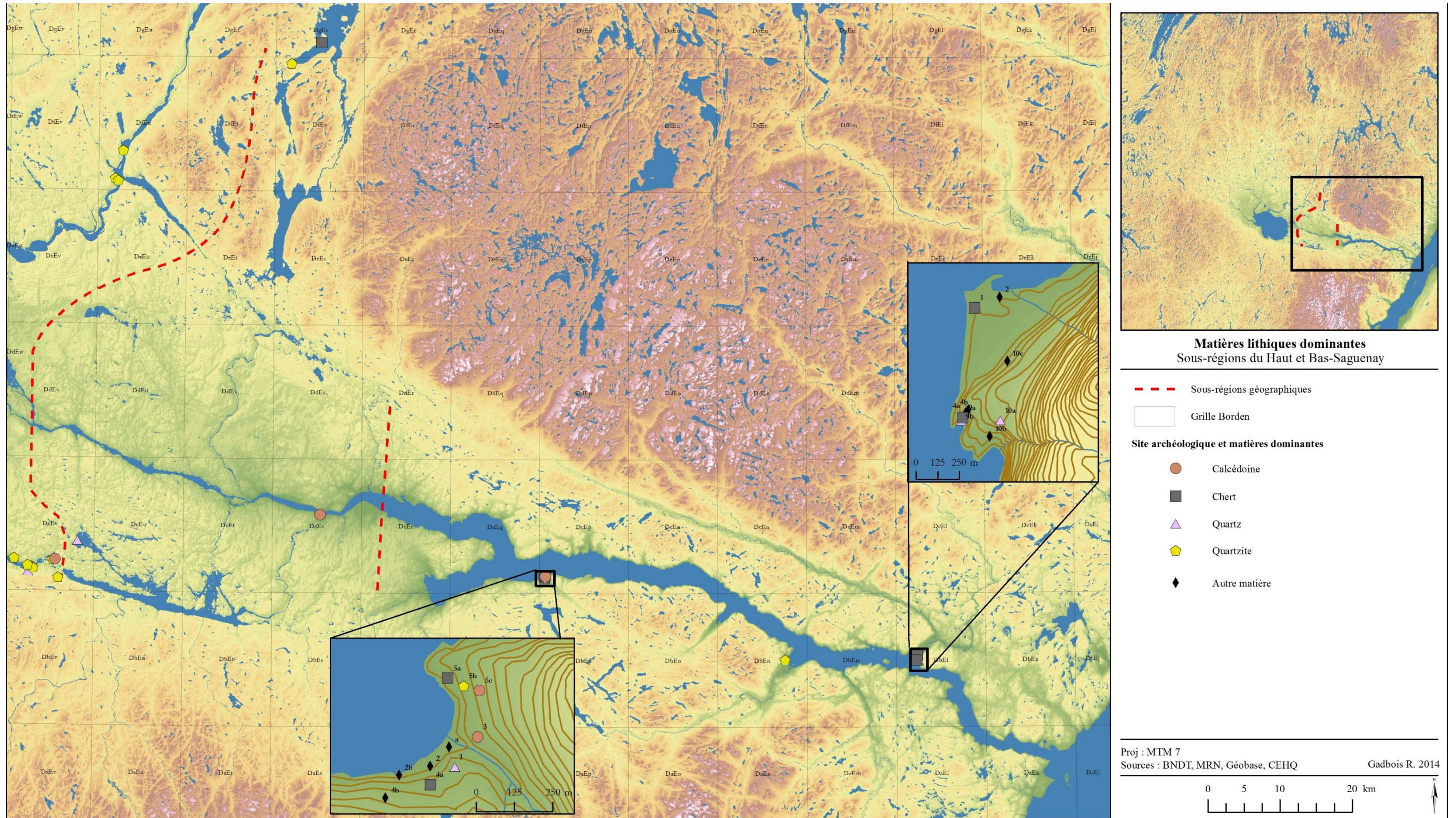


Figure 13 : Distribution des matières premières lithiques dominantes sur les sites des sous-régions du Bas et du Haut-Saguenay.

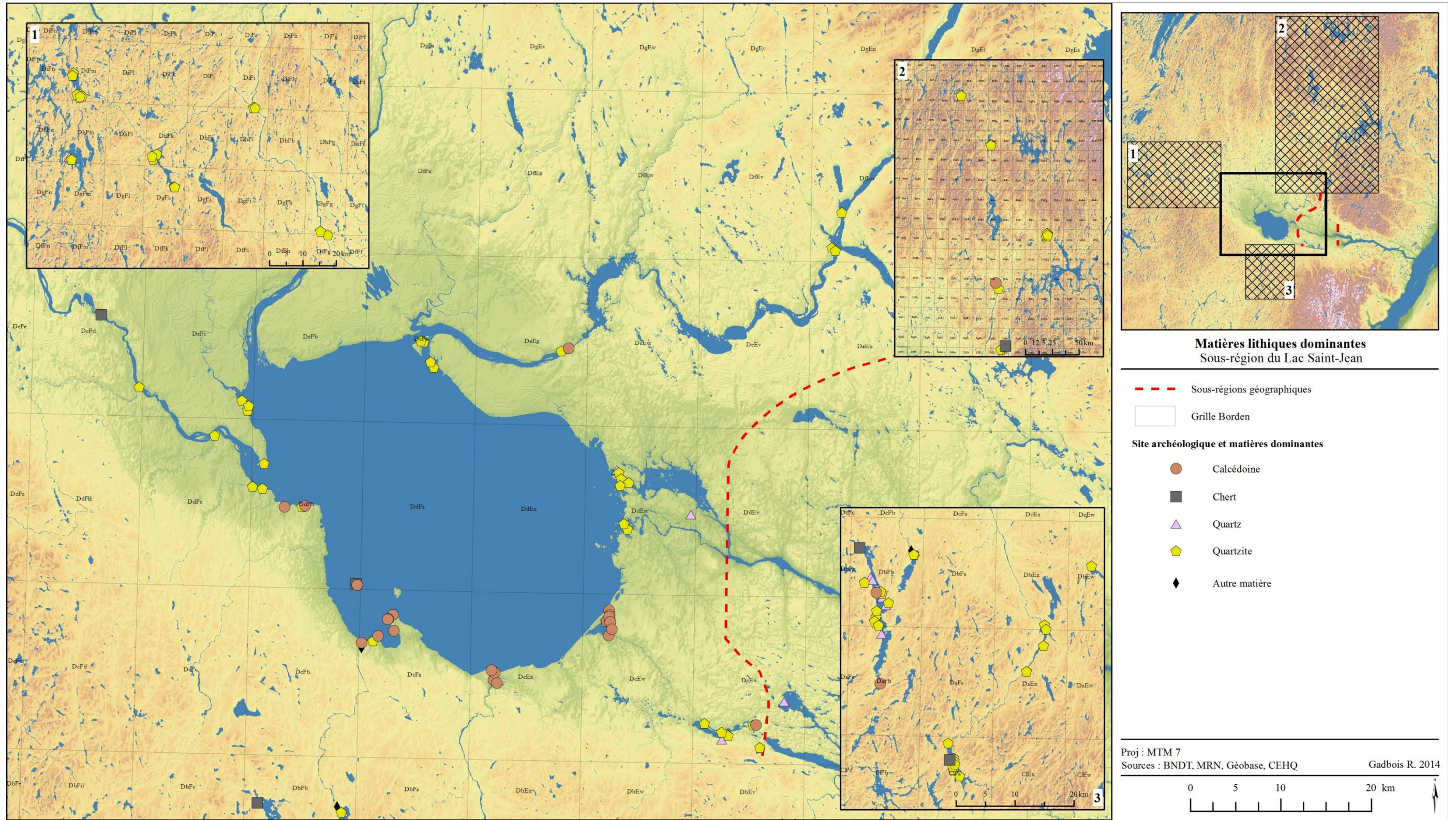


Figure 14 : Distribution des matières premières lithiques dominantes sur les sites des sous-régions du lac Saint-Jean.

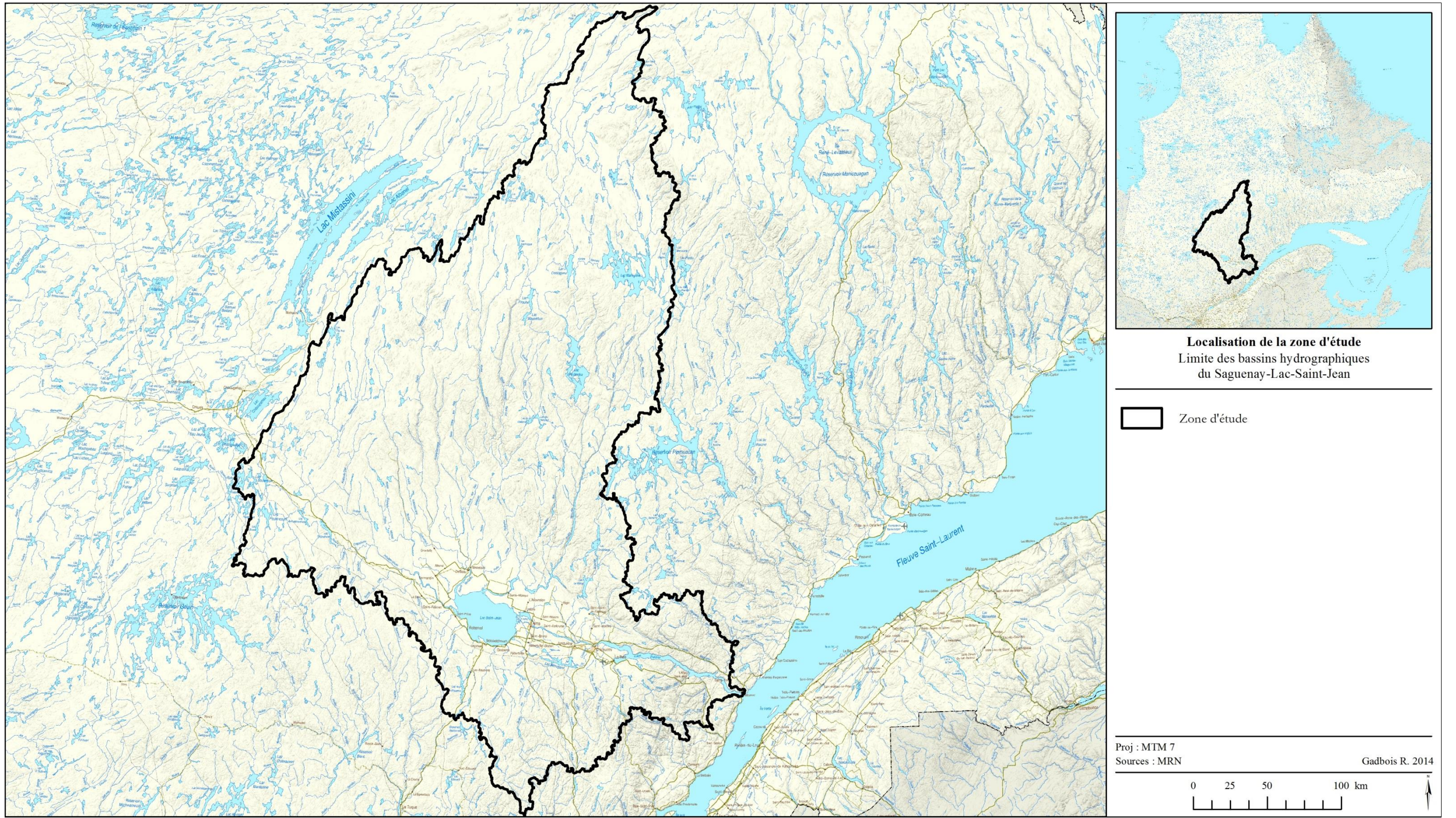


Figure 15 : Territoire à l'étude.

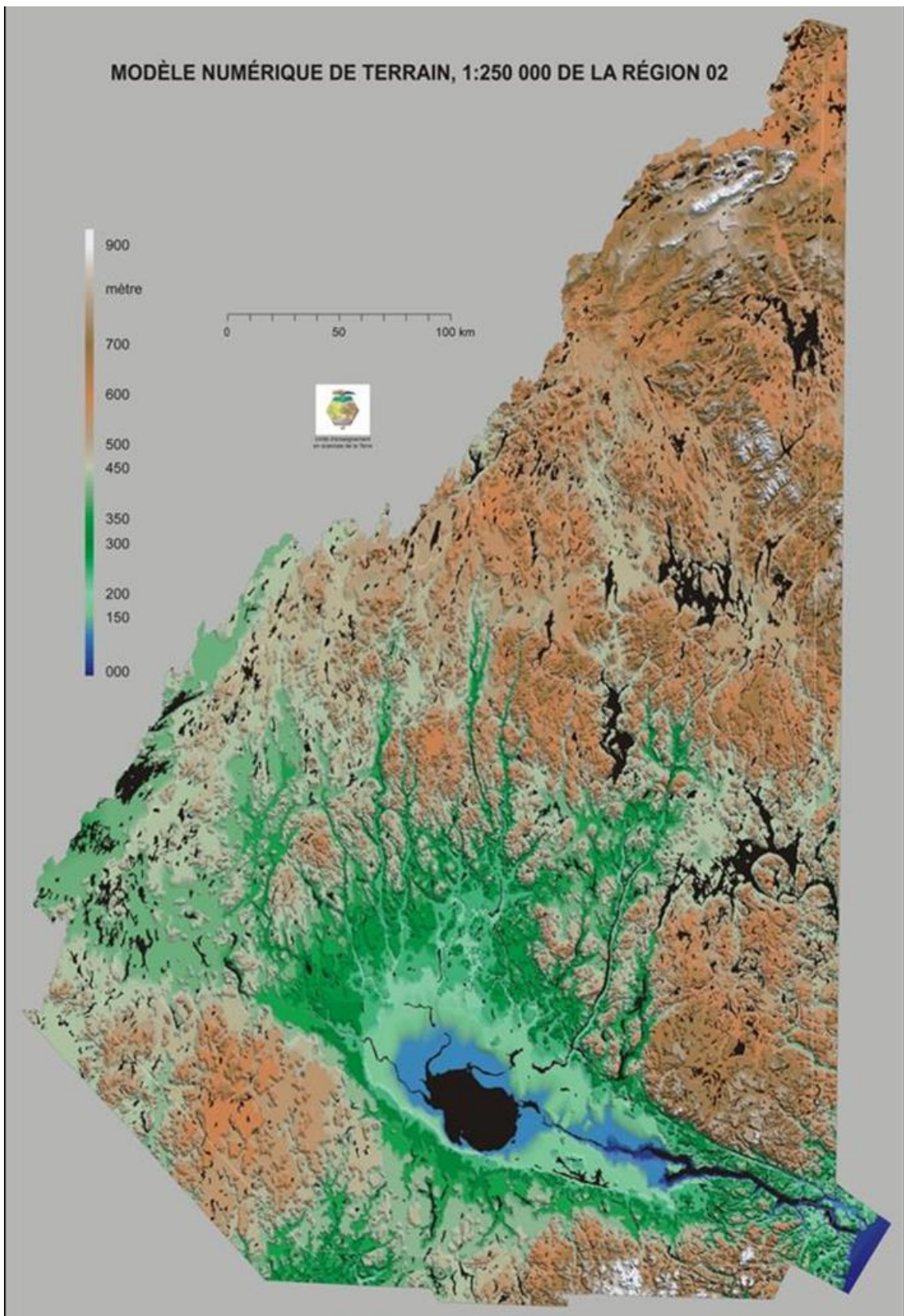


Figure 16 : Caractéristiques hypsométriques du Saguenay–Lac-Saint-Jean (Atlas électronique du Saguenay–Lac-Saint-Jean, Université du Québec à Chicoutimi).

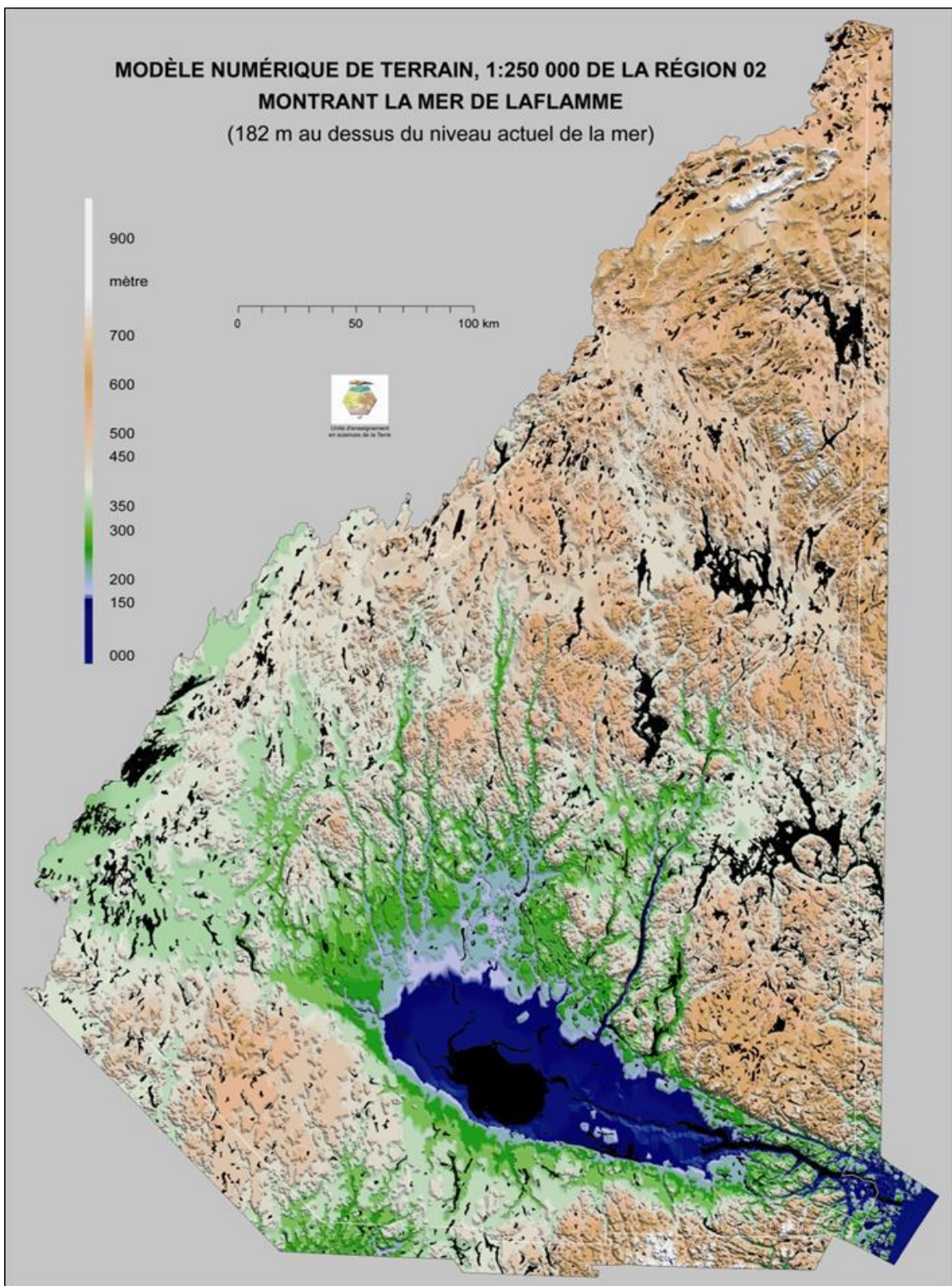


Figure 17: Projection hypsométrique de la mer de Laflamme (Atlas électronique du Saguenay–Lac-Saint-Jean, Université du Québec à Chicoutimi).

## GÉOLOGIE DU SAGUENAY LAC-SAINT-JEAN

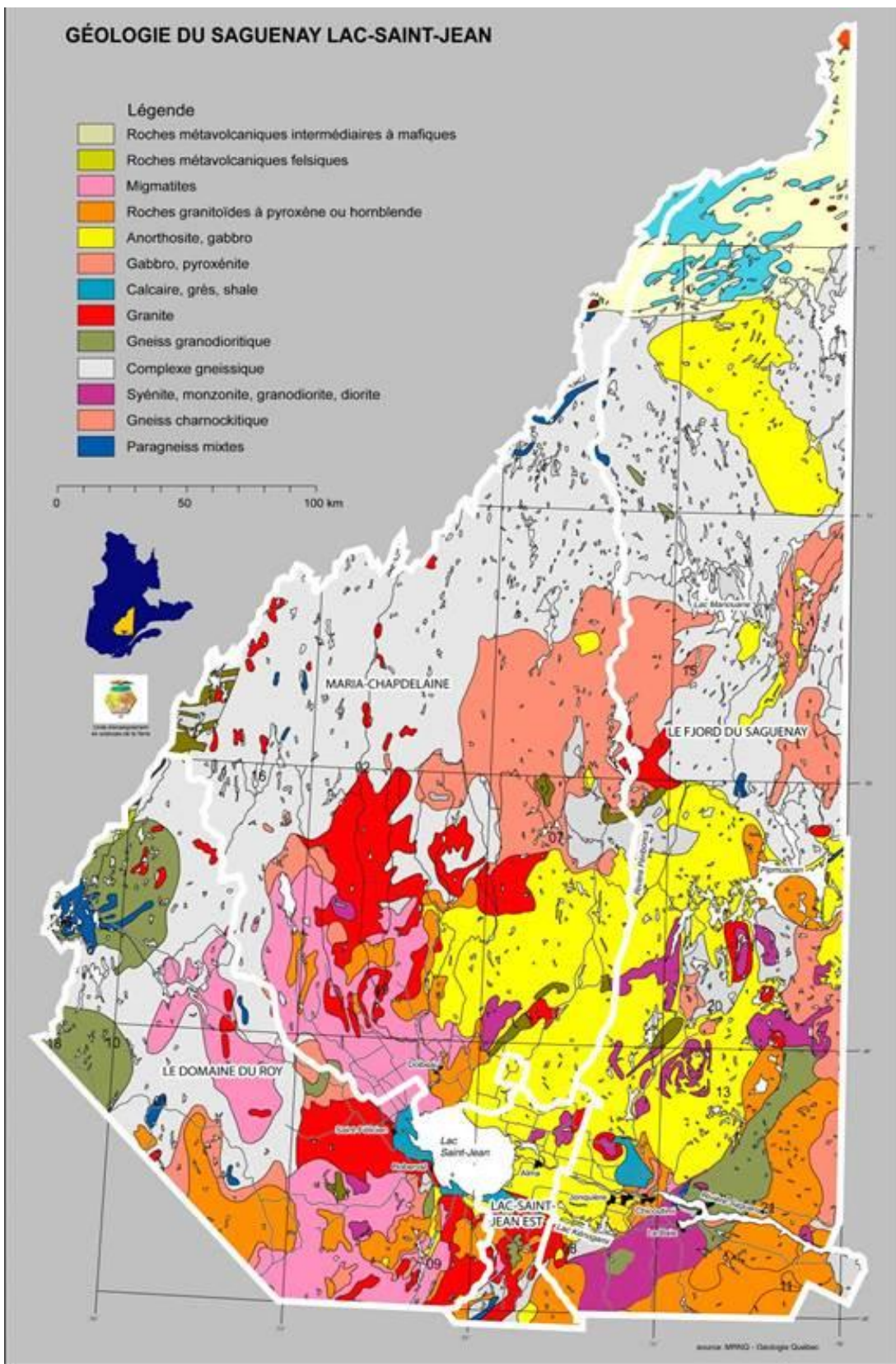


Figure 18 : Profil géologique du Saguenay-Lac-Saint-Jean (MRNQ-Géologie Québec).

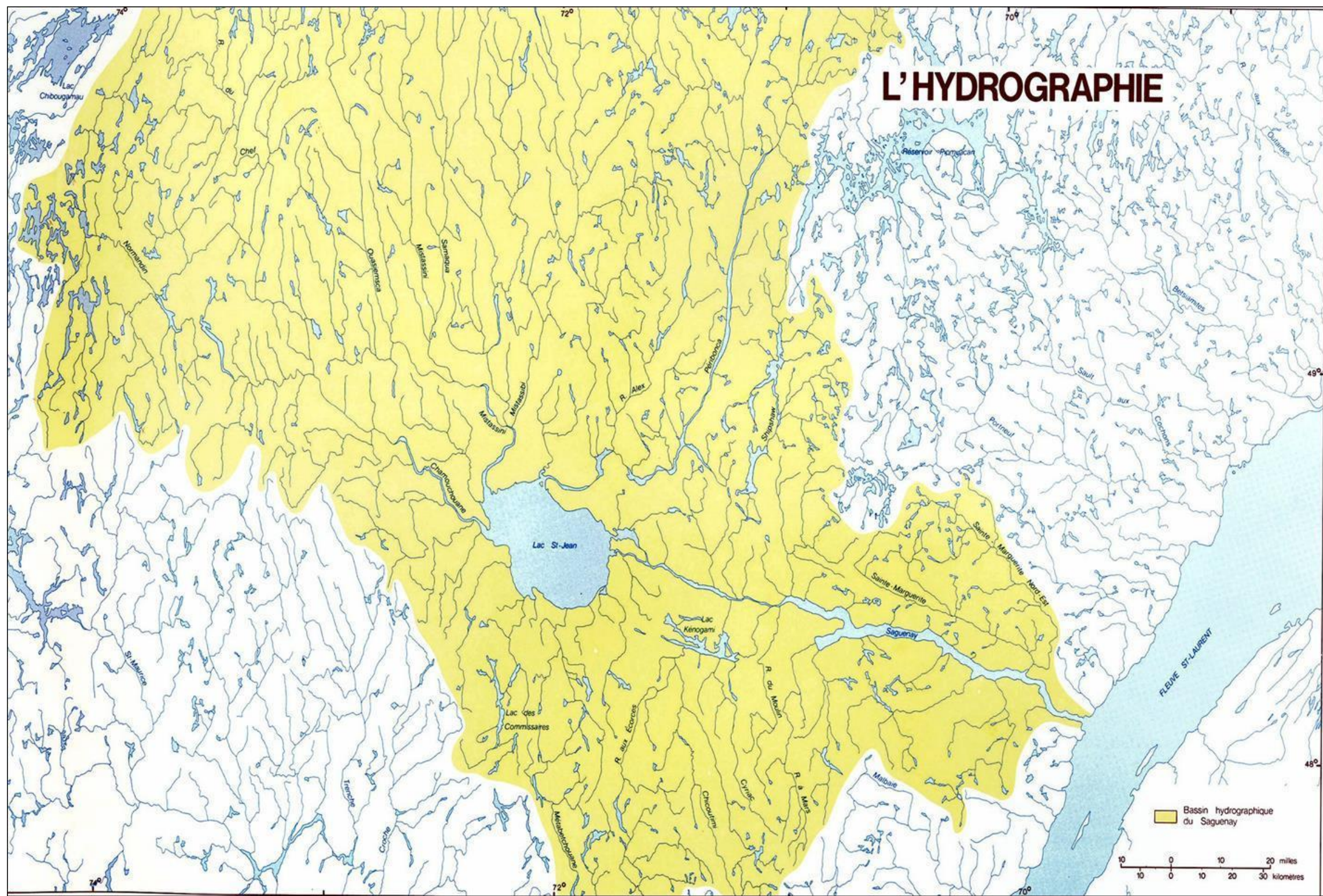


Figure 19 : Réseau hydrographique du Saguenay–Lac-Saint-Jean (Atlas électronique du Saguenay–Lac-Saint-Jean, Université du Québec à Chicoutimi).

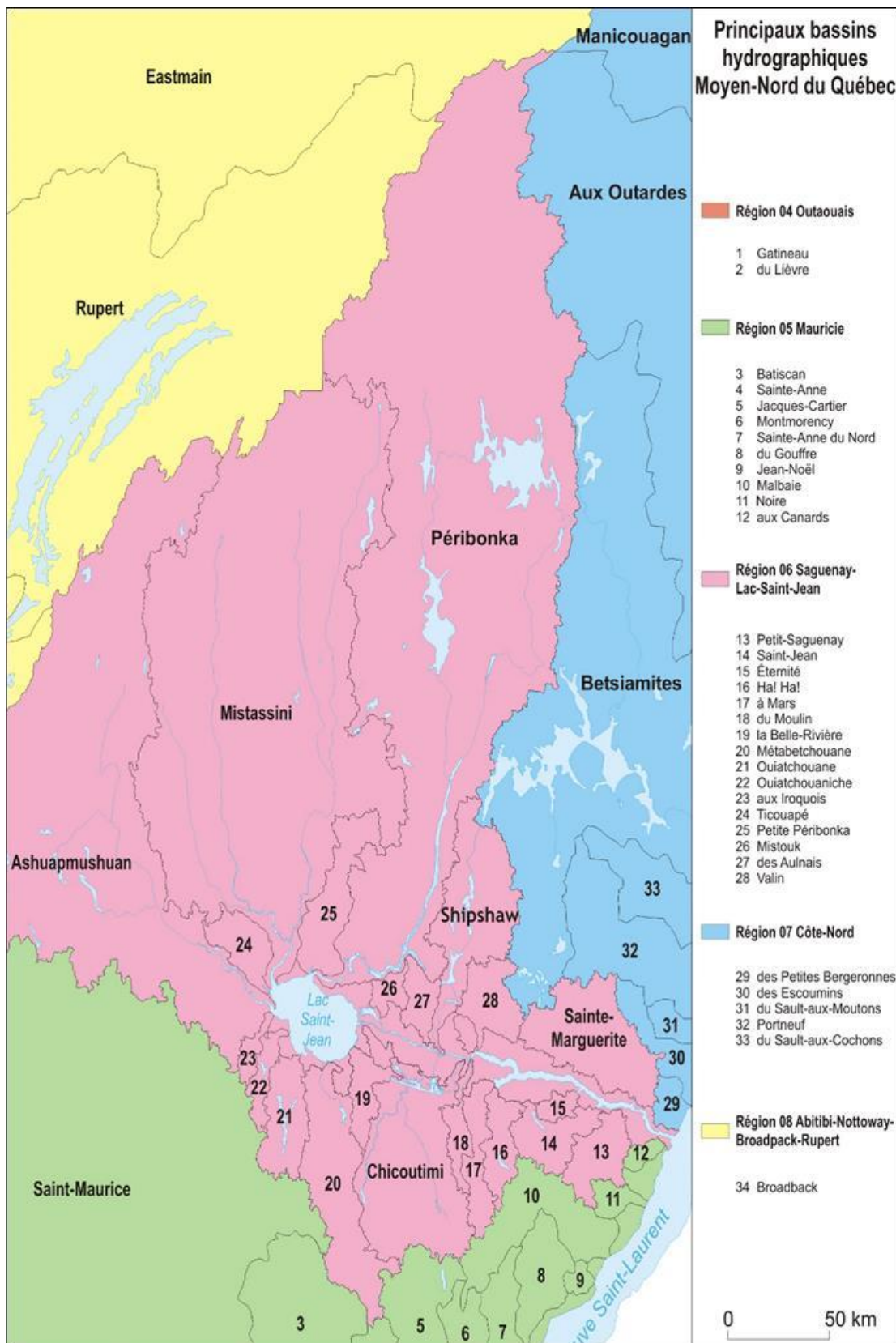


Figure 20 : Principaux bassins versants du Saguenay—Lac-Saint-Jean (Ministère de l'Énergie et des Ressources, Québec 1981).



Figure 21: Accumulation de sédiments lors de la crue exceptionnelle de 1996 (la bordure noire se trouvant au niveau du manche de la pelle constitue la ligne de rivage de 1995).

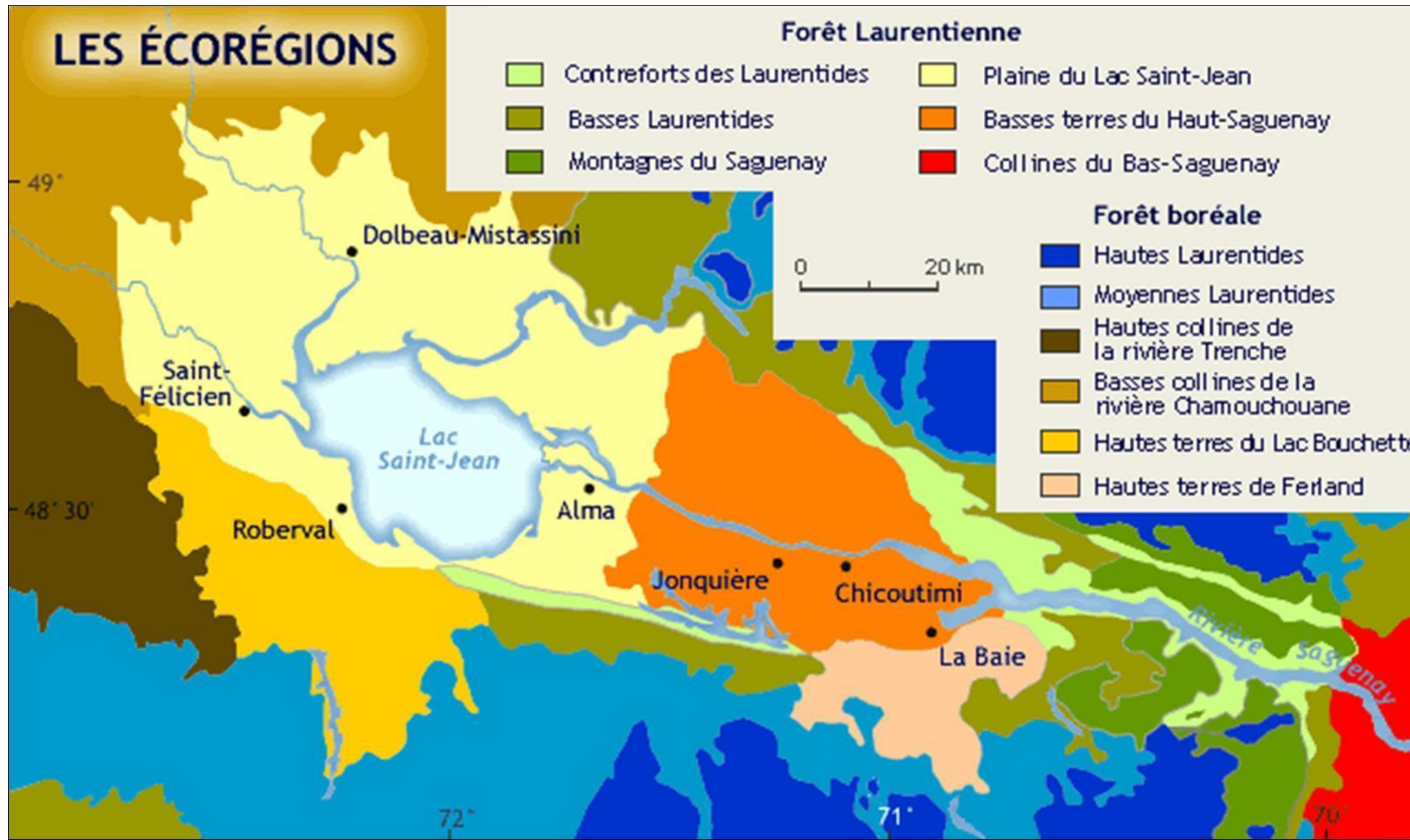


Figure 22 : Caractéristiques écologiques du Saguenay–Lac-Saint-Jean (Atlas électronique du Saguenay–Lac-Saint-Jean, Université du Québec à Chicoutimi).



Figure 23 : Squelette de poisson découvert dans la stratigraphie du site DcEx-1, été 2002.

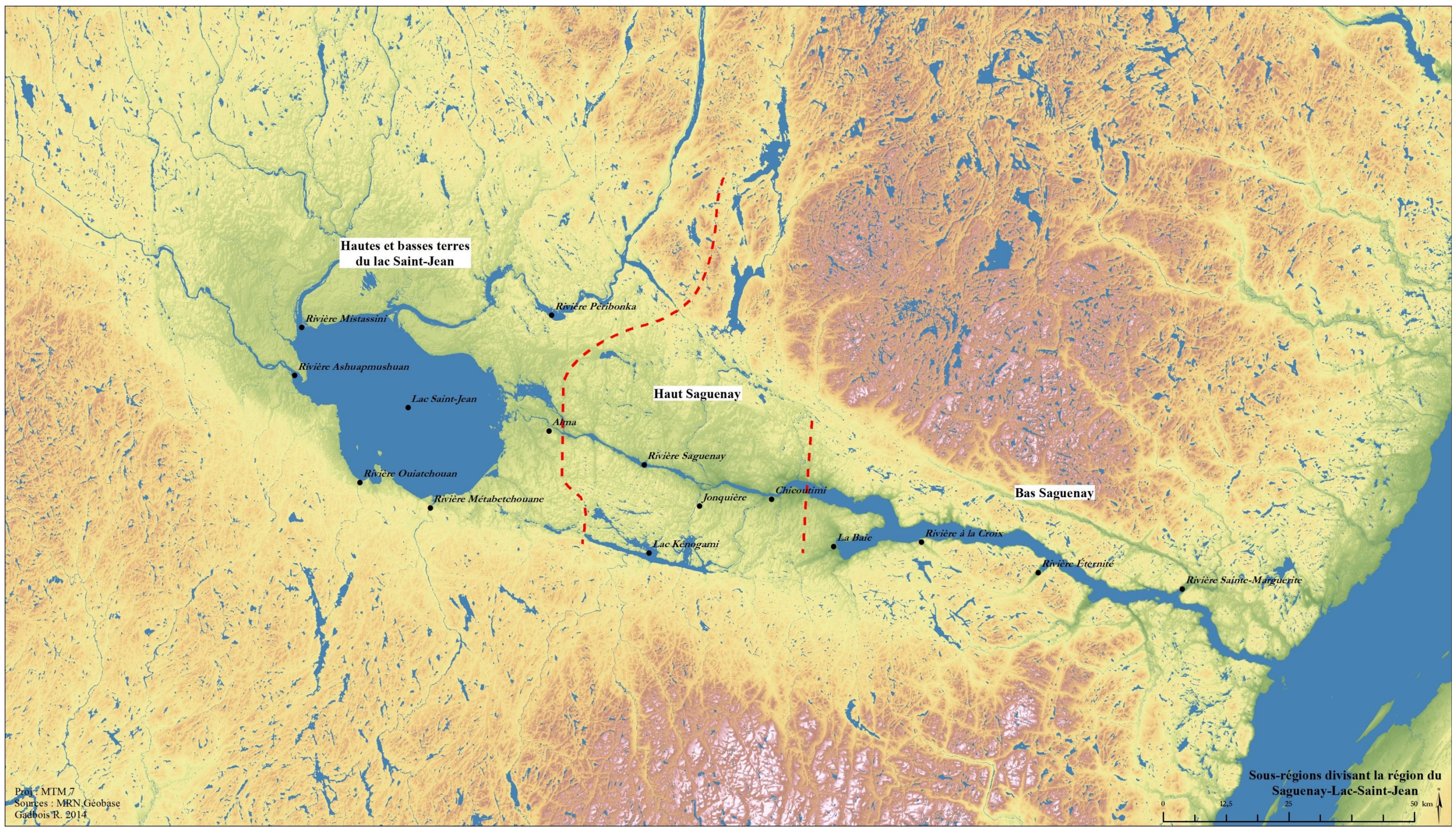


Figure 24 : Subdivisions écogéographiques du bassin hydrographique de la rivière Saguenay.

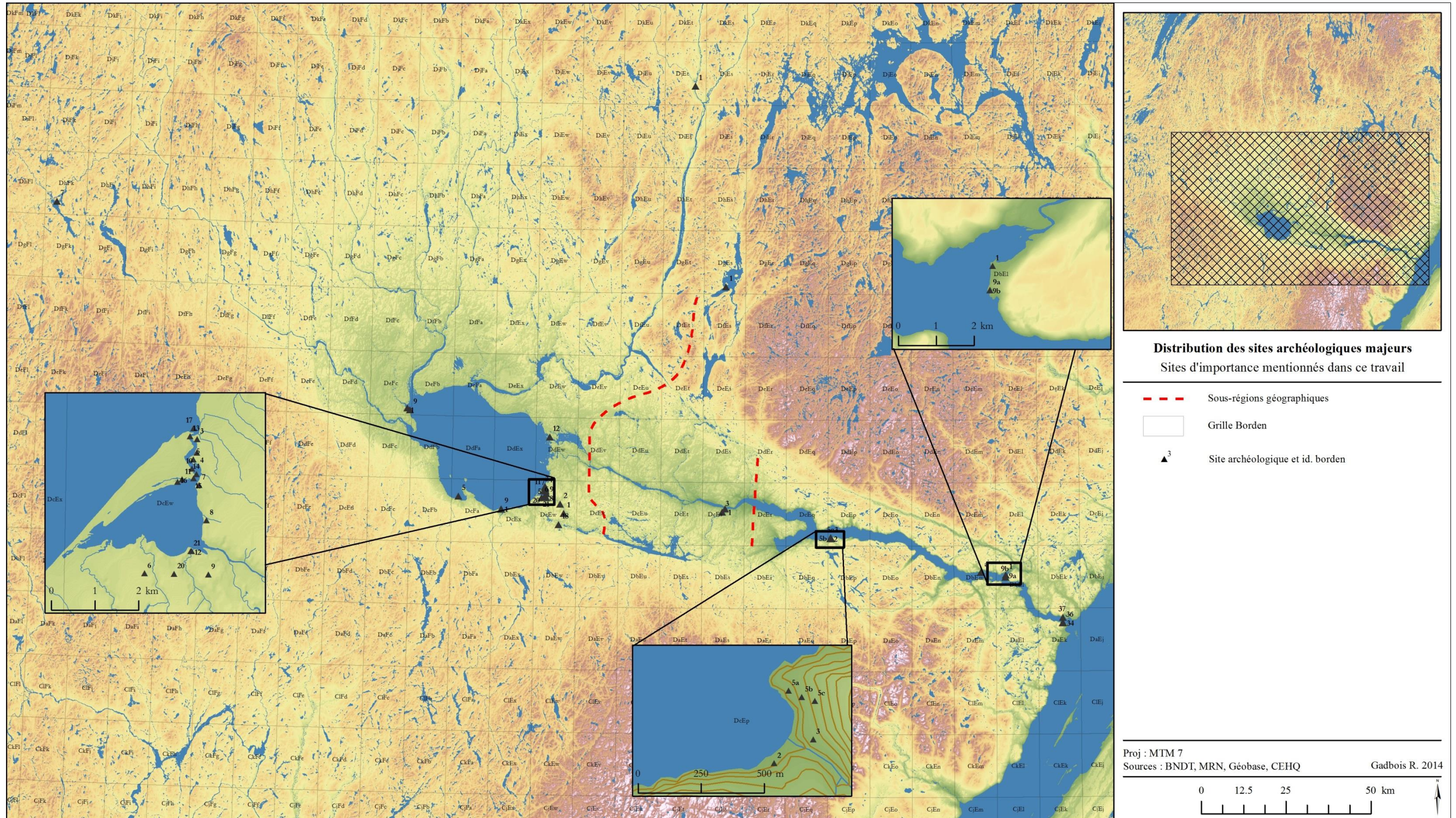


Figure 25 : Localisation des principaux sites mentionnés dans la thèse.

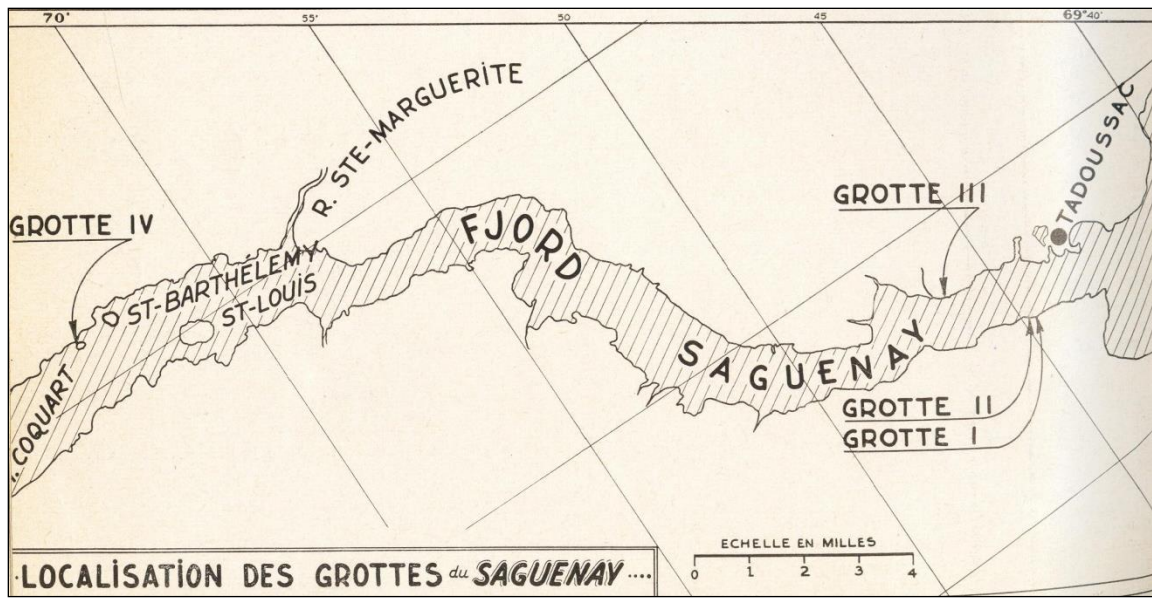


Figure 26 : Carte de localisation des grottes du Saguenay (Brassard 1961).



Figure 27: Sites DaEk-34 et 36.



Figure 28: Site DaEm-a.

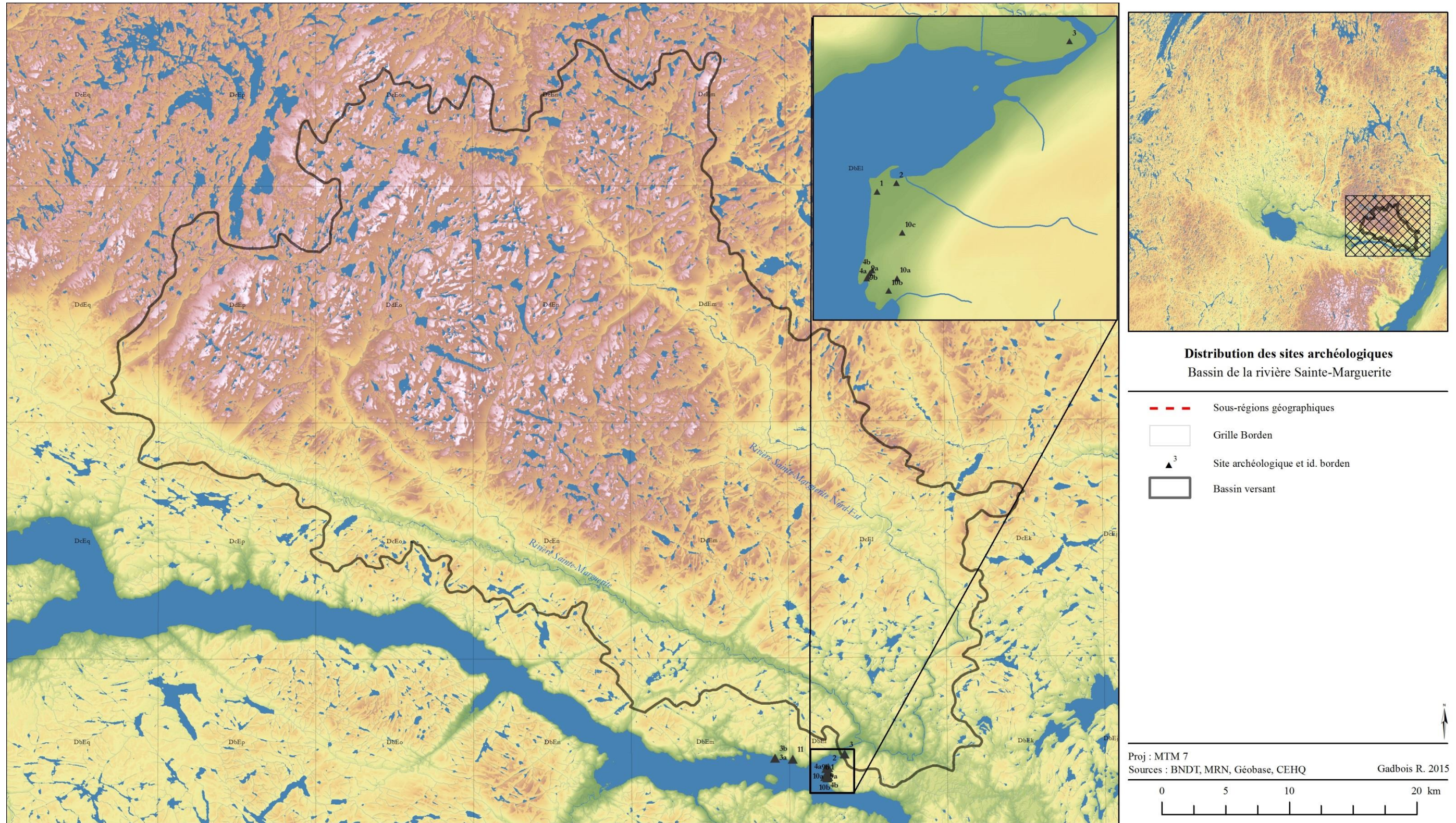


Figure 29: Distribution des sites archéologiques du sous-bassin de la rivière Sainte-Marguerite.

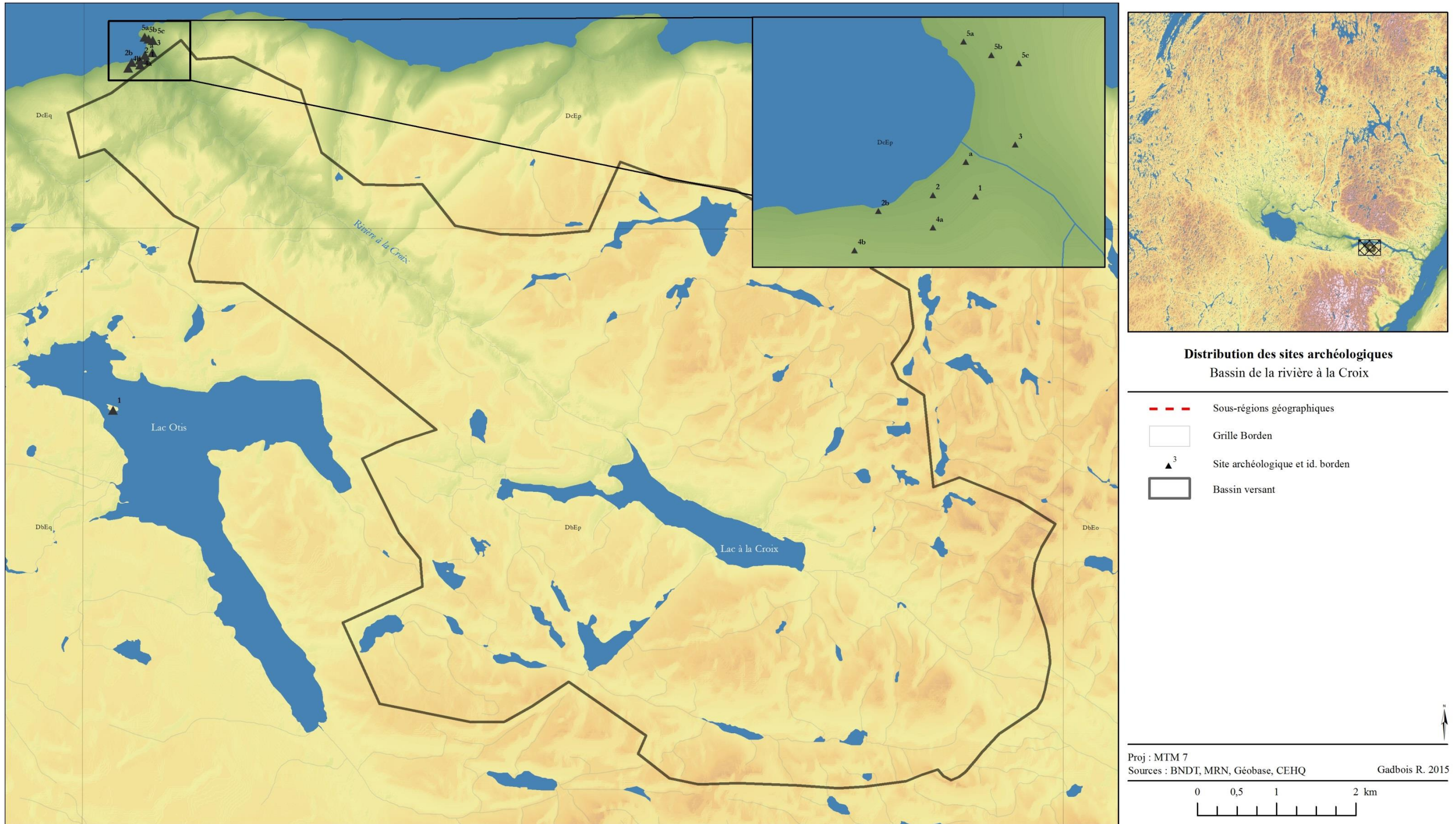


Figure 30: Distribution des sites archéologiques du sous-bassin de la rivière à la Croix

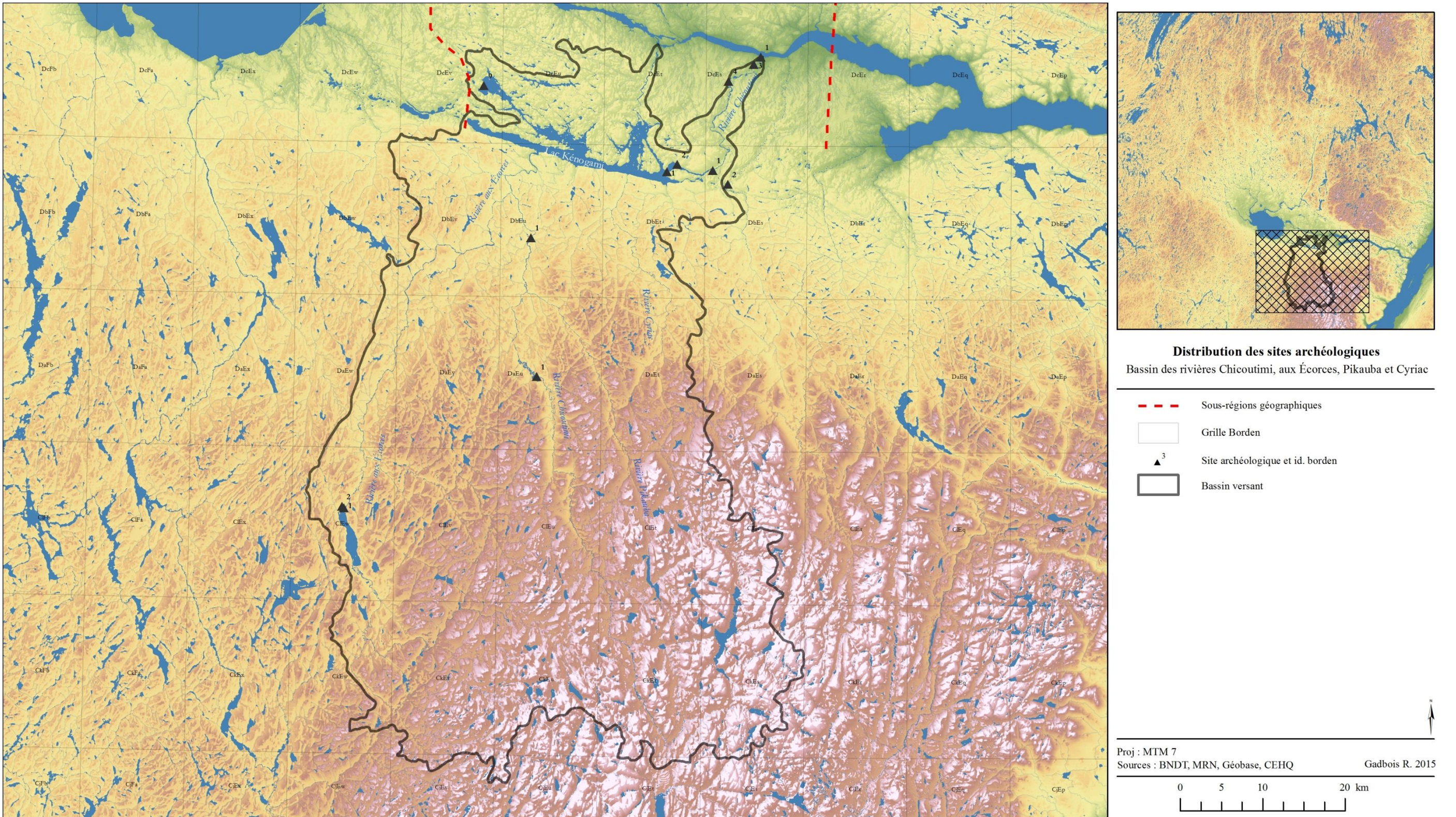


Figure 31: Distribution des sites archéologiques du sous-bassin des rivières Chicoutimi, aux Écorces, Pikauba et Cyriac.

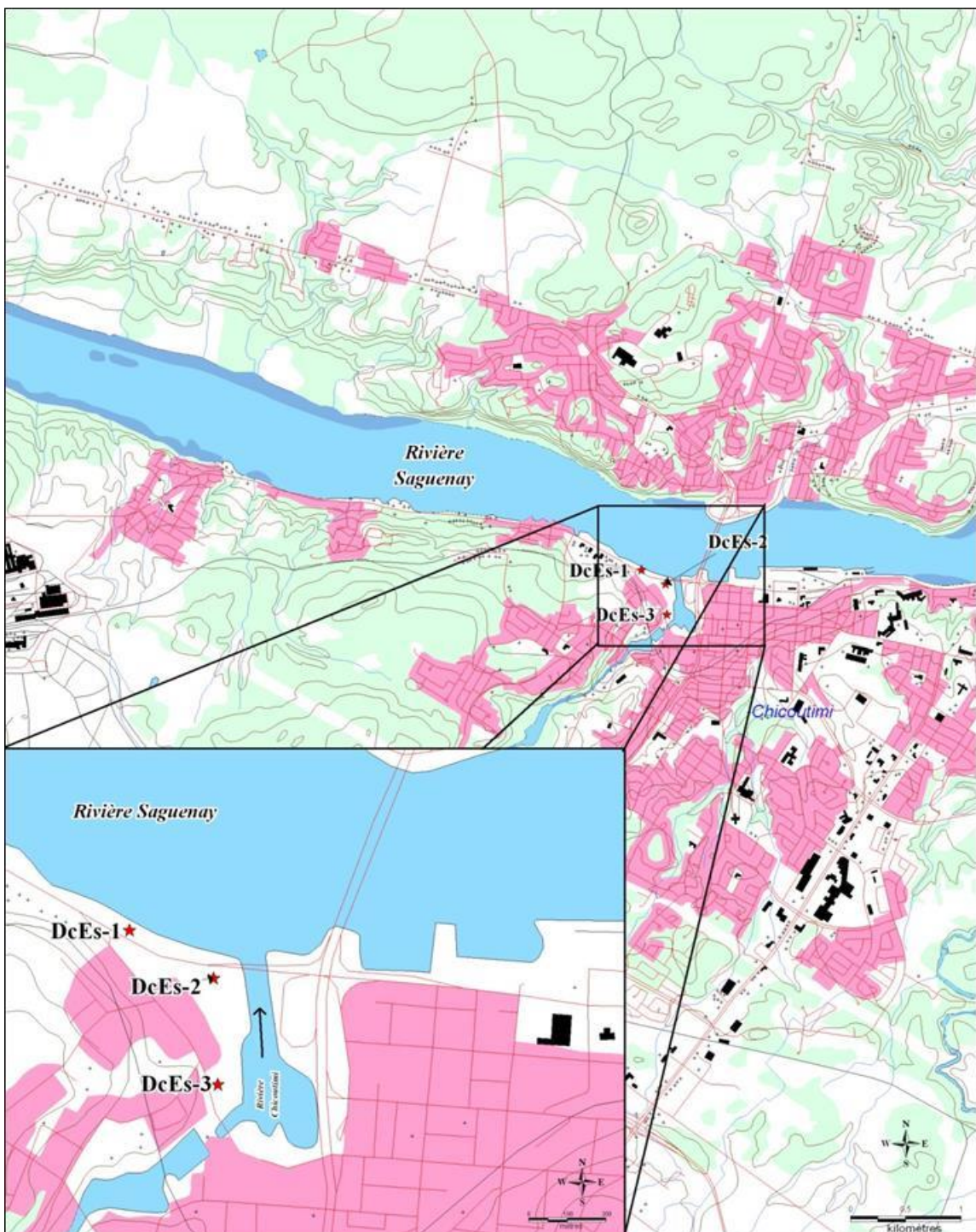


Figure 32 : Sous-bassin de la rivière Chicoutimi, site DcEs-1 (source : Langevin, Côté et Girard 2006).

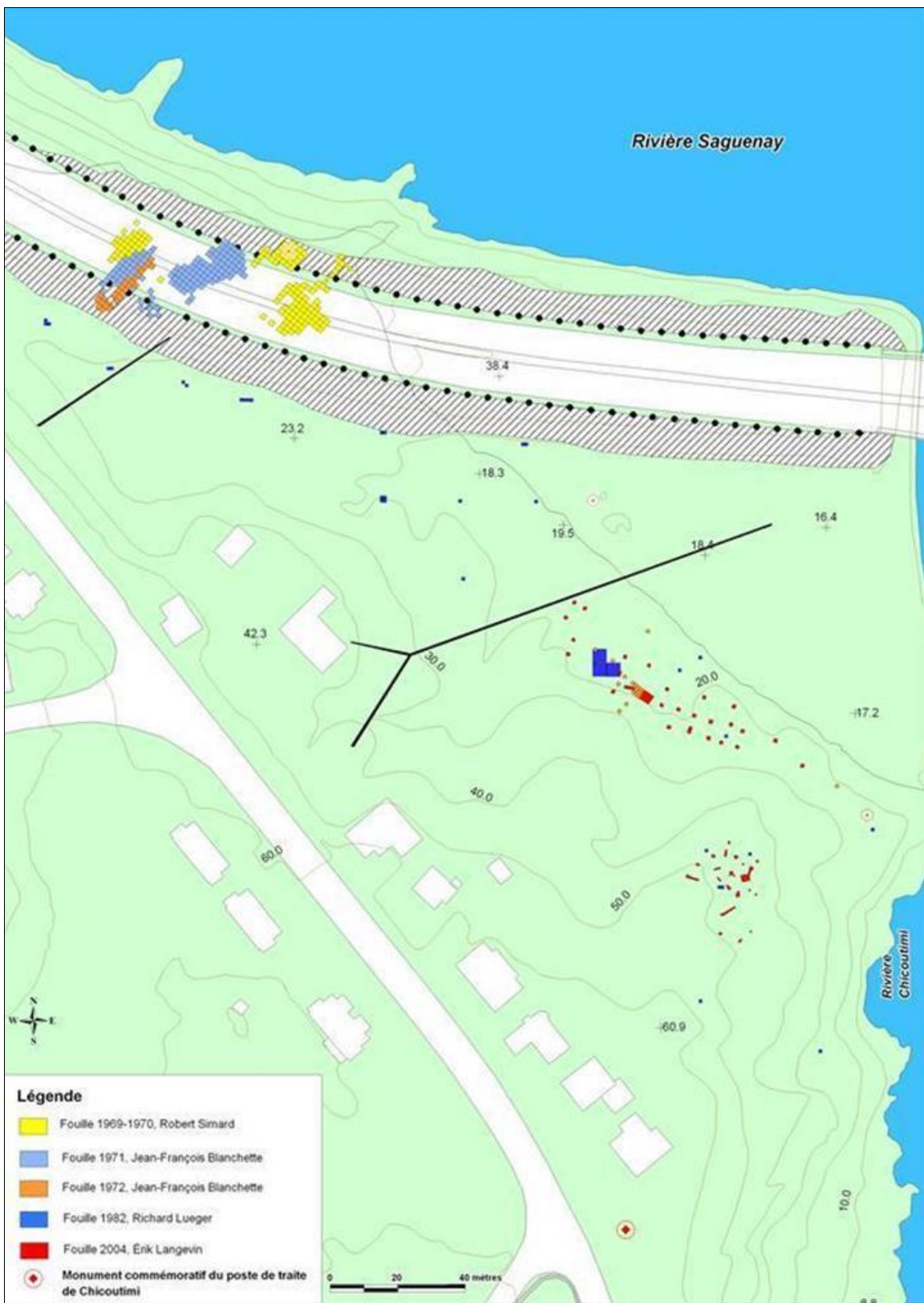


Figure 33 : Sous-bassin de la rivière Chicoutimi, site DcEs-1, localisation des différentes interventions archéologiques (Langevin, Côté et Girard 2006).

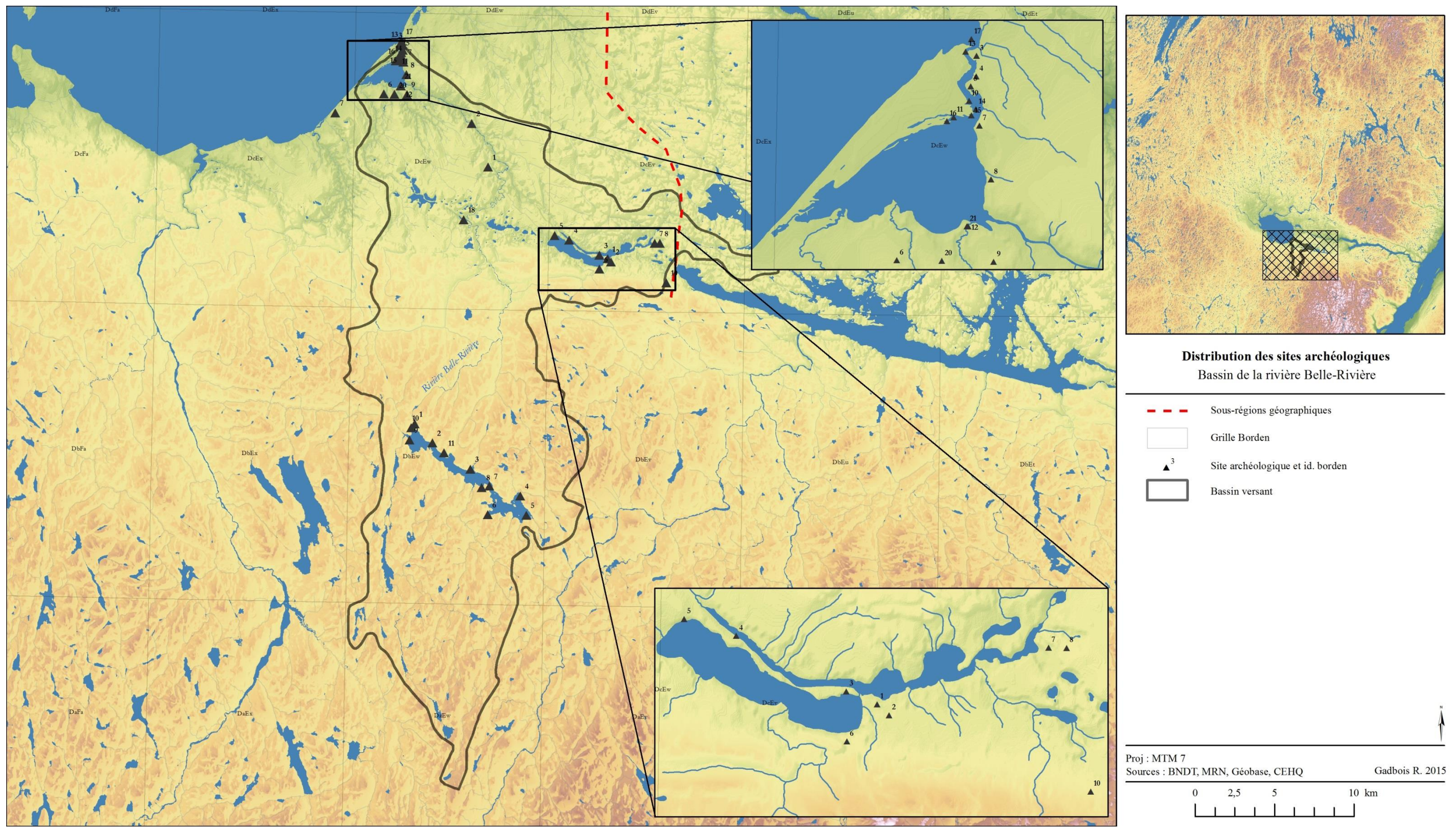


Figure 34 : Distribution des sites archéologiques du sous-bassin de la rivière Belle-Rivière.

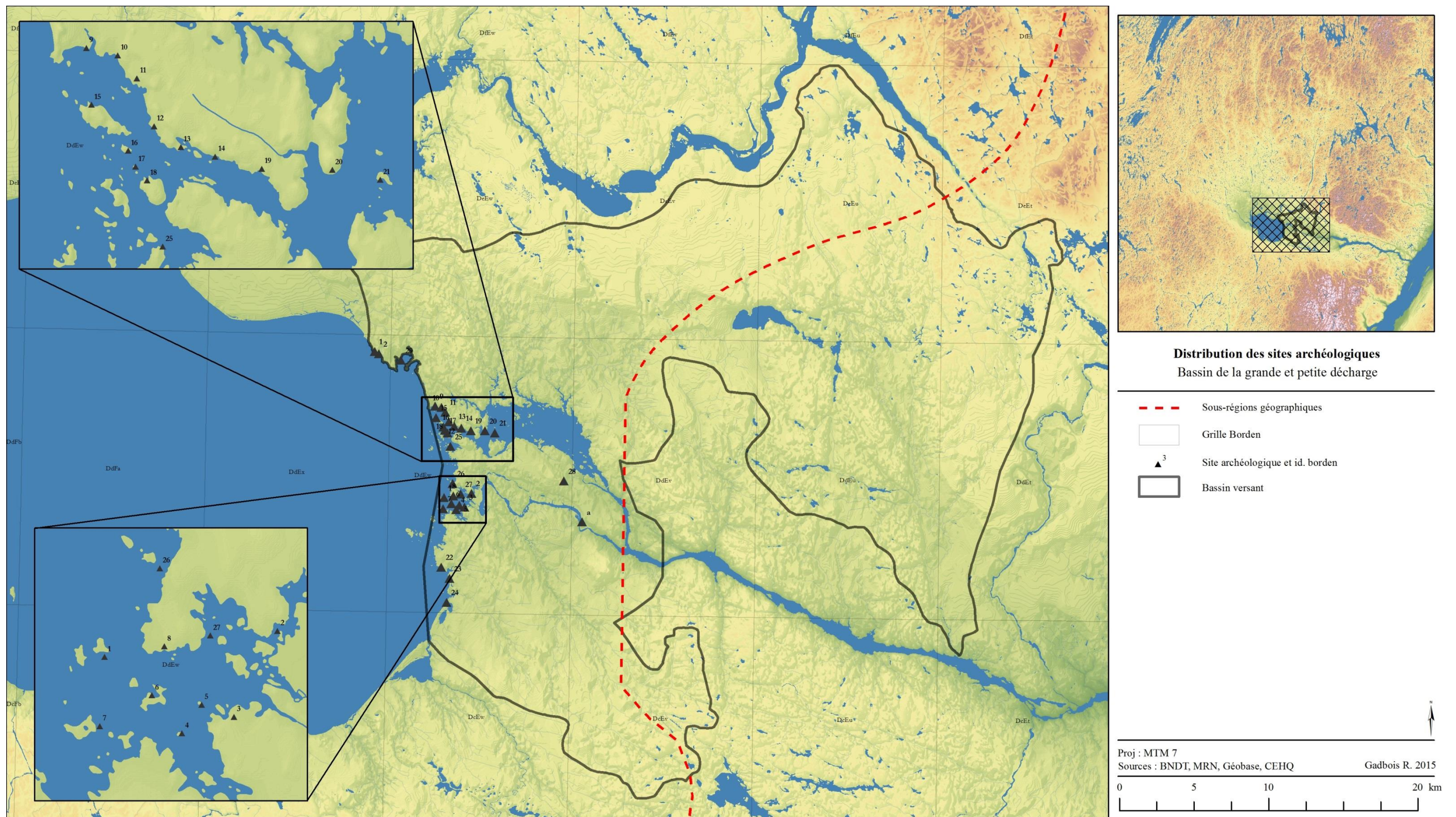


Figure 35 : Distribution des sites archéologiques du sous-bassin des rivières Grande et Petite-Décharge.

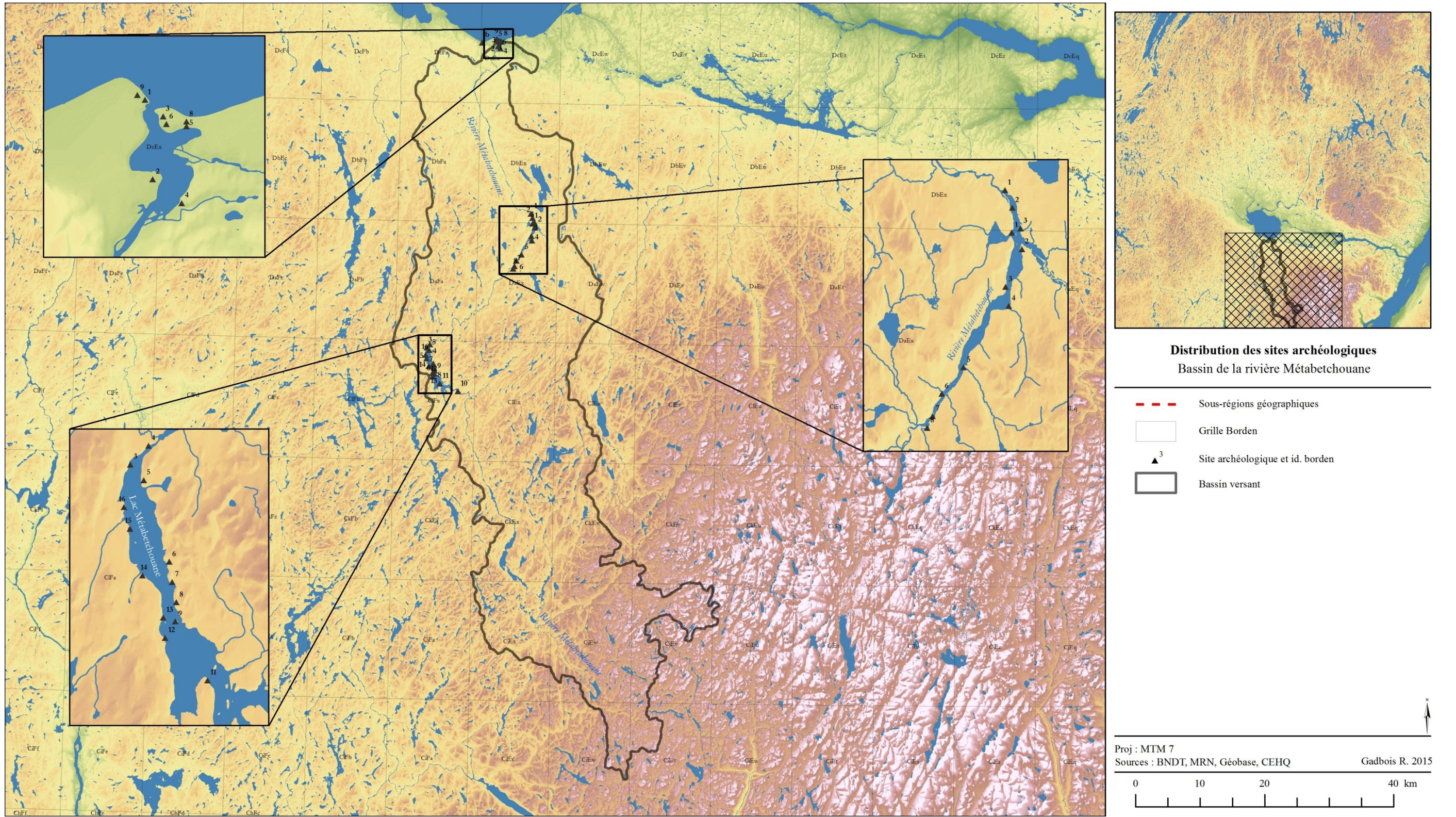


Figure 36 : Distribution des sites archéologiques du sous-bassin de la rivière Métabetchouane.

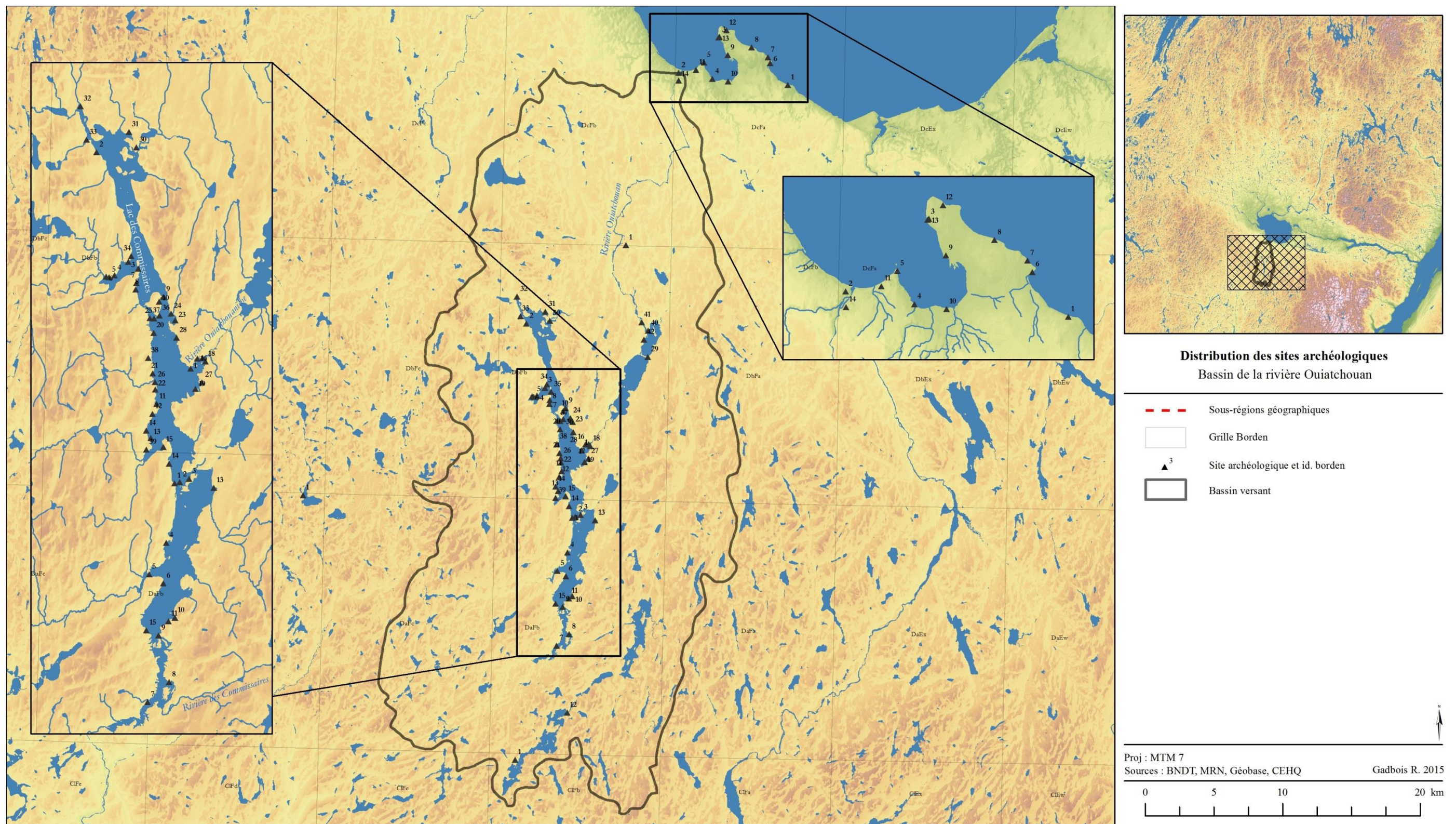


Figure 37 : Distribution des sites archéologiques du sous-bassin de la rivière Ouiatchouan.

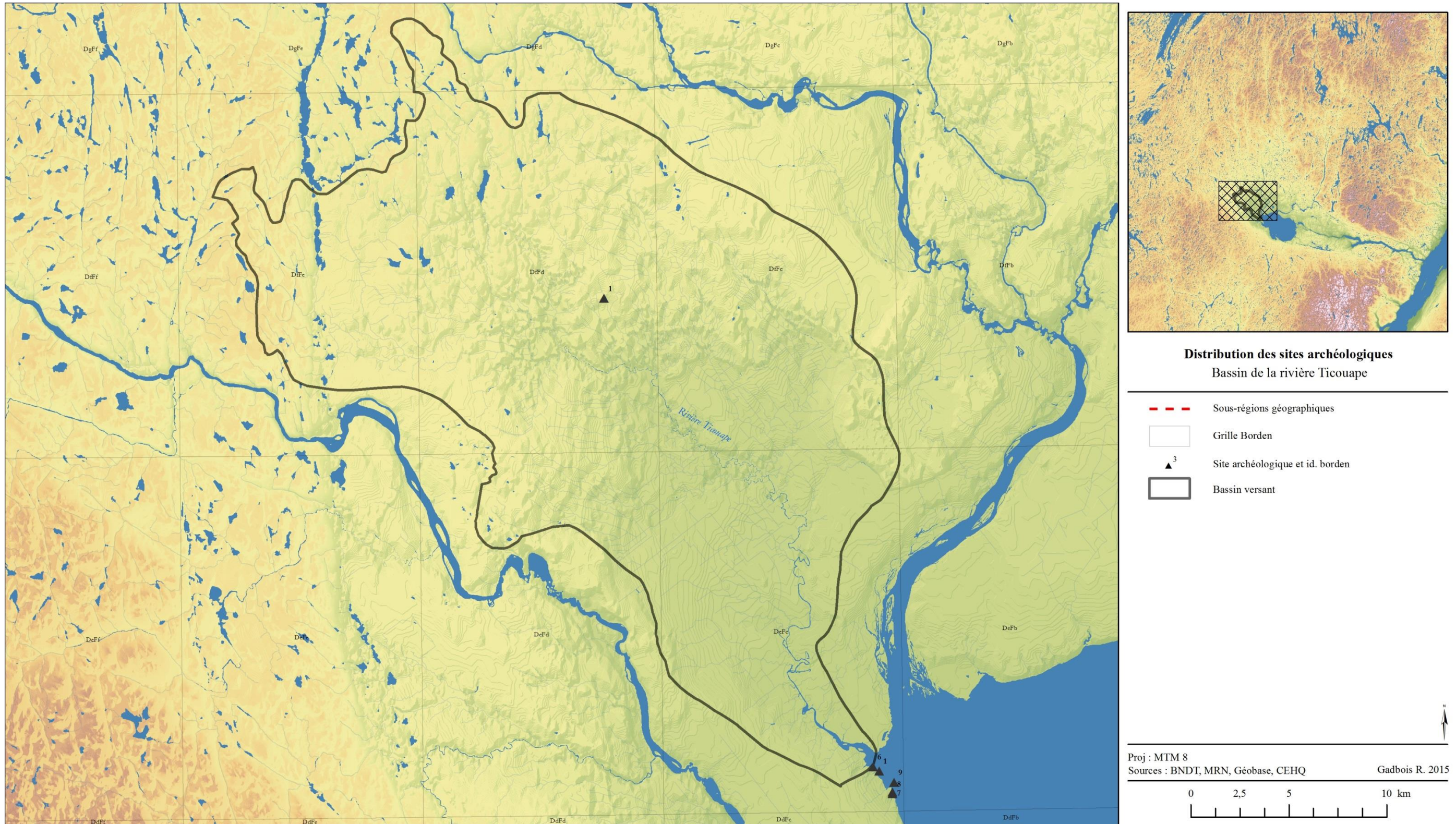


Figure 38: Distribution spatiale des sites archéologiques du sous-bassin de la rivière Ticouapé.

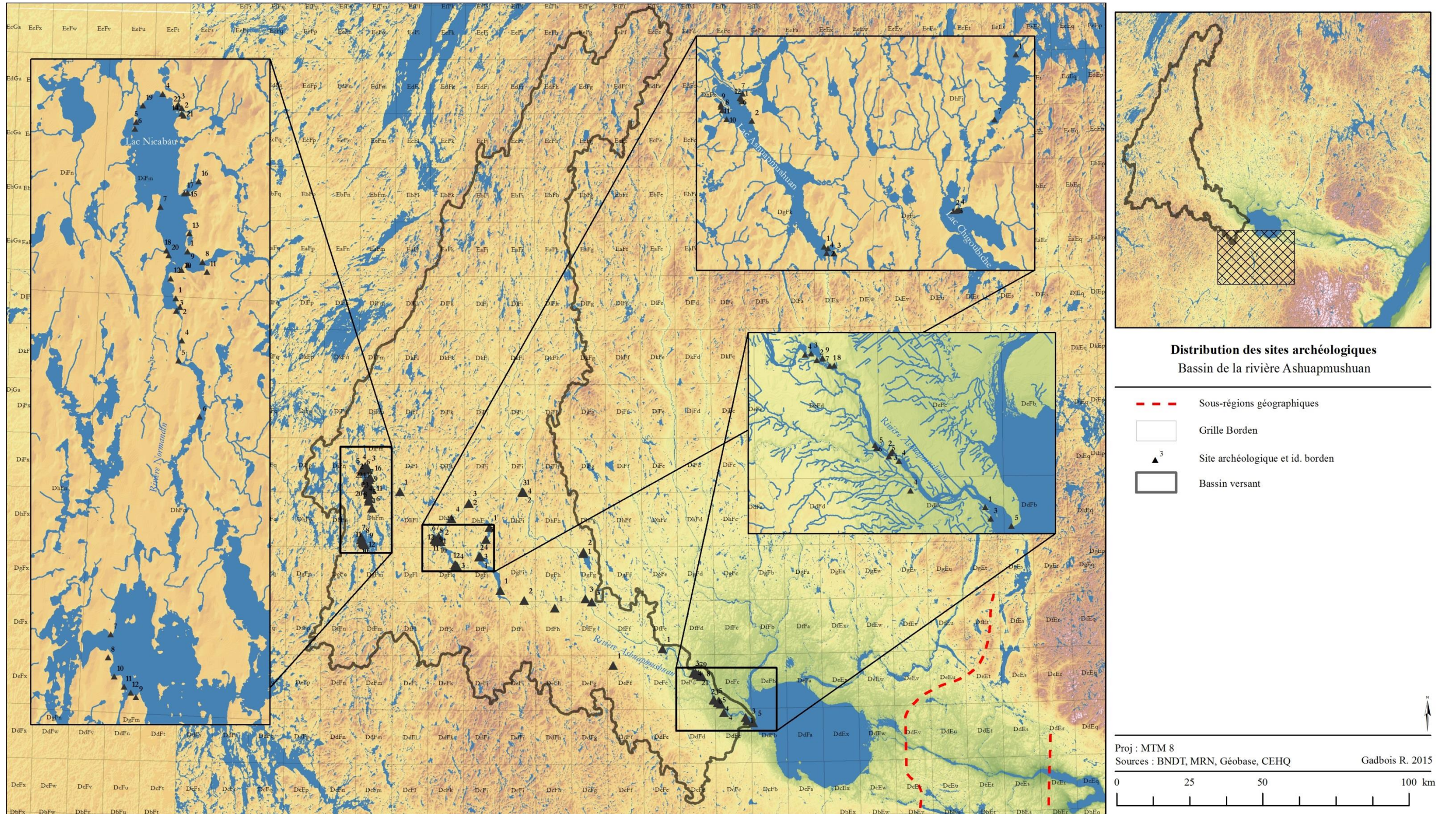
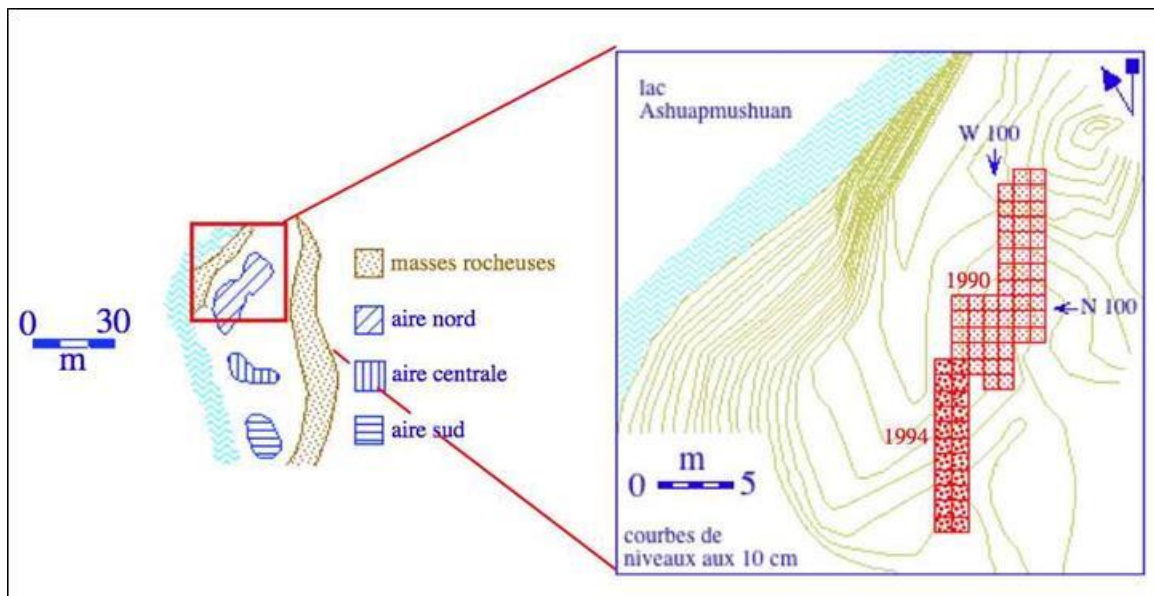
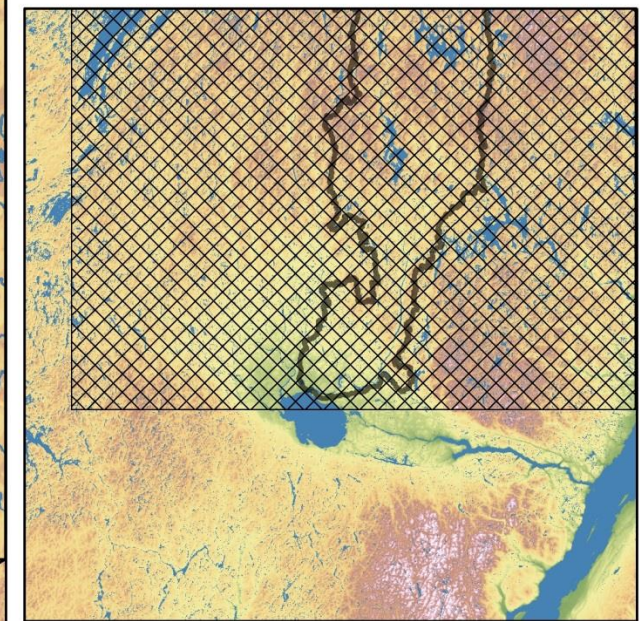
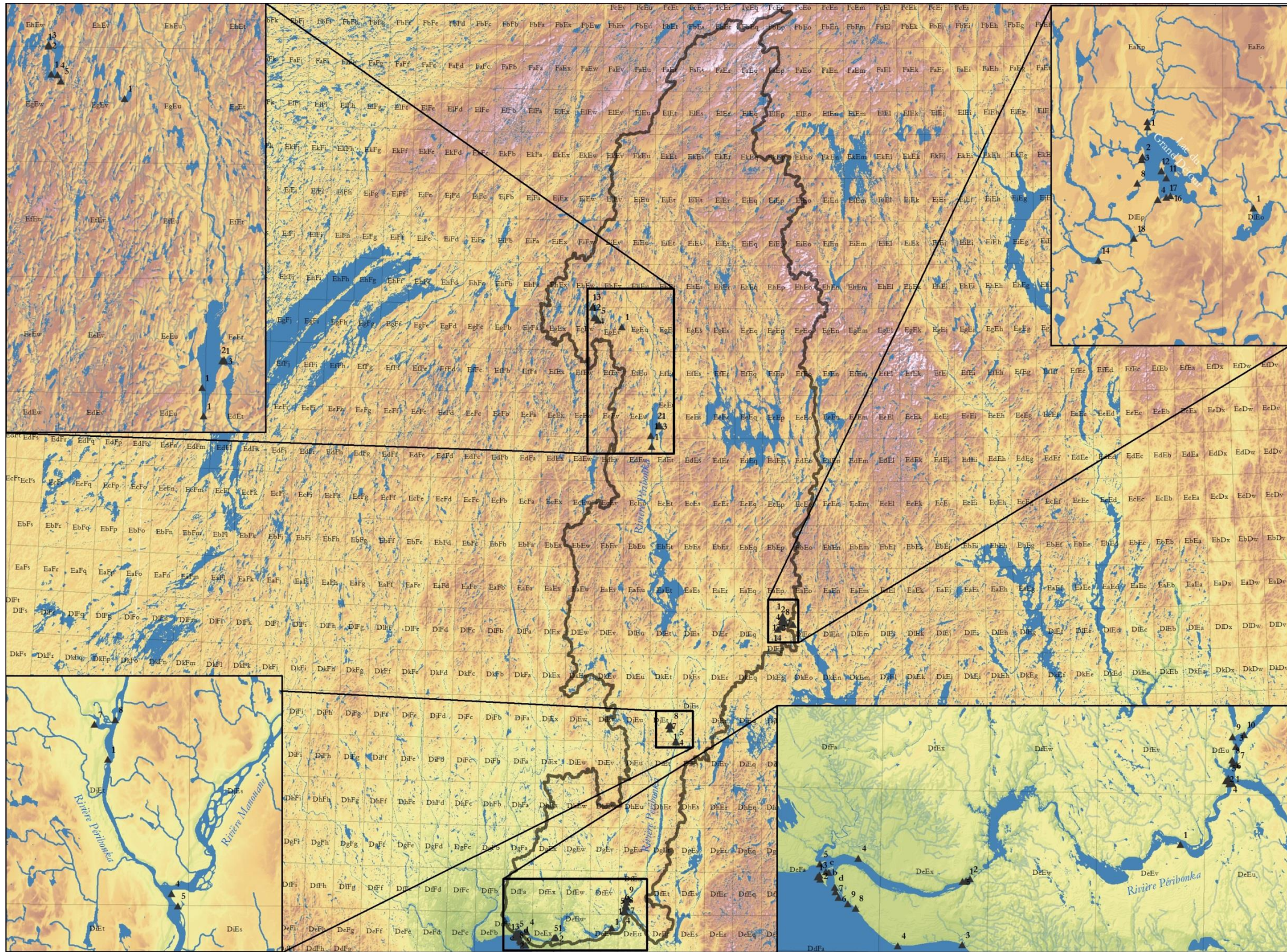


Figure 39: Distribution spatiale des sites archéologiques du sous-bassin de la rivière Ashuapmushuan.



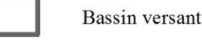


**Distribution des sites archéologiques**  
Bassin de la rivière Pérignonka

Sous-régions géographiques



Site archéologique et id. borden



Proj : MTM 7  
Sources : BNDT, MRN, Géobase, CEHQ

Gadbois R. 2015

0 25 50 100 km

Figure 41 : Distribution spatiale des sites archéologiques du sous-bassin de la rivière Pérignonka.



Figure 42 : DjEt-1, aperçu du site (Langevin, Tremblay, Girard et Moreau 2006).

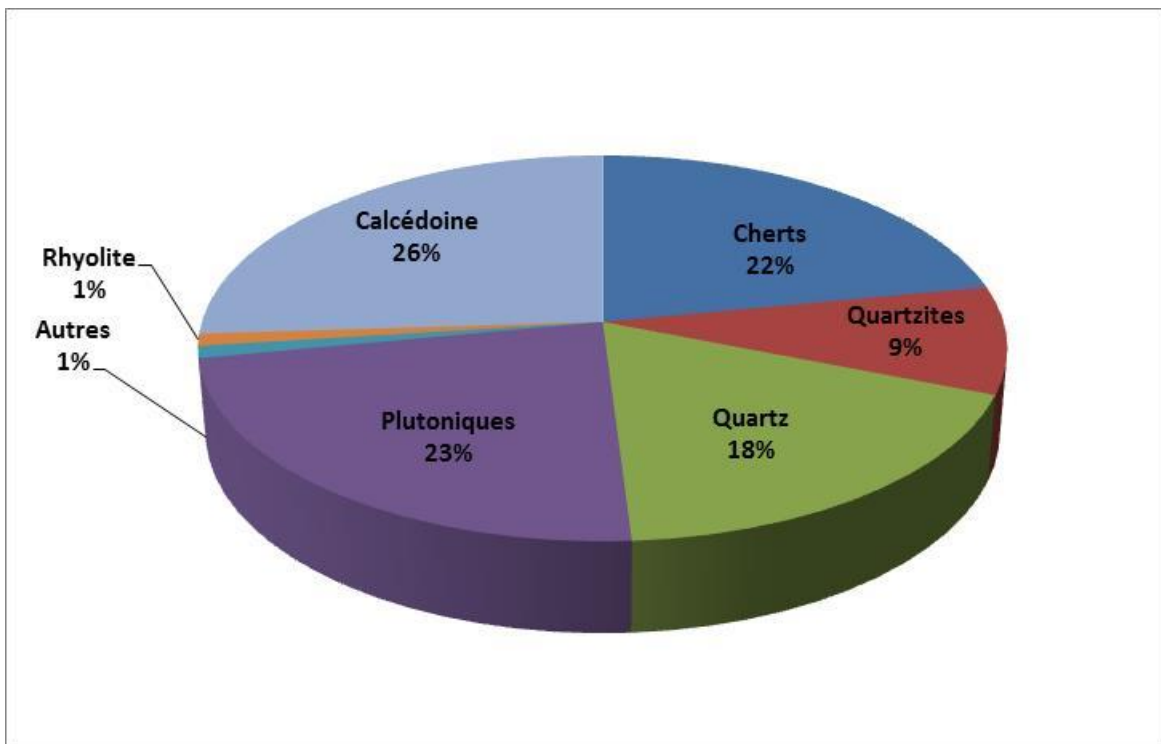


Figure 43: DcEp-3, distribution en pourcentage des matières premières lithiques.

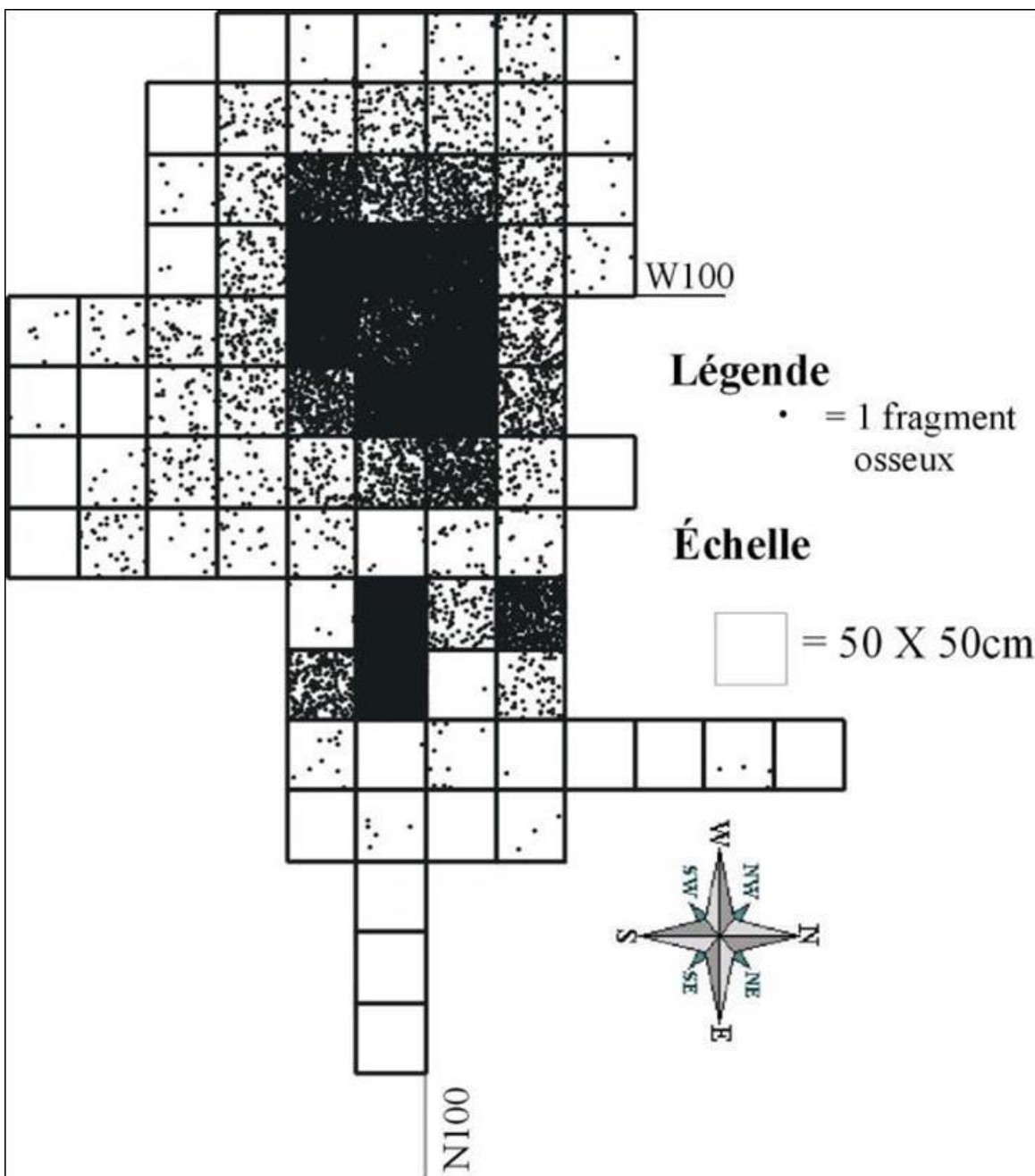


Figure 44: DcEp-3, distribution spatiale des fragments osseux (Langevin, Girard, Dionne et Rioux 2003).

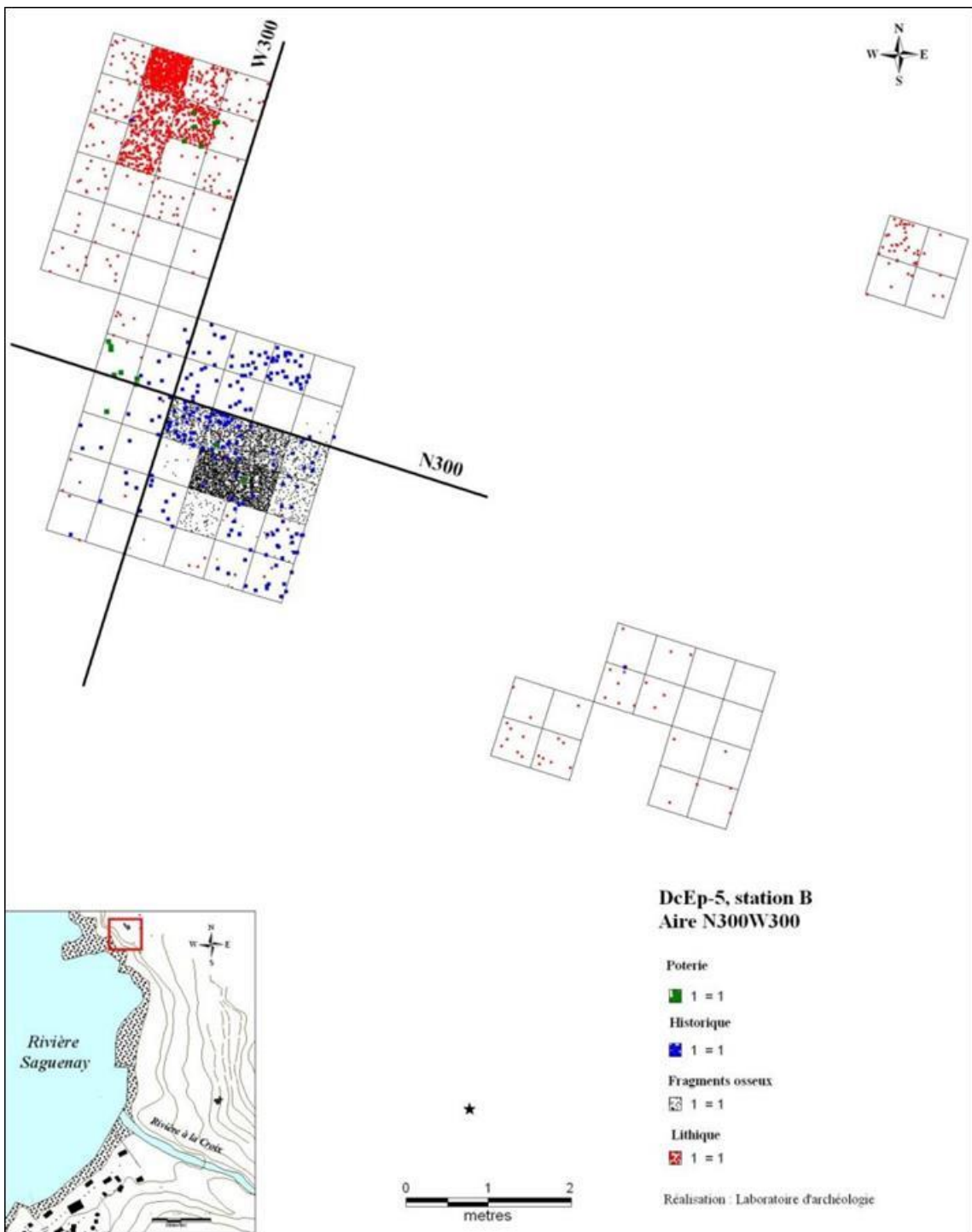


Figure 45: site DcEp-5, station B, aire N300W300. Distribution spatiale des différentes catégories de vestiges (Langevin 2013a).



Figure 46: Site DcEp-5, station B, vestige d'une tente de sudation.

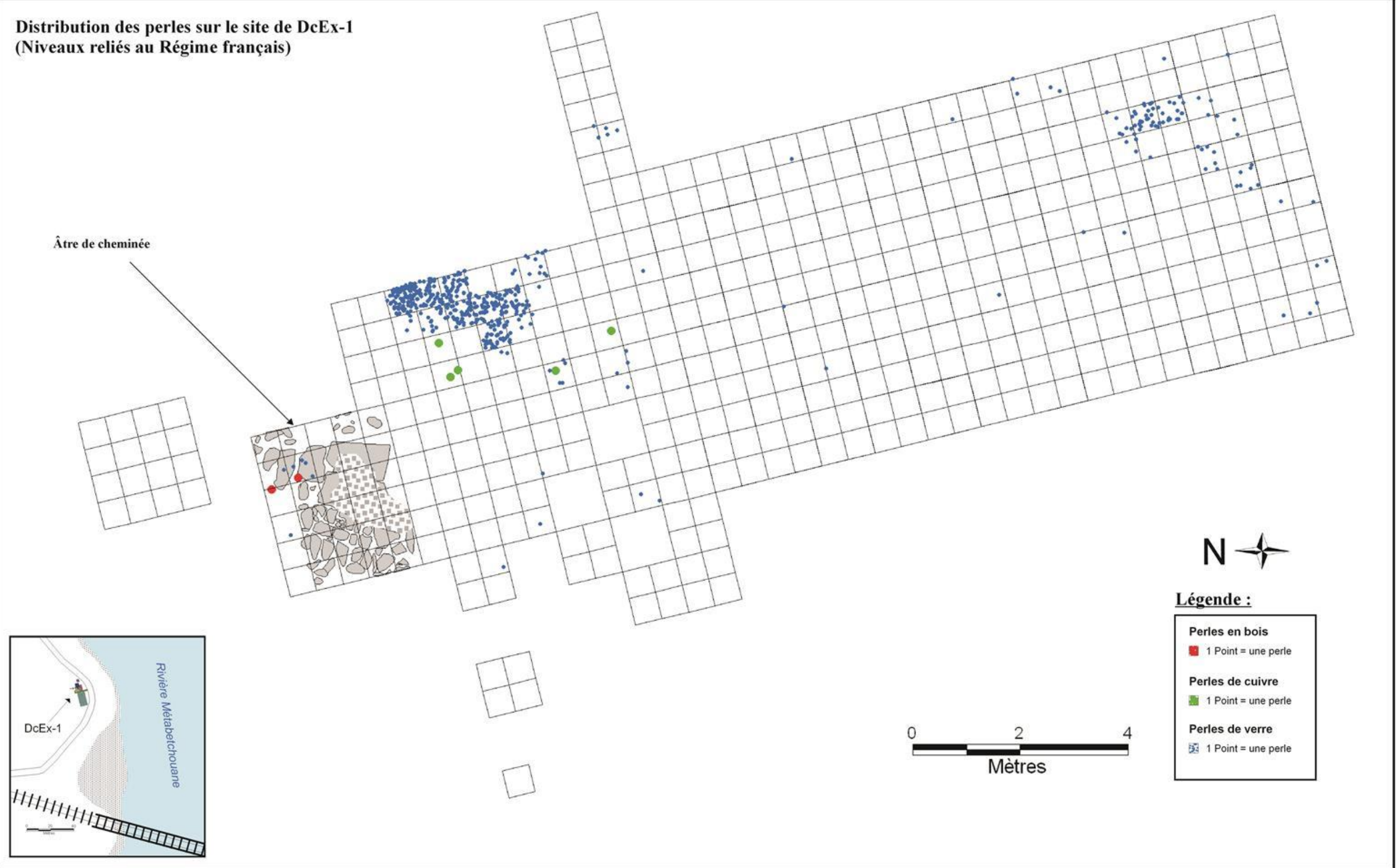


Figure 47 : DcEx-1, distribution des perles de verre de la période française sur l'aire de fouille principale (Tremblay 2012).



Figure 48 : Extrait de la carte de Guillaume Le Testu (1540).

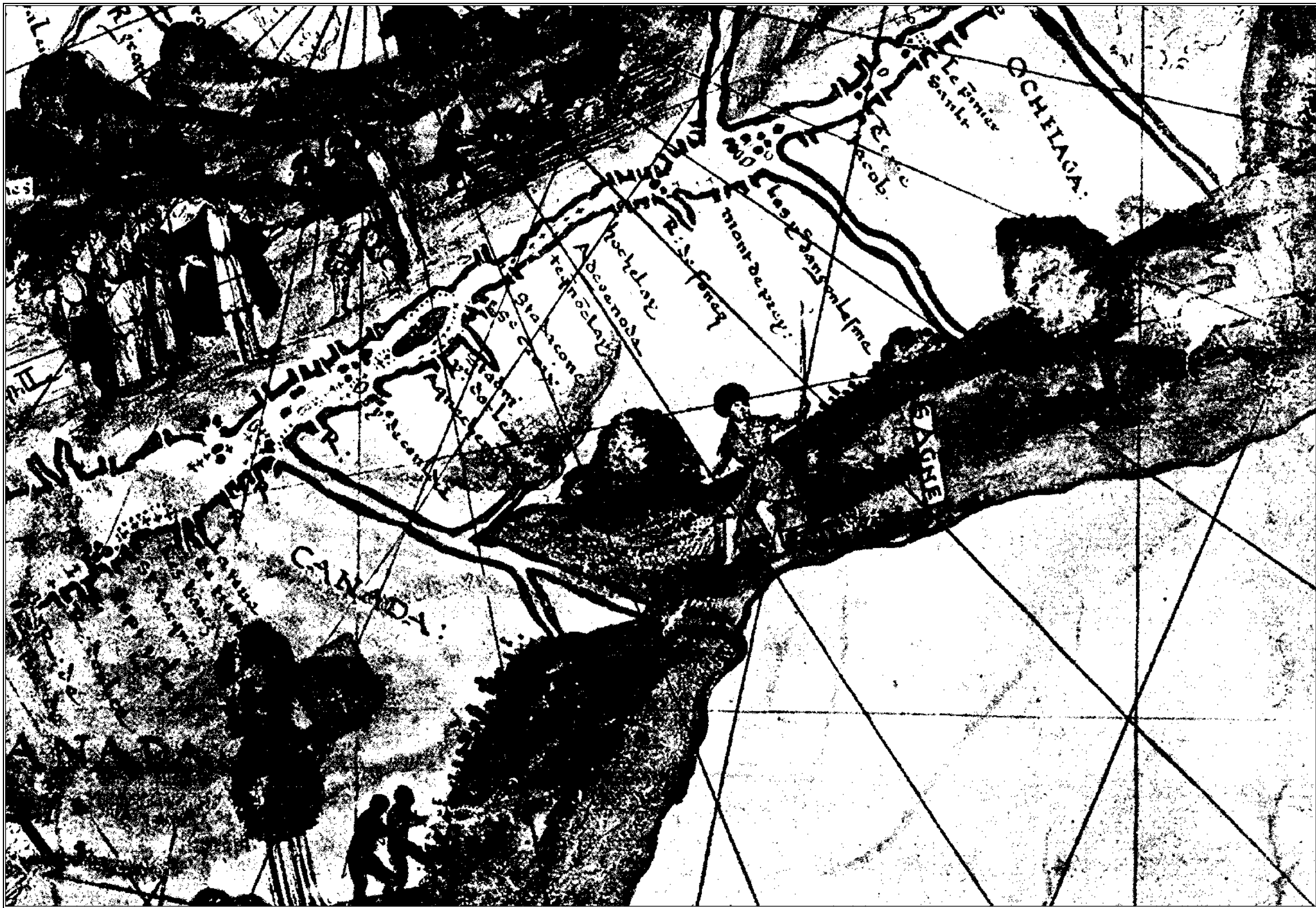


Figure 49 : Extrait d'une carte anonyme (1542-1543).

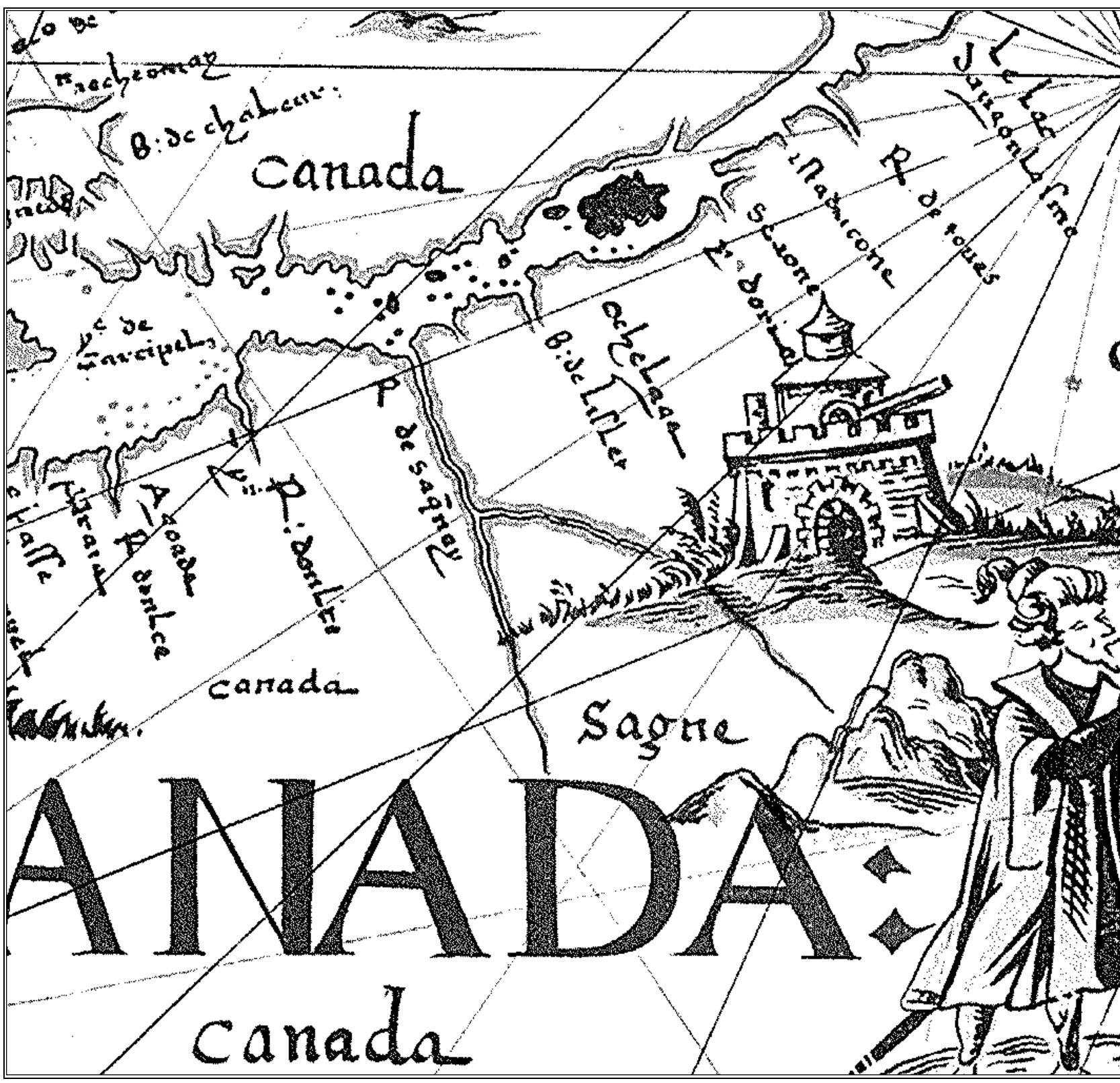


Figure 50: Extrait de la carte de Pierre Desceliers (1550).

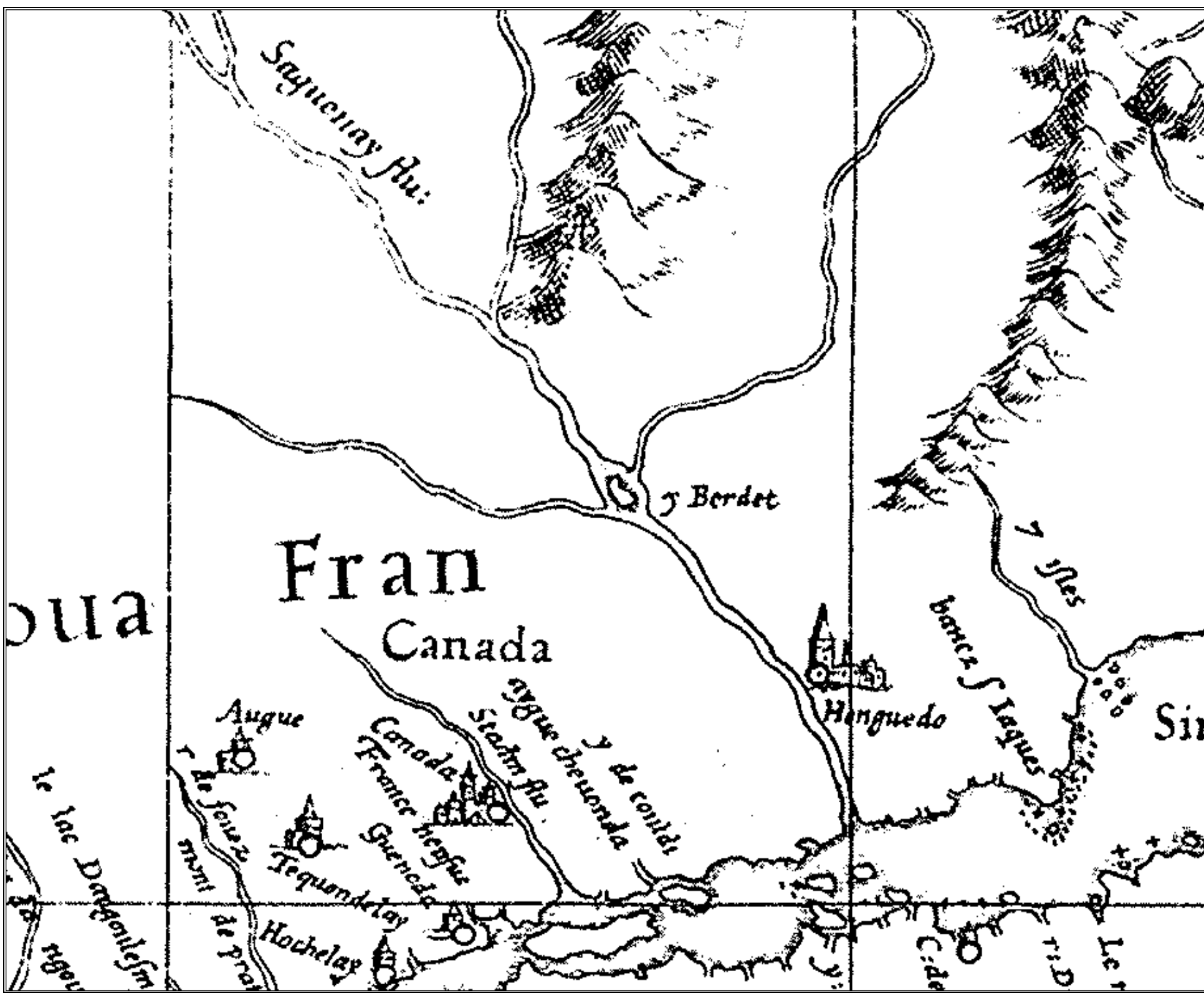


Figure 51 : Extrait de la carte de Mercator (1569).



Figure 52 : Extrait de la carte de Cornelis (1593).



Figure 53 : Extrait de la carte de Matthias Quad (1597).

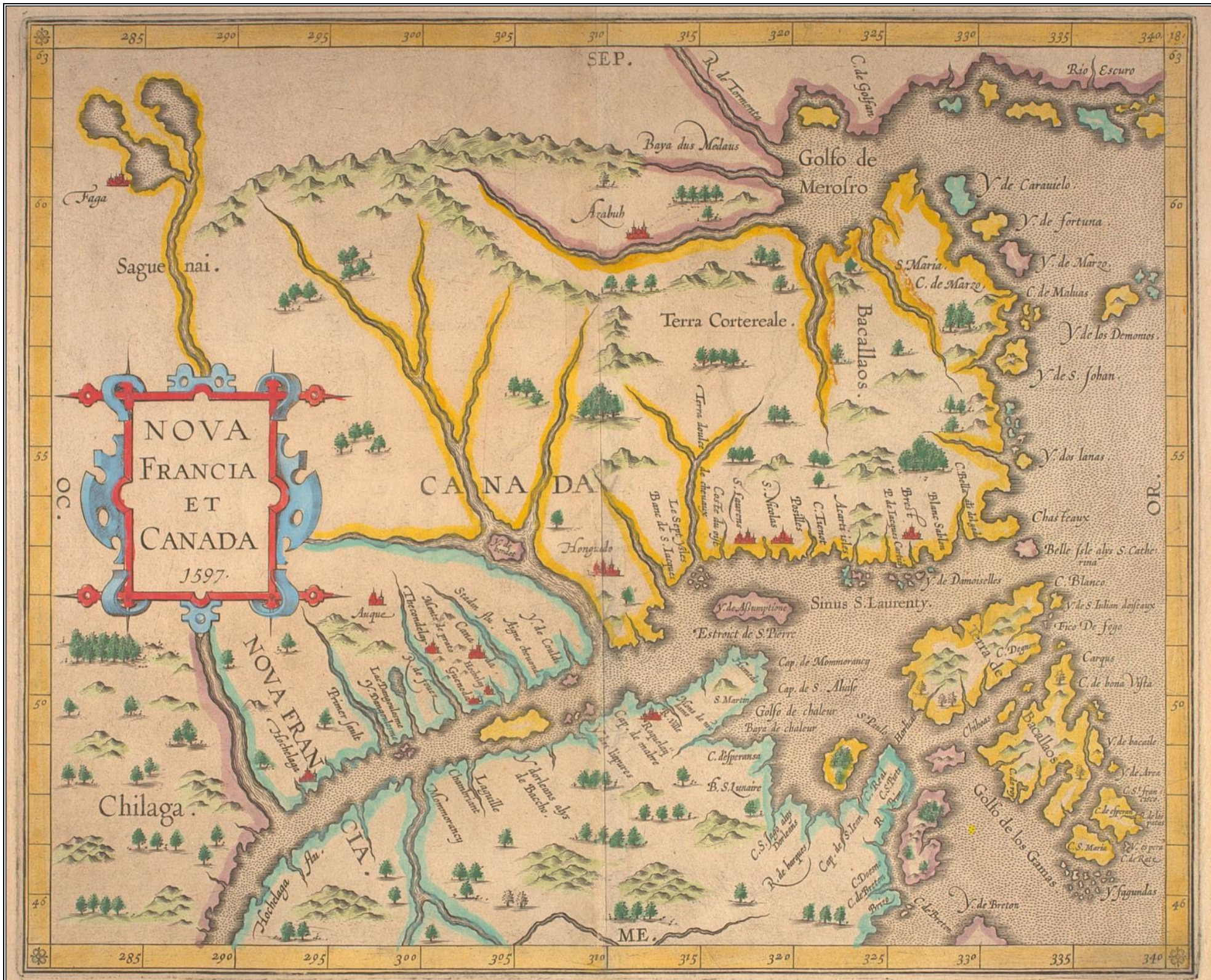


Figure 54 : Carte de Cornelius Wytfliet (1597).



Figure 55 : Extrait de la carte de Matthias Quad (1600).



Figure 56 : Extrait de la carte de Champlain (1612).



Figure 57 : Extrait d'une carte anonyme (circa 1647).

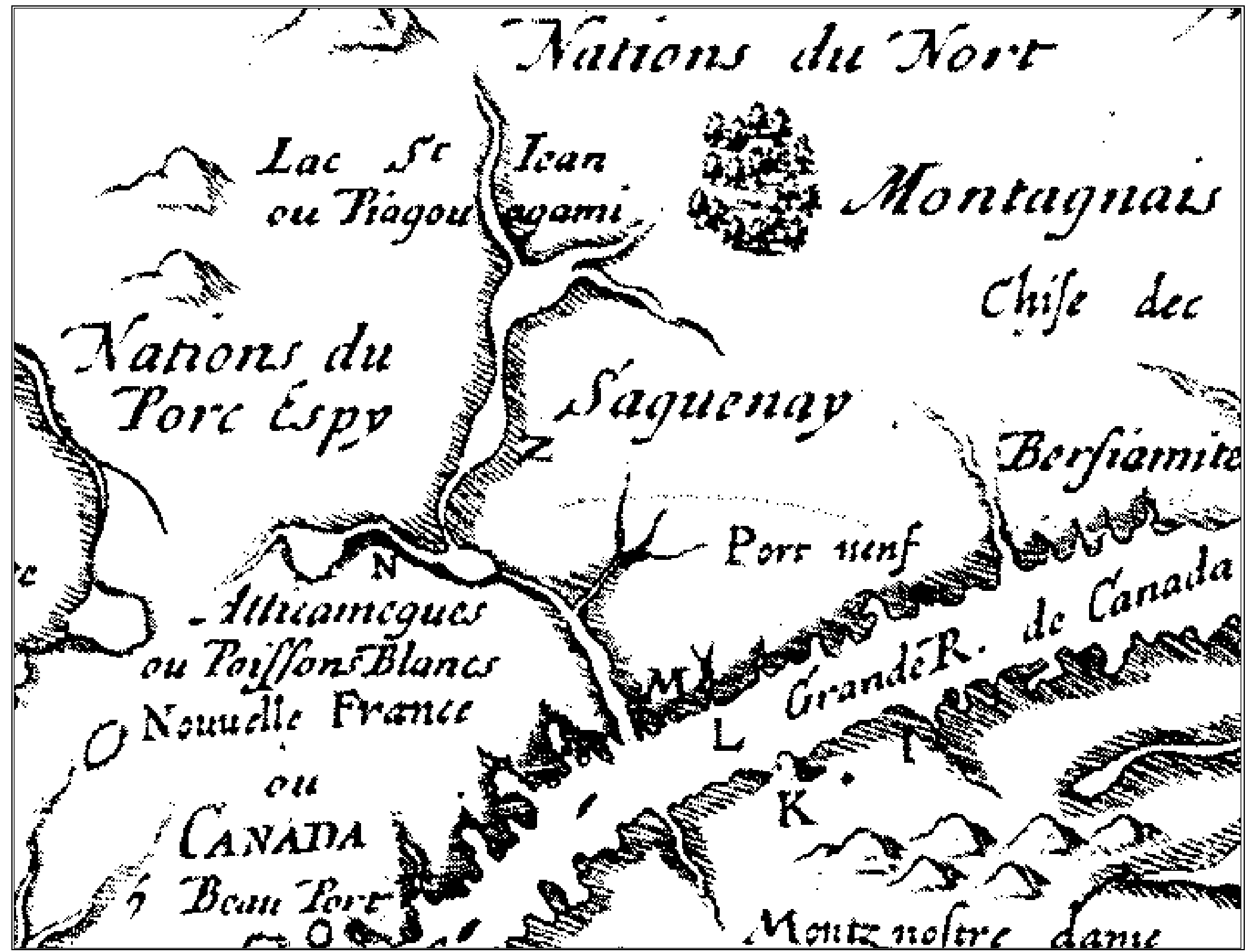


Figure 58 : Extrait d'une carte anonyme d'après celle de Samuel de Champlain (1653).



Figure 59 : Extrait d'une carte de l'atelier Delisle (1703).



Figure 60 : Extrait d'une carte de Pierre Laure du lac Saint-Jean (1733).



Figure 61 : Extrait d'une carte de Pierre Laure du Saguenay (1733).

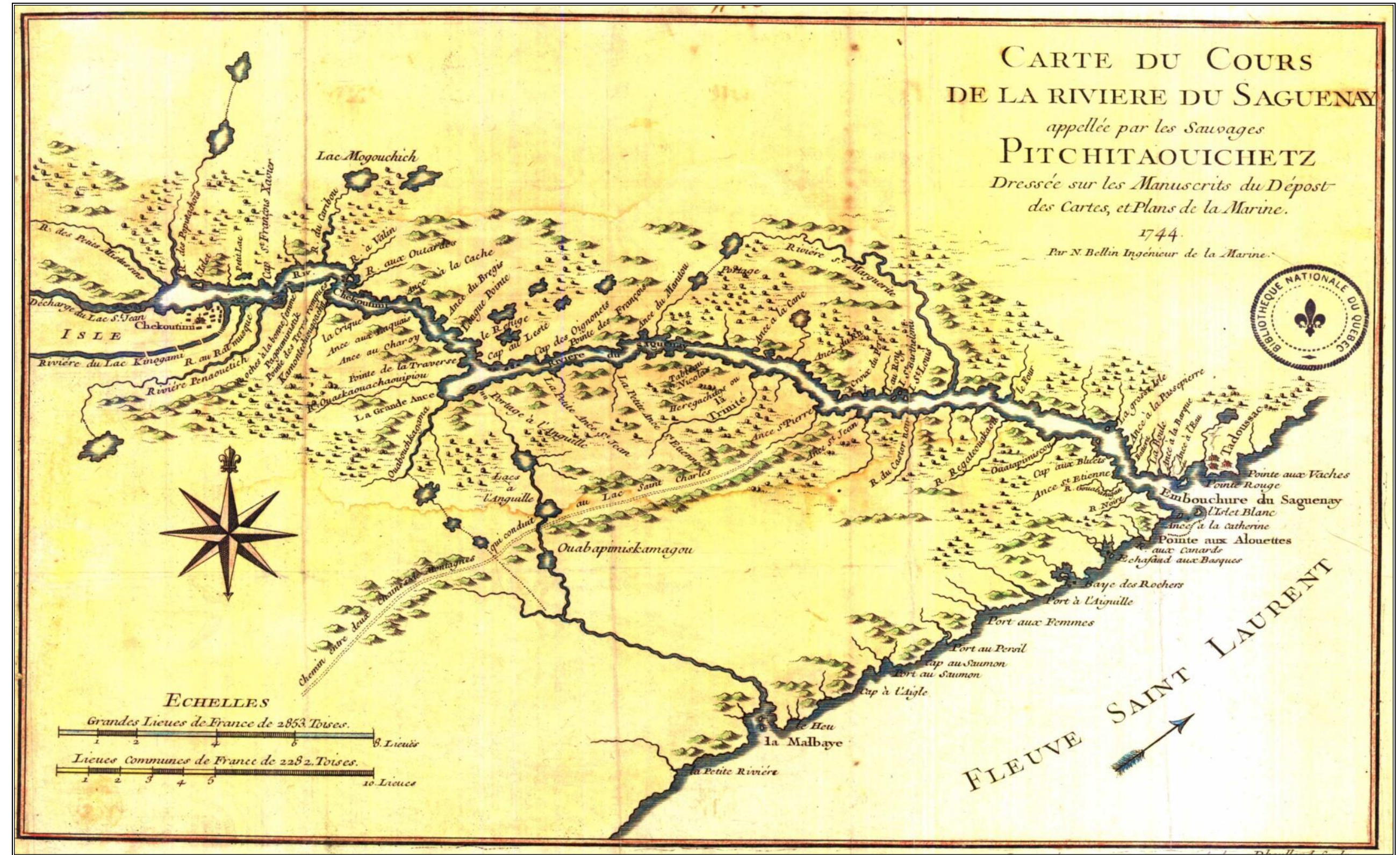


Figure 62 : Carte de Nicolas Bellin (circa 1744).

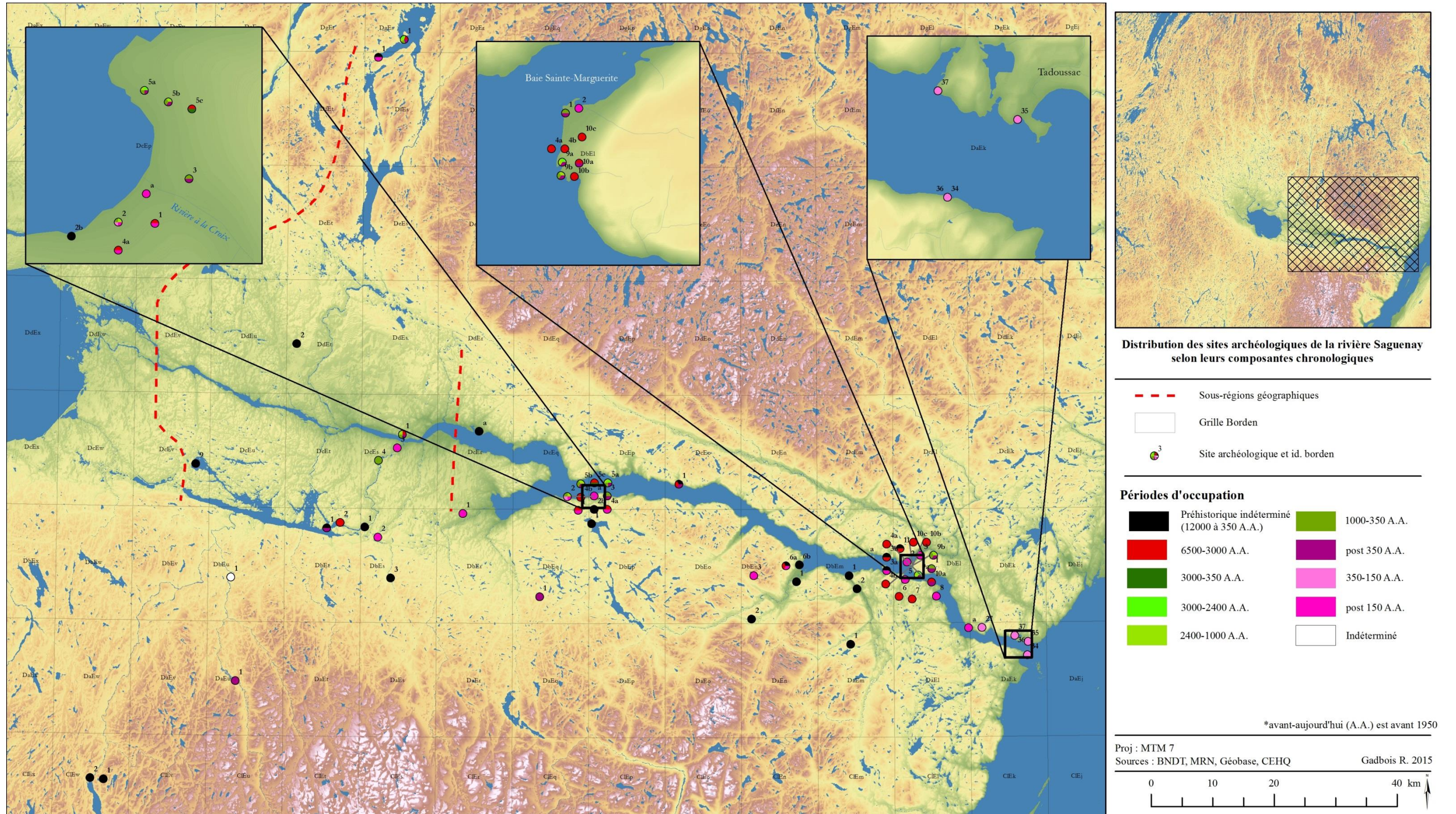
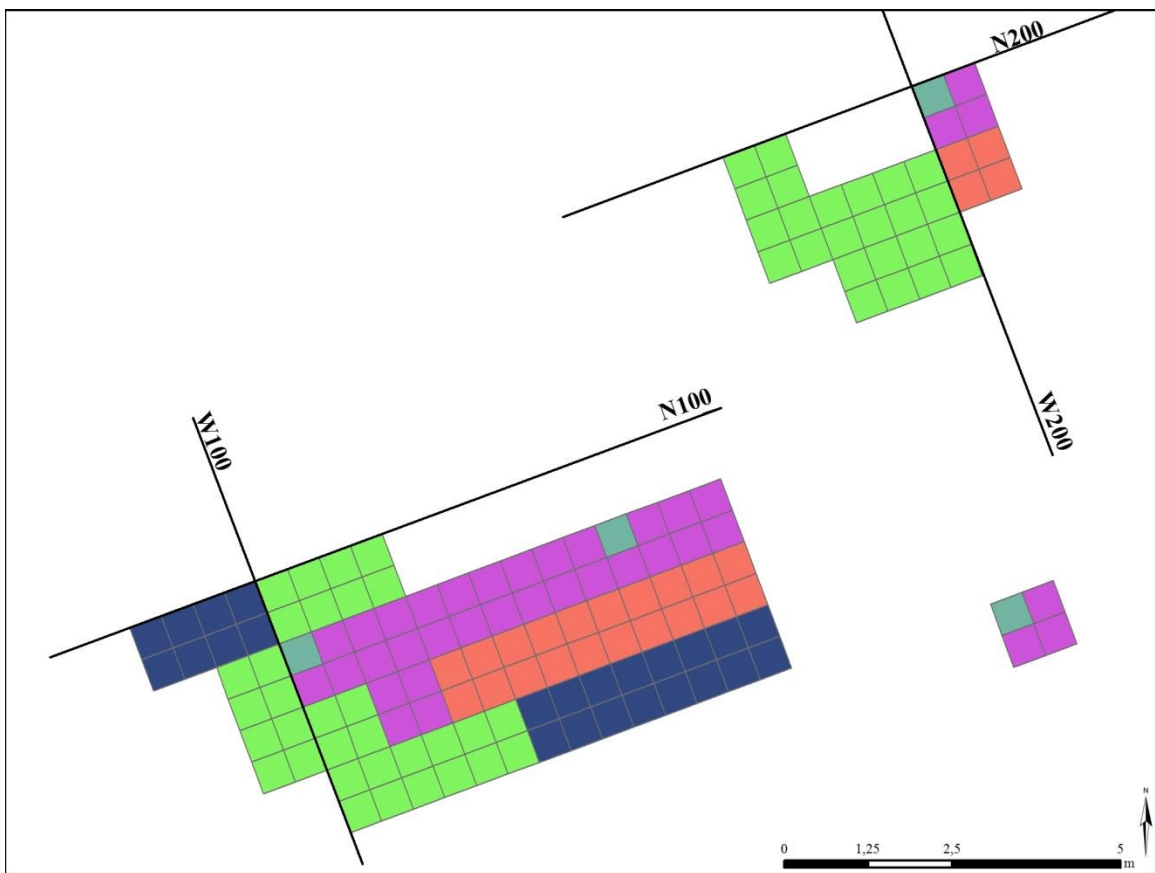


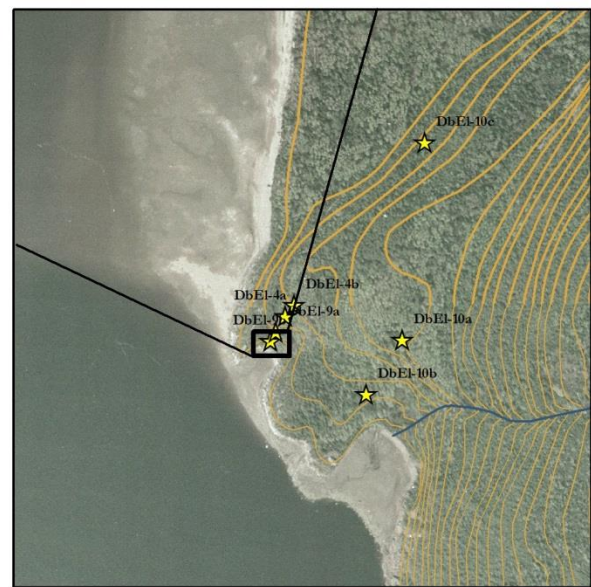
Figure 63 : Distribution des sites archéologiques du Bas et du Haut-Saguenay selon leurs composantes chronologiques.



**Fouilles Archéologiques, DbEl-9b**  
**Année de fouille**

[Teal square]	2000
[Purple square]	2001
[Red square]	2002
[Light Green square]	2003
[Dark Blue square]	2015

- Ruisseau
- Courbe topographique
- ★ Site archéologique



Sources : MRN, Cartothèque Paul-Émile-Boulet  
 Proj. MTM 7 Subarctique 2016

**Figure 64 : Site DbEl-9, station B, plan de la surface fouillée (Langevin, Tremblay et Fortin 2016).**



Figure 65 : Station B du site DbEl-9, stratigraphie.

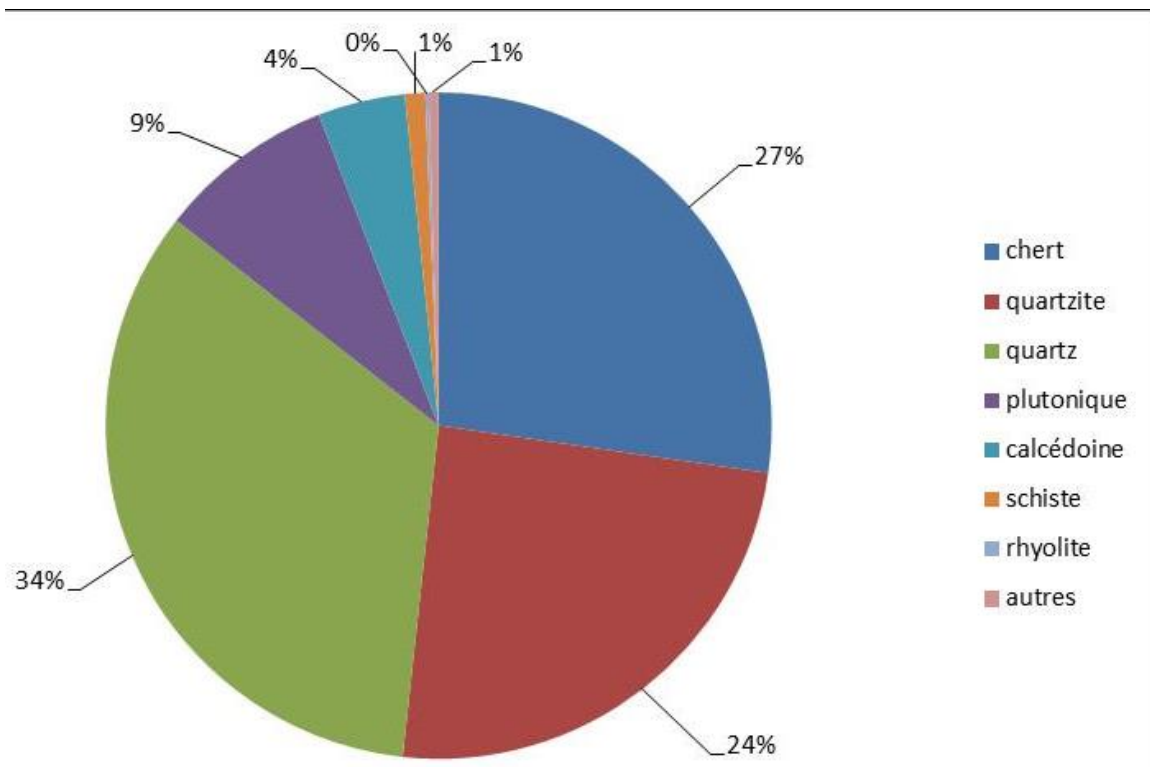


Figure 66: Site DbEl-9, station B, ventilation des matières premières lithiques, 2000 à 2015 (Langevin, Tremblay et Fortin 2016).

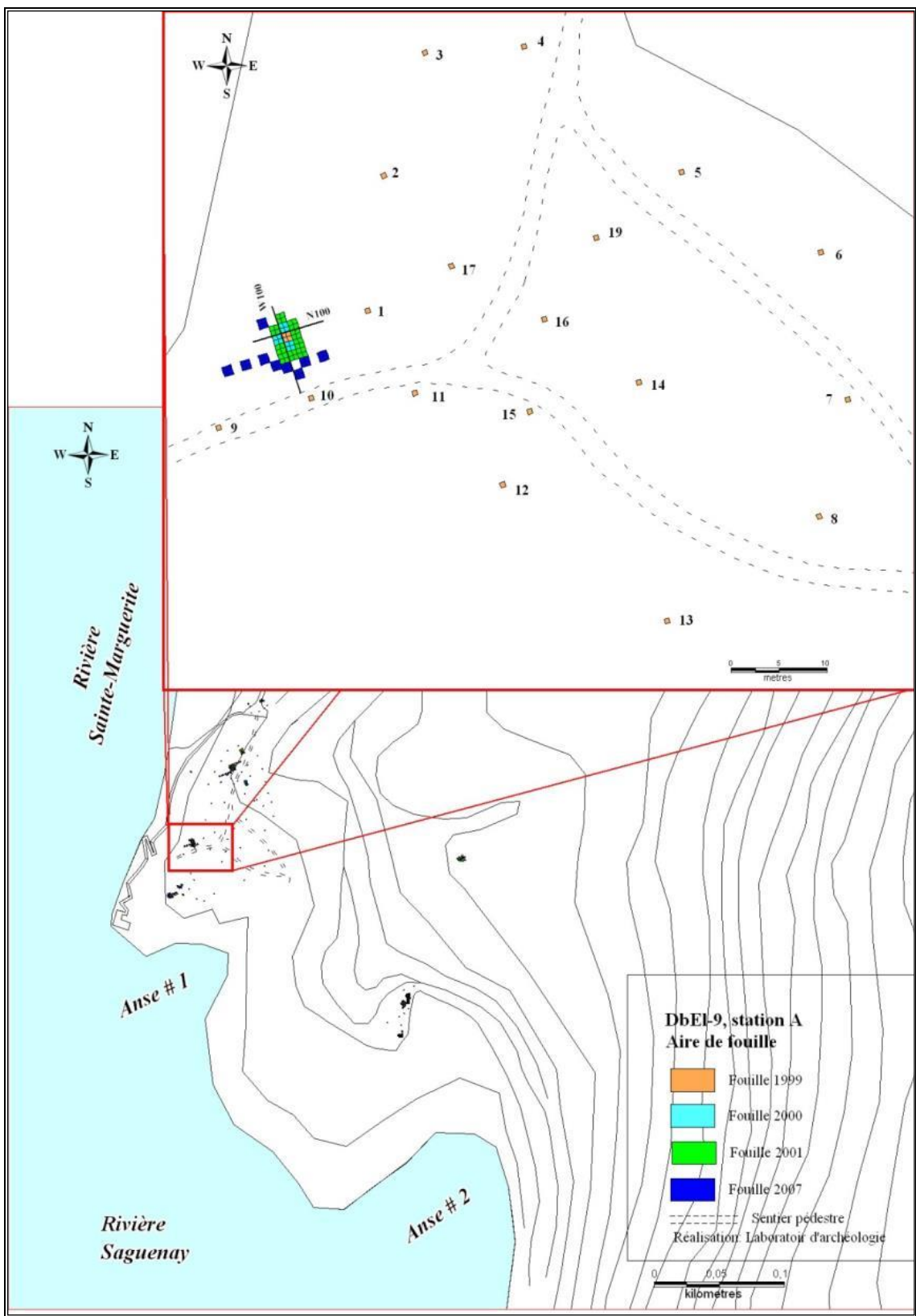


Figure 67 : Site DbEl-9, station A, plan de la surface fouillée (Langevin et Lavoie-Painchaud 2007).

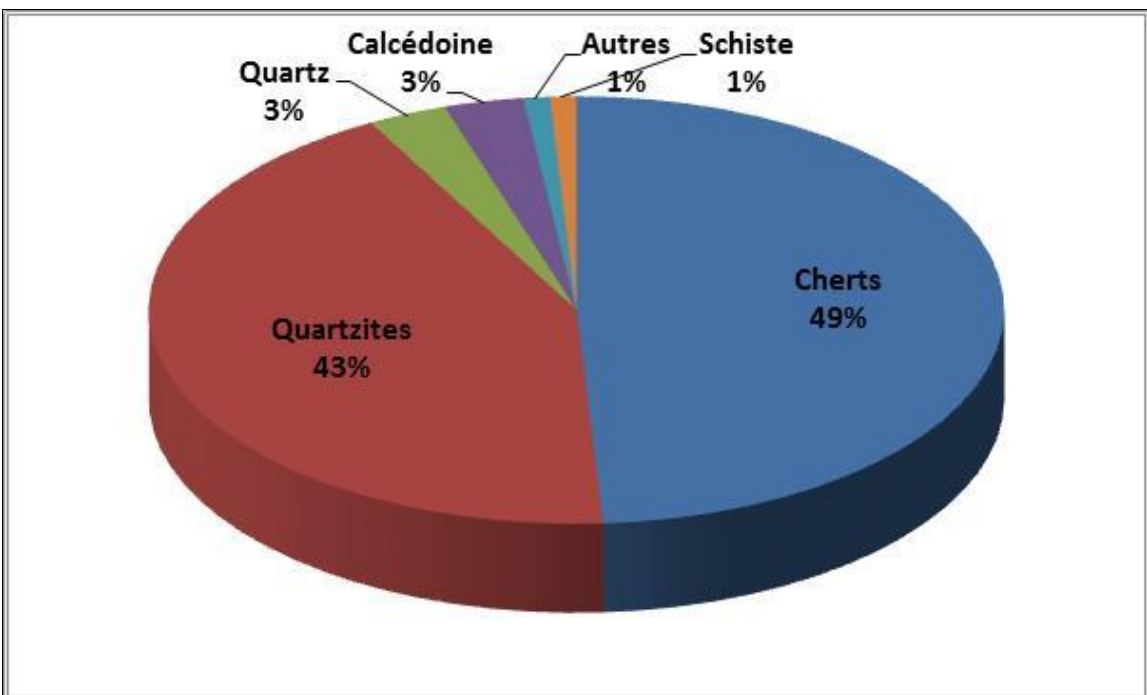


Figure 68 : Site DbEl-9, station A, ventilation des matières premières lithiques, 1999 à 2007.



Figure 69 : Site DbEl-9, station A, éléments structuraux (Langevin et Lavoie-Painchaud 2008).

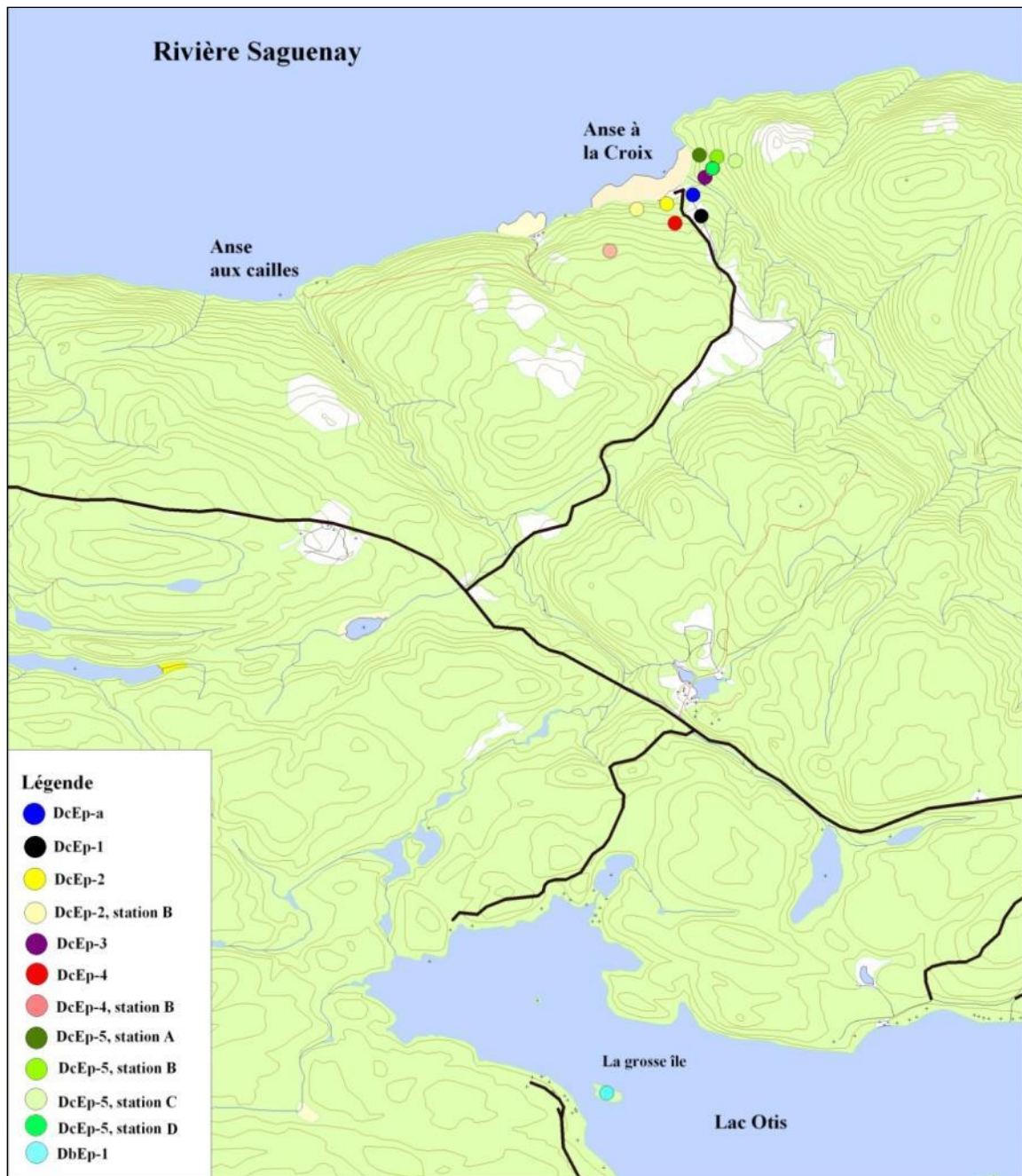


Figure 70 : Carte topographique de l'Anse-à-la-Croix, échelle 1 : 50 000 (22 D/7).

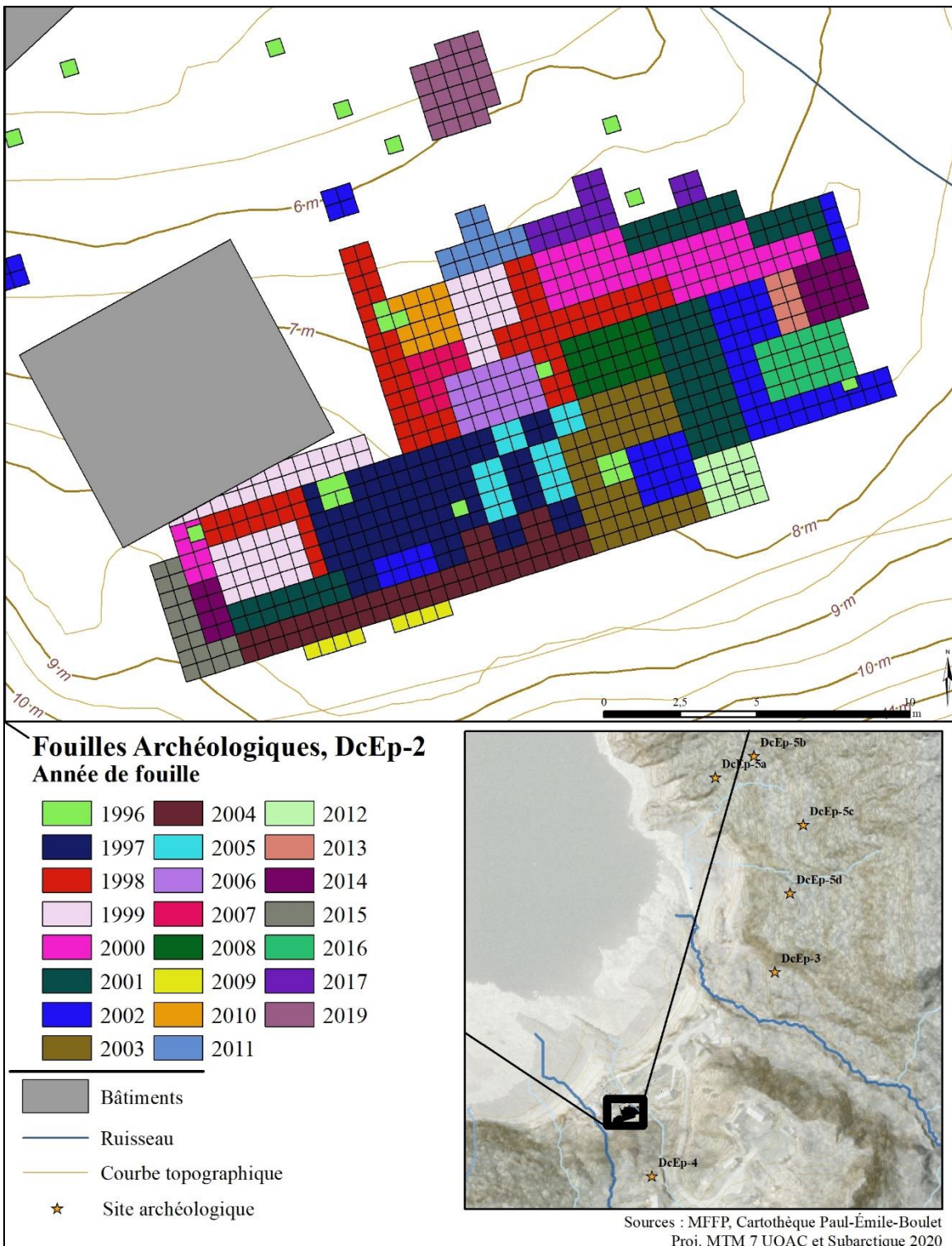


Figure 71: Site DcEp-2, interventions annuelles, années 1996 à 2017 (Plourde, Bouchard, Pilette et Langevin 2020).



Figure 72 : Site DcEp-2, aire de combustion.



Figure 73 : Site DcEp-2, trou de poteau.

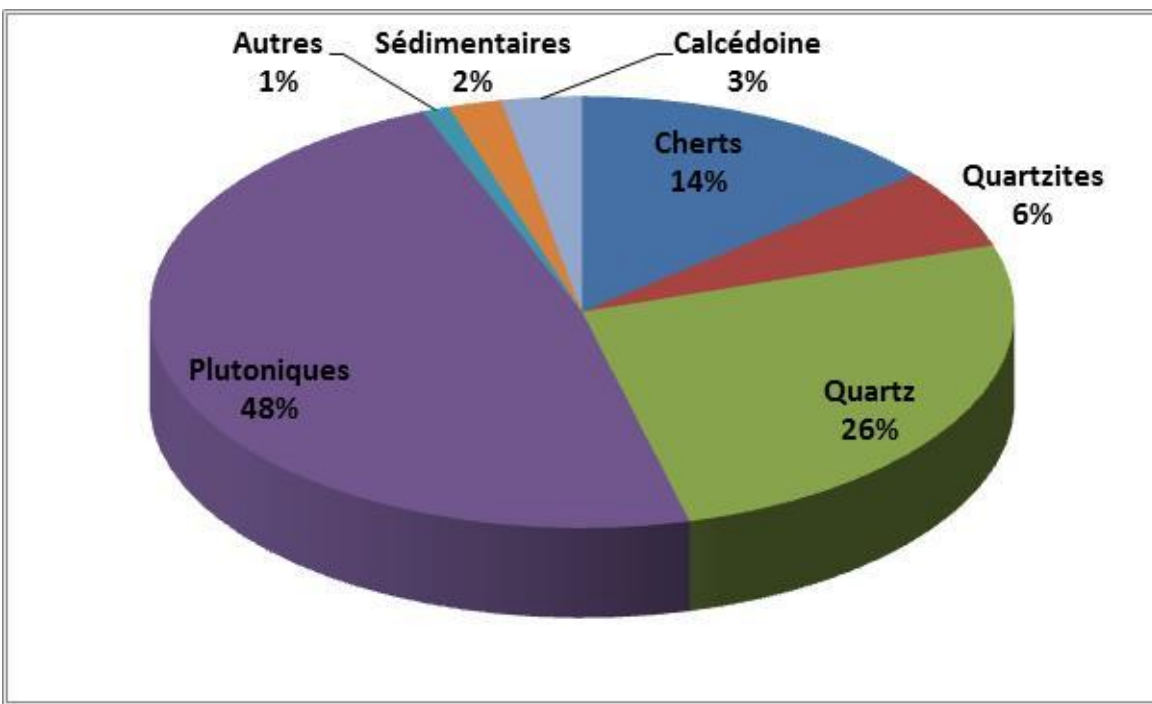
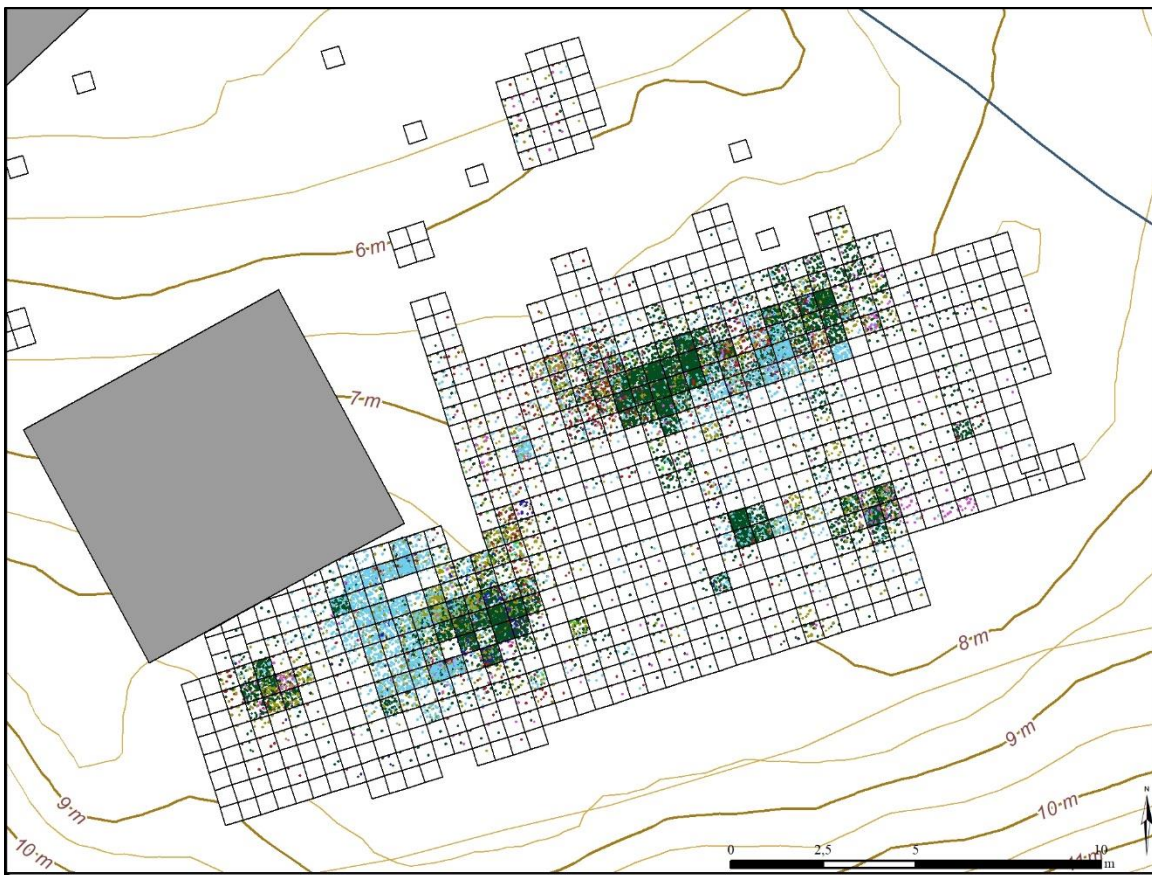


Figure 74 : Site DcEp-2, ventilation des matières premières lithiques, années 1996 à 2013 (Gadbois et Langevin 2014).



### Fouilles Archéologiques, DcEp-2 Types de matières lithiques

1 Point = 1 vestige lithique

- |              |                 |
|--------------|-----------------|
| ● Calcédoine | ● Siltstone     |
| ● Chert      | ● Métaquartzite |
| ● Quartz     |                 |
| ● Quartzite  |                 |
| ● Rhyolite   |                 |
| ● Schiste    |                 |
| ● Plutonique |                 |

Bâtiments

Ruisseau

Courbe topographique

Site archéologique



Sources : MFFP, Cartothèque Paul-Émile-Boulet  
Proj. MTM 7 UQAC et Subarctique 2020

Figure 75 : Site DcEp-2, distribution des vestiges lithiques en fonction de leur provenance présumée, années 1996 à 2019 (Plourde, Bouchard, Pilette et Langevin 2020).

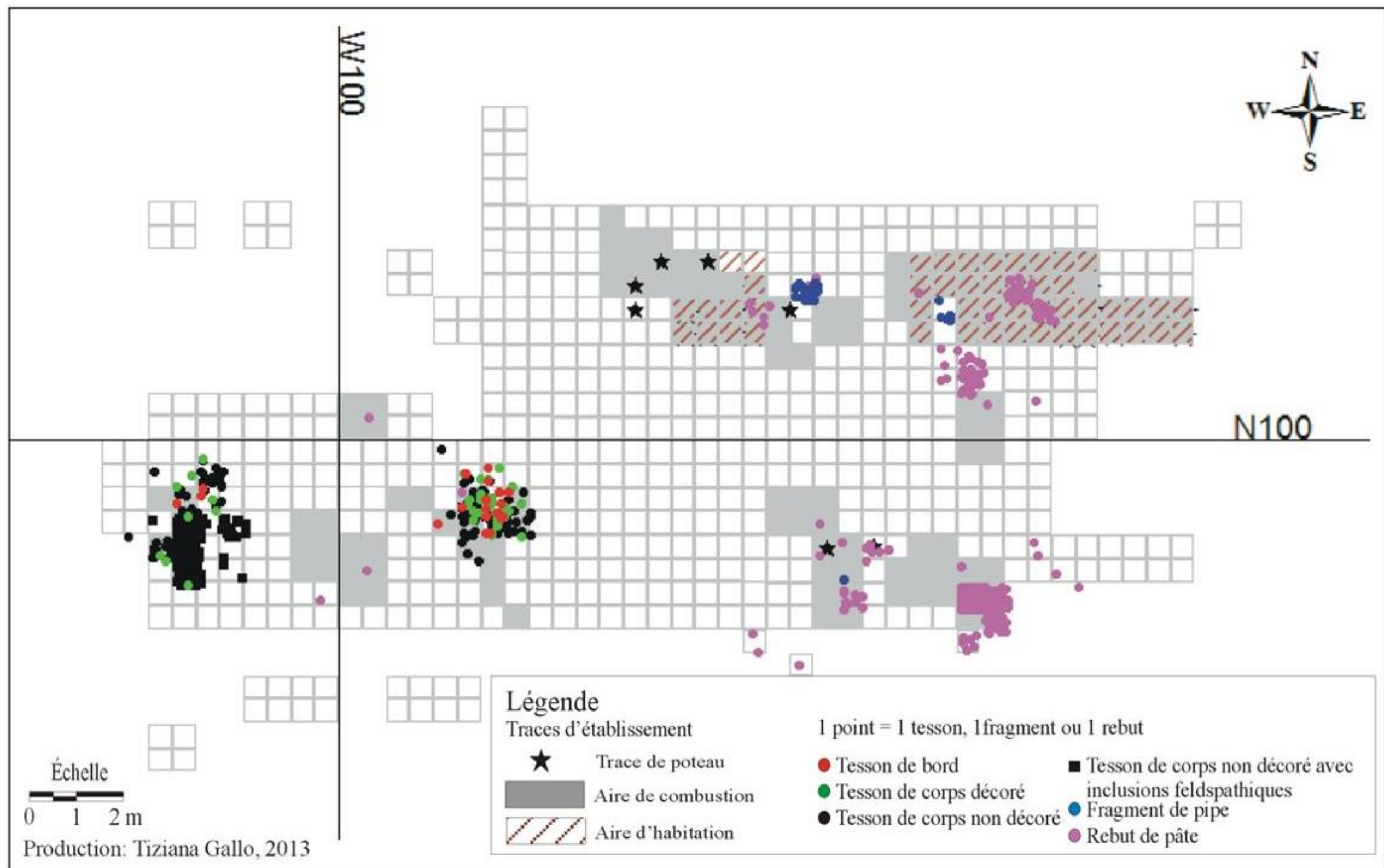


Figure 76 : Site DcEp-2, distribution des vestiges céramiques, années 1996 à 2012 (Gallo 2013).

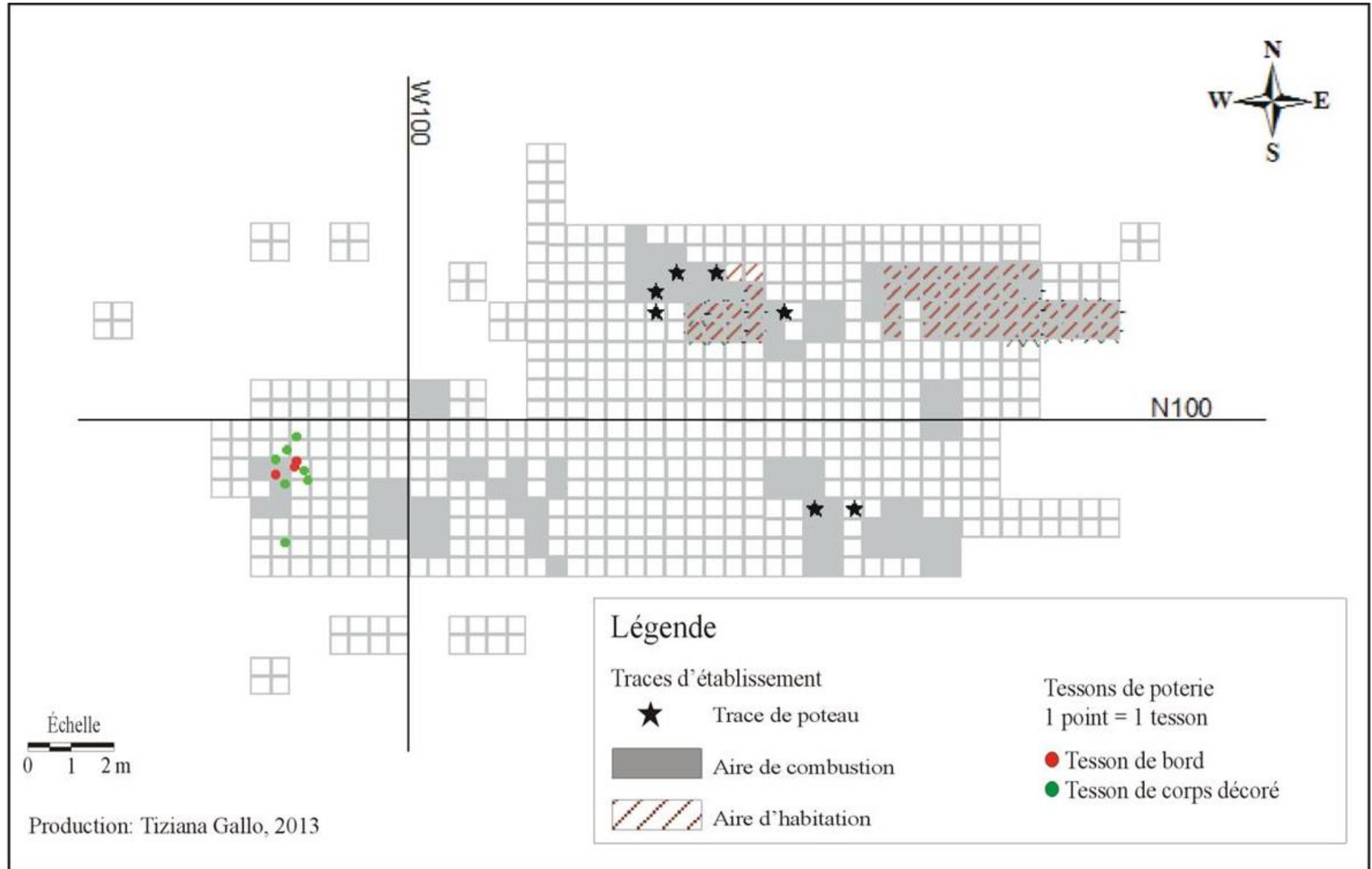


Figure 77 : Site DcEp-2, distribution horizontale des tessons attribués au Sylvicole moyen tardif (Gallo 2013).

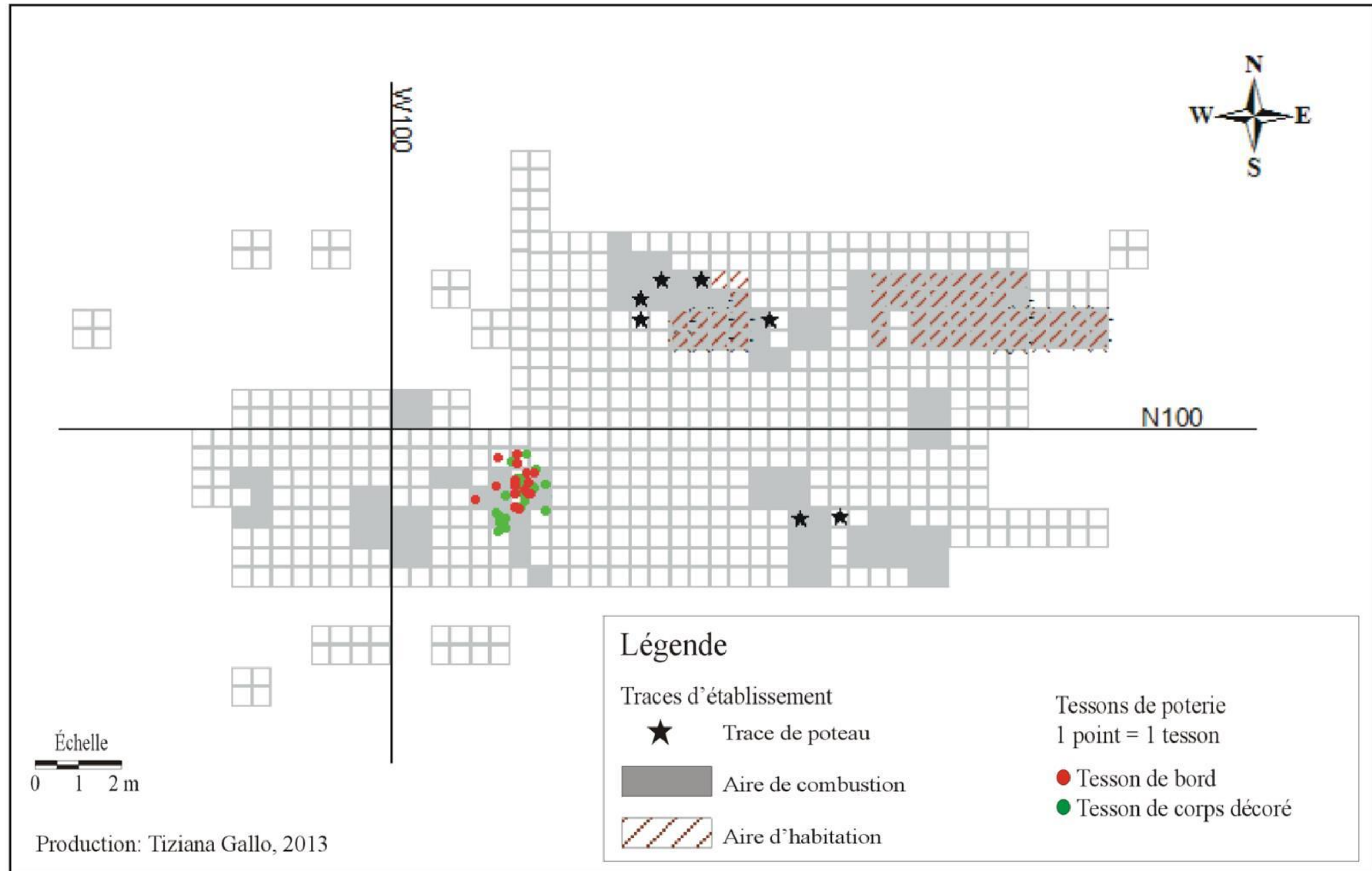


Figure 78 : Site DcEp-2, distribution horizontale des tessons attribués au Sylvicole moyen tardif/Sylvicole supérieur ancien (Gallo 2013).

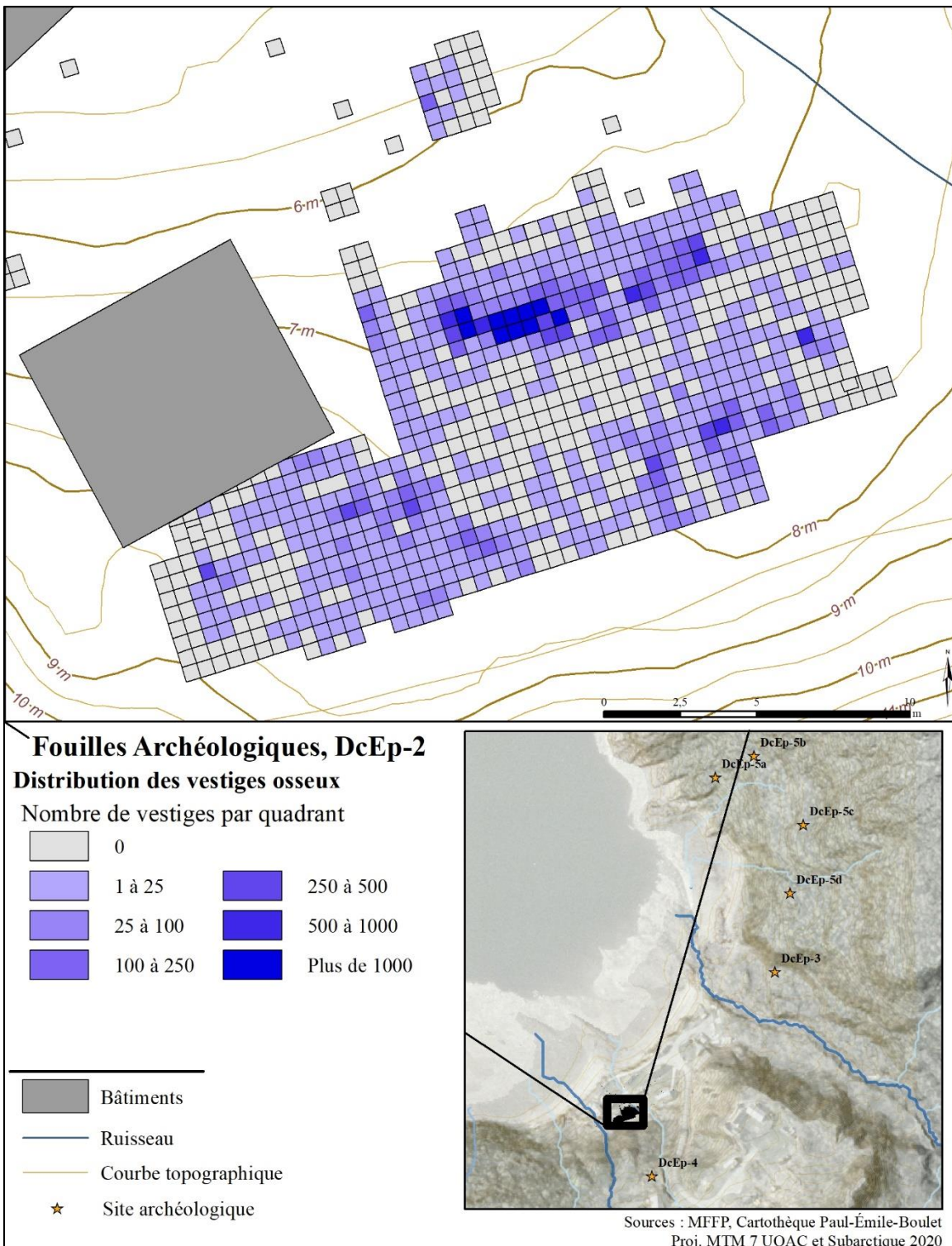


Figure 79: Site DcEp-2, distribution des vestiges osseux, années 1996 à 2019 (Plourde, Bouchard, Pilette et Langevin 2020).

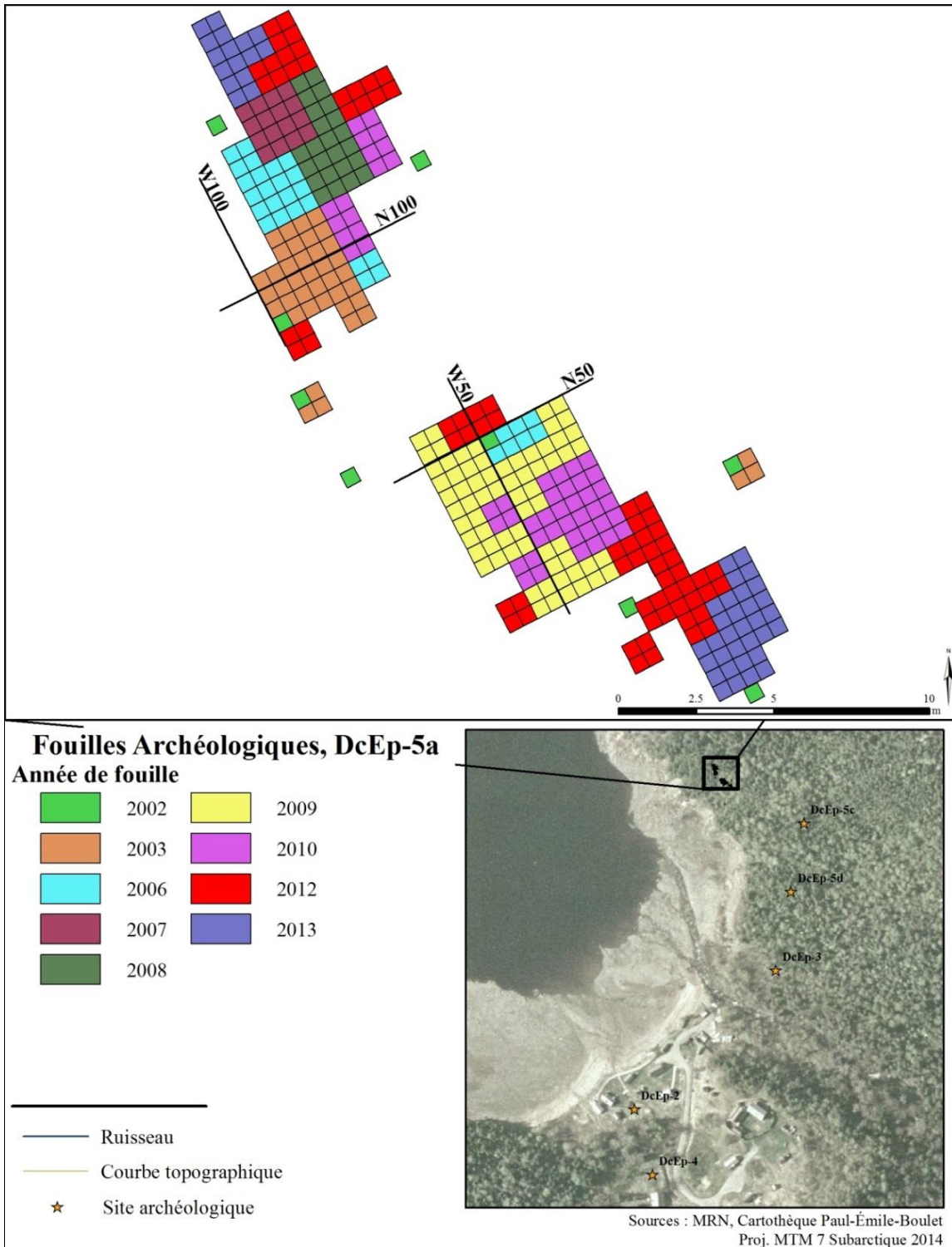


Figure 80: Site DcEp-5, station A. Interventions annuelles, années 2002 à 2013 (Gadbois et Langevin 2014).



Figure 81 : Station A, site DcEp-5, ancrage pour poteau.

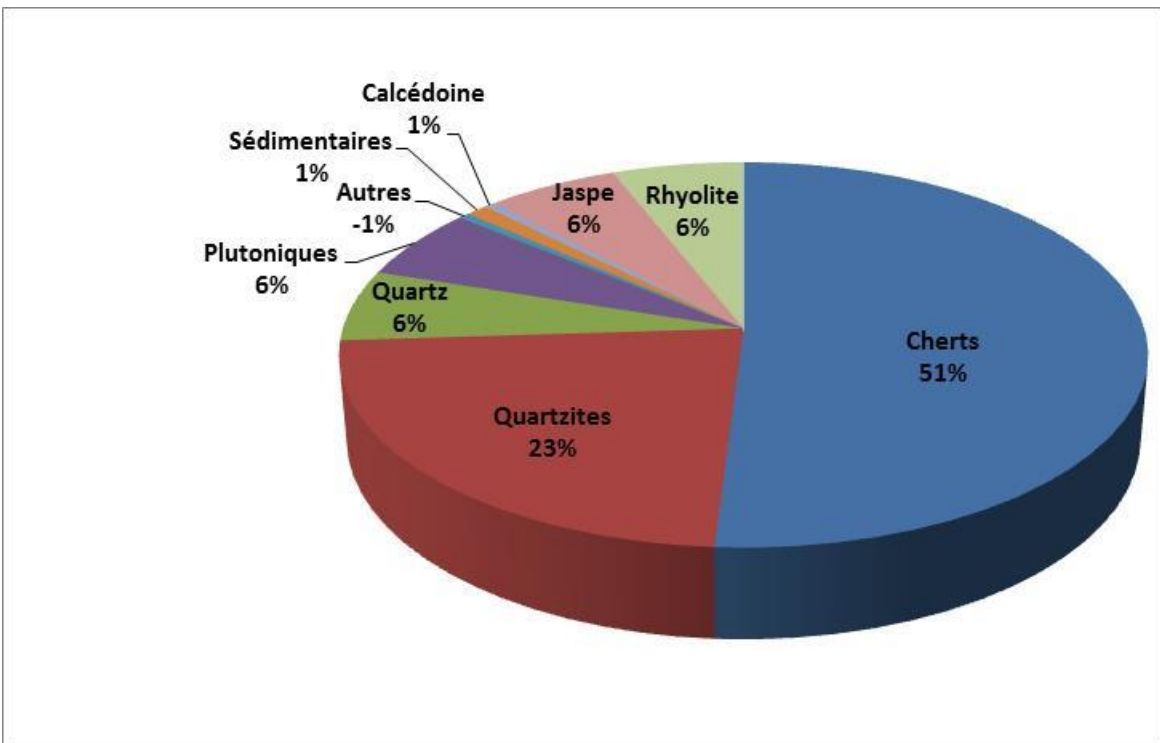


Figure 82: Site DcEp-5, station A. Ventilation des matières premières lithiques, années 2002 à 2013.

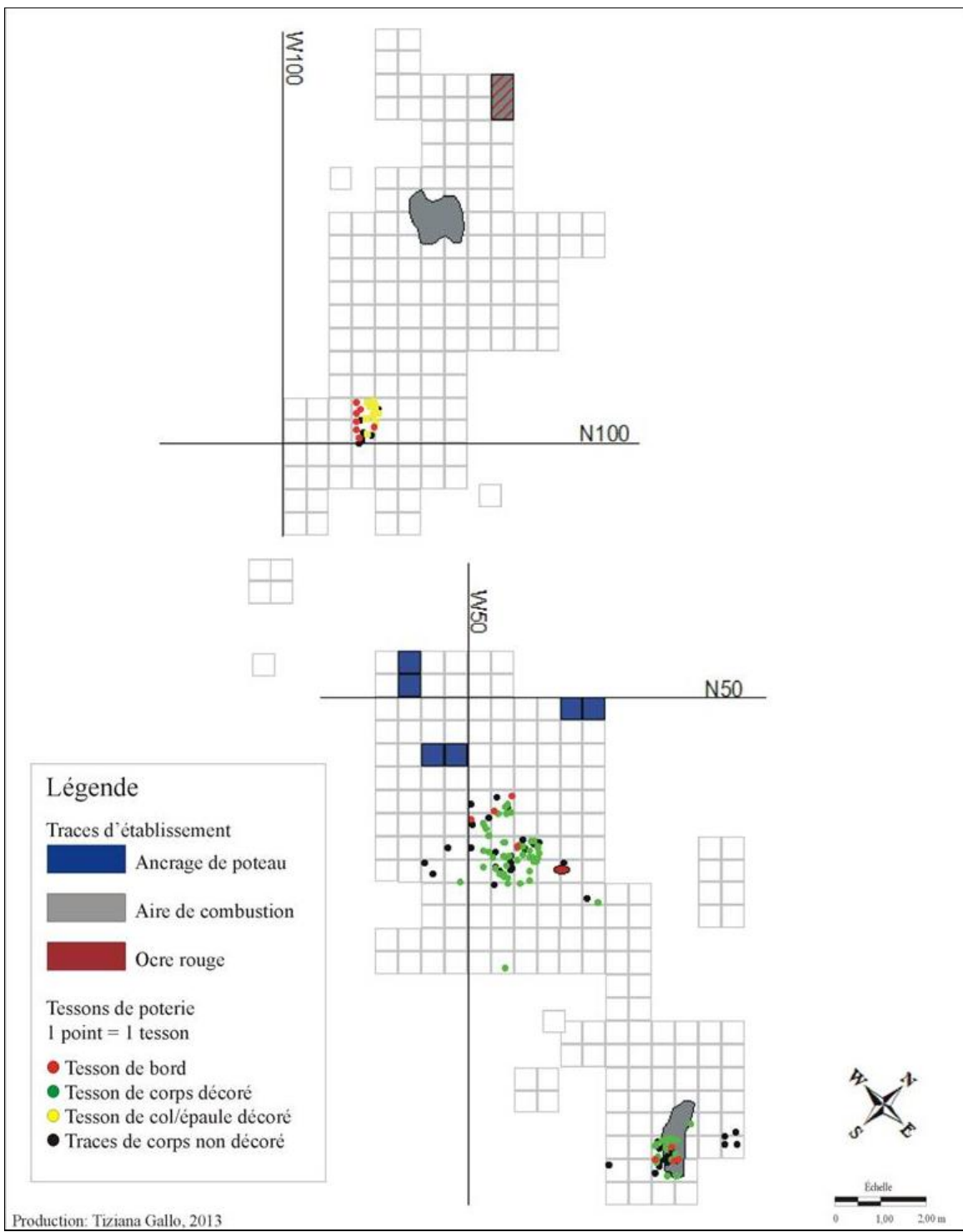


Figure 83: Site DcEp-5, station A. Distribution horizontale de l'ensemble des témoins céramiques (Gallo 2013).

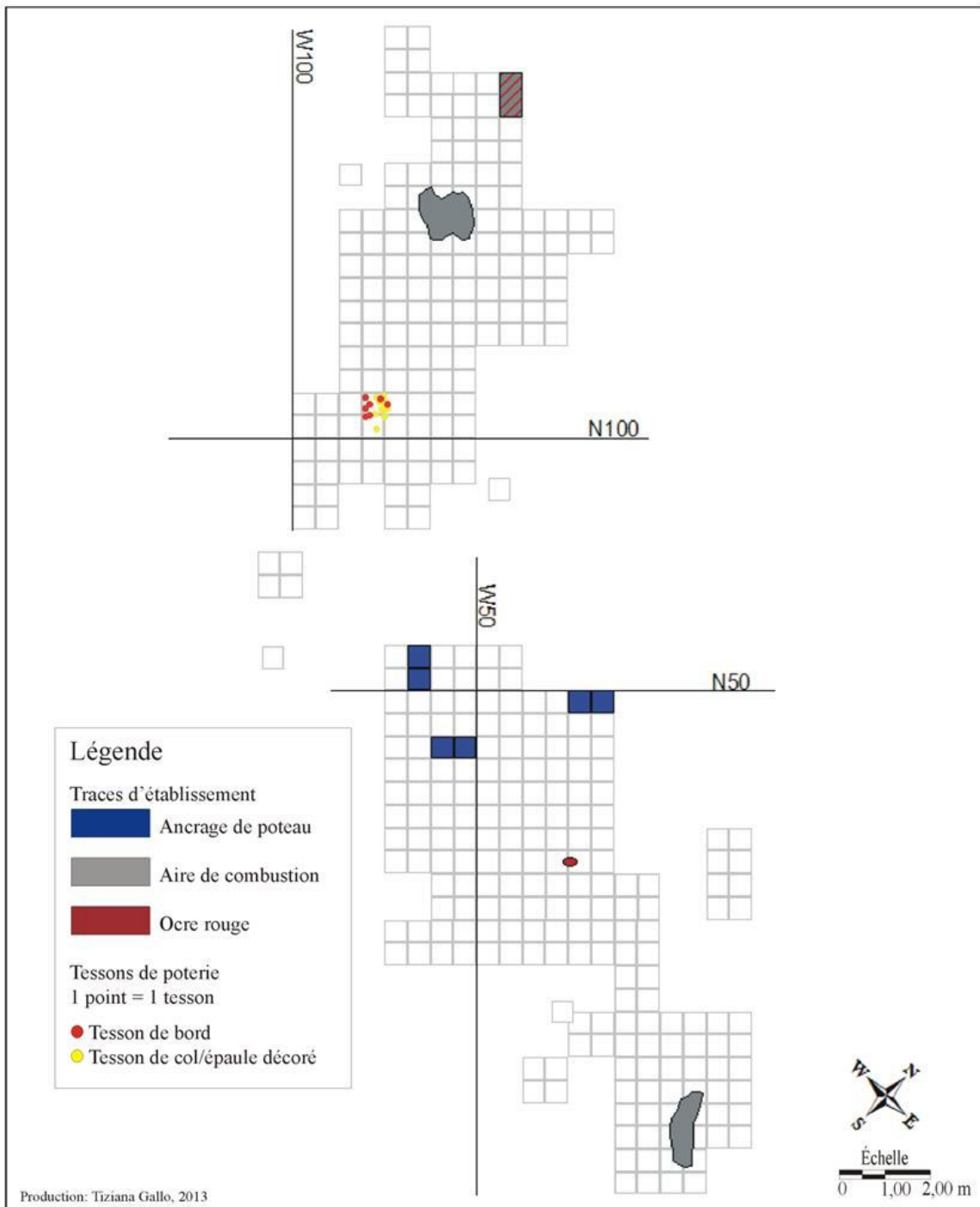


Figure 84: Site DcEp-5, station A. Distribution horizontale des tessons attribués au Sylvicole supérieur médian (Gallo 2013).

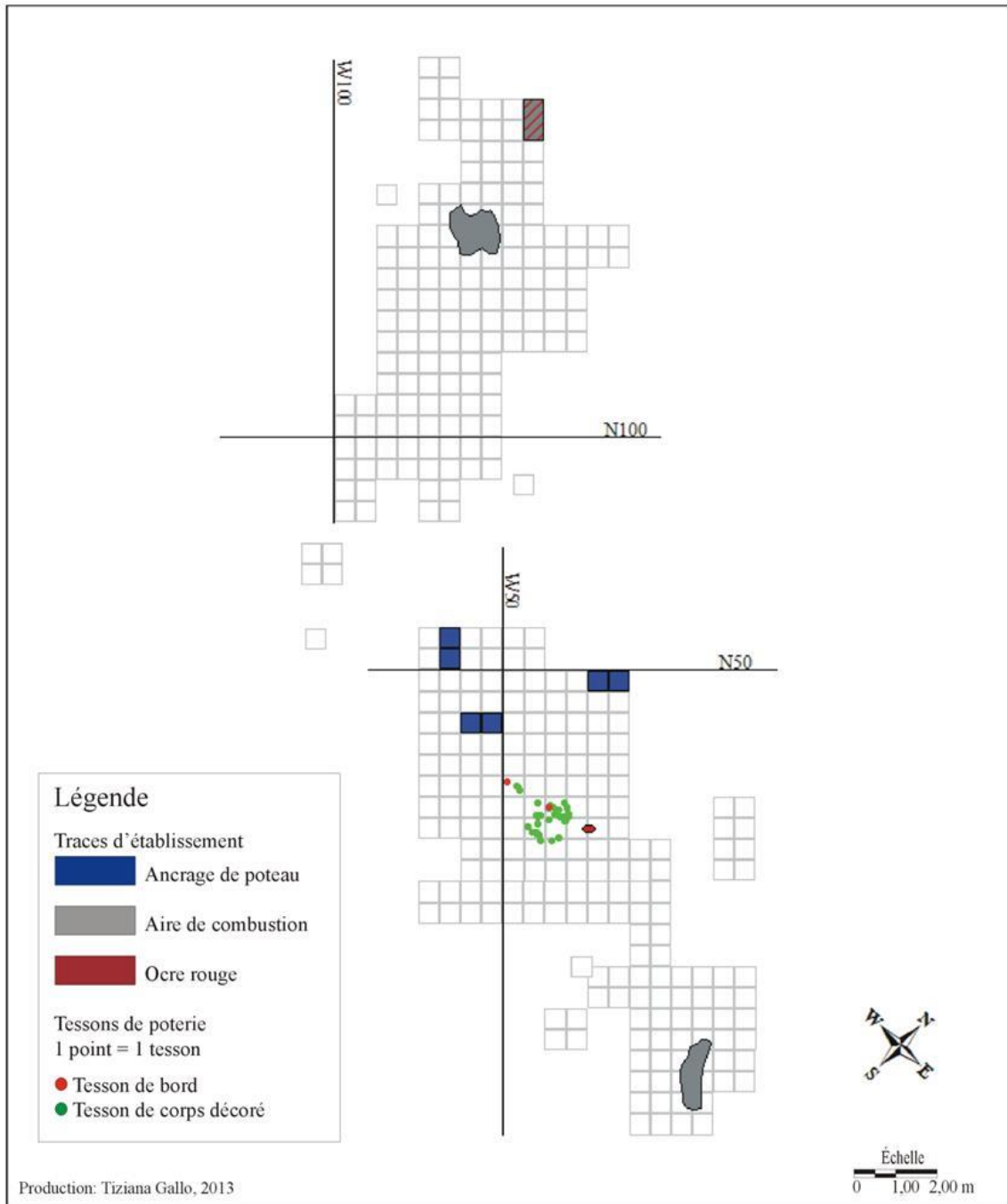


Figure 85: Site DcEp-5, station A. Distribution horizontale des tessons attribués au Sylvicole moyen tardif (Gallo 2013).

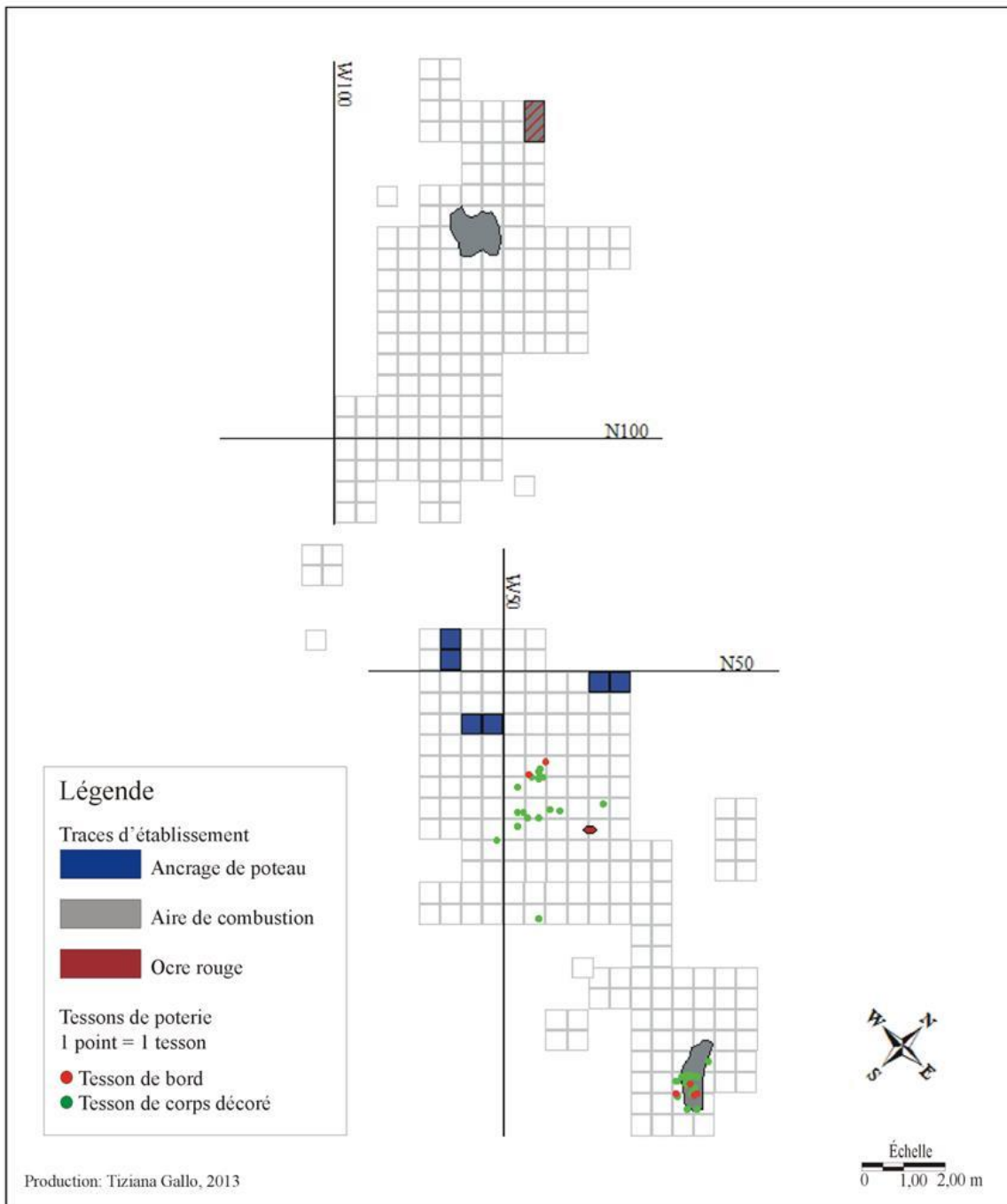


Figure 86: Site DcEp-5, station A. Distribution horizontale des tessons attribués au Sylvicole moyen ancien (Gallo 2013).

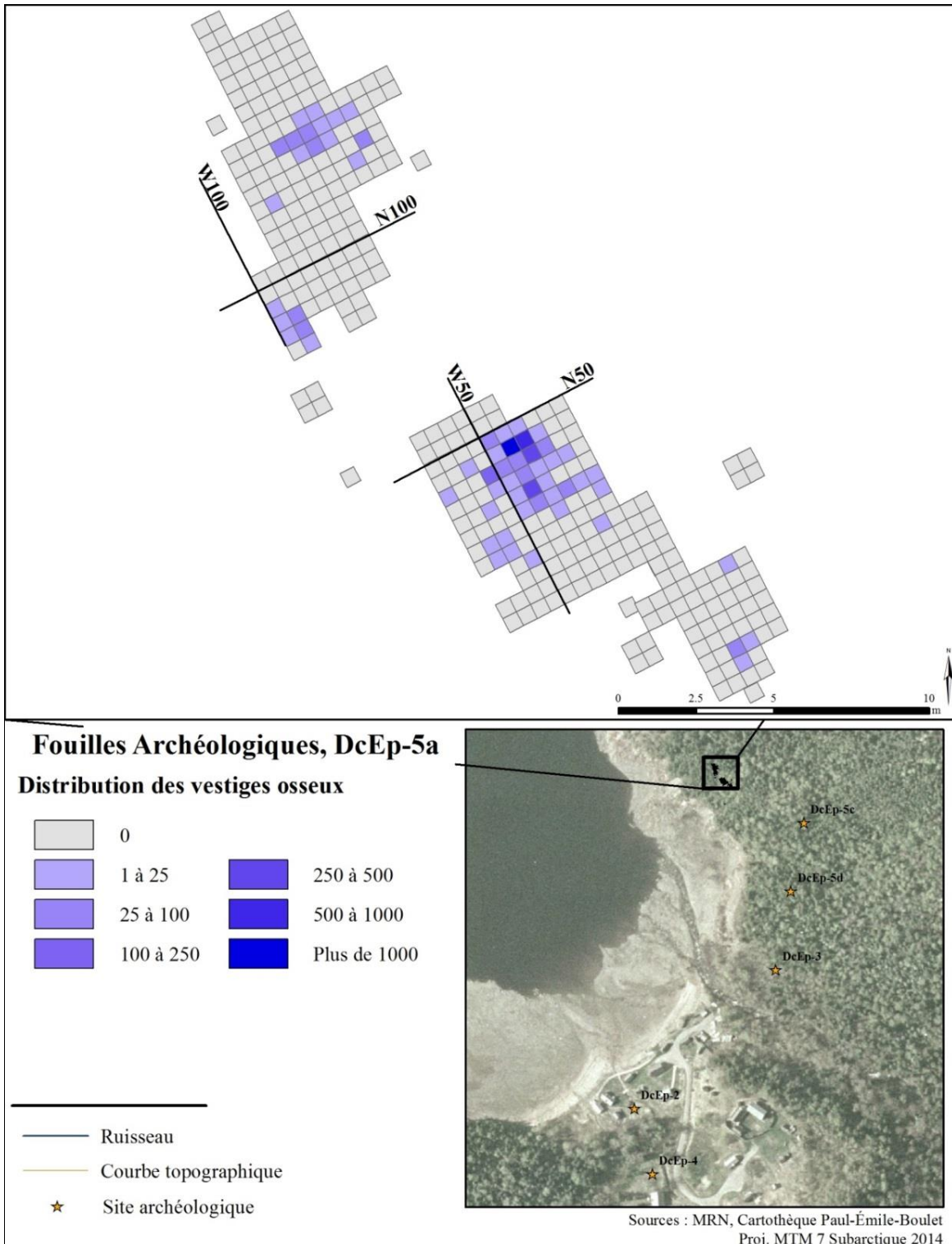


Figure 87: Site DcEp-5, station A. Distribution des vestiges osseux, années 2002 à 2013 (Gadbois et Langevin 2014).

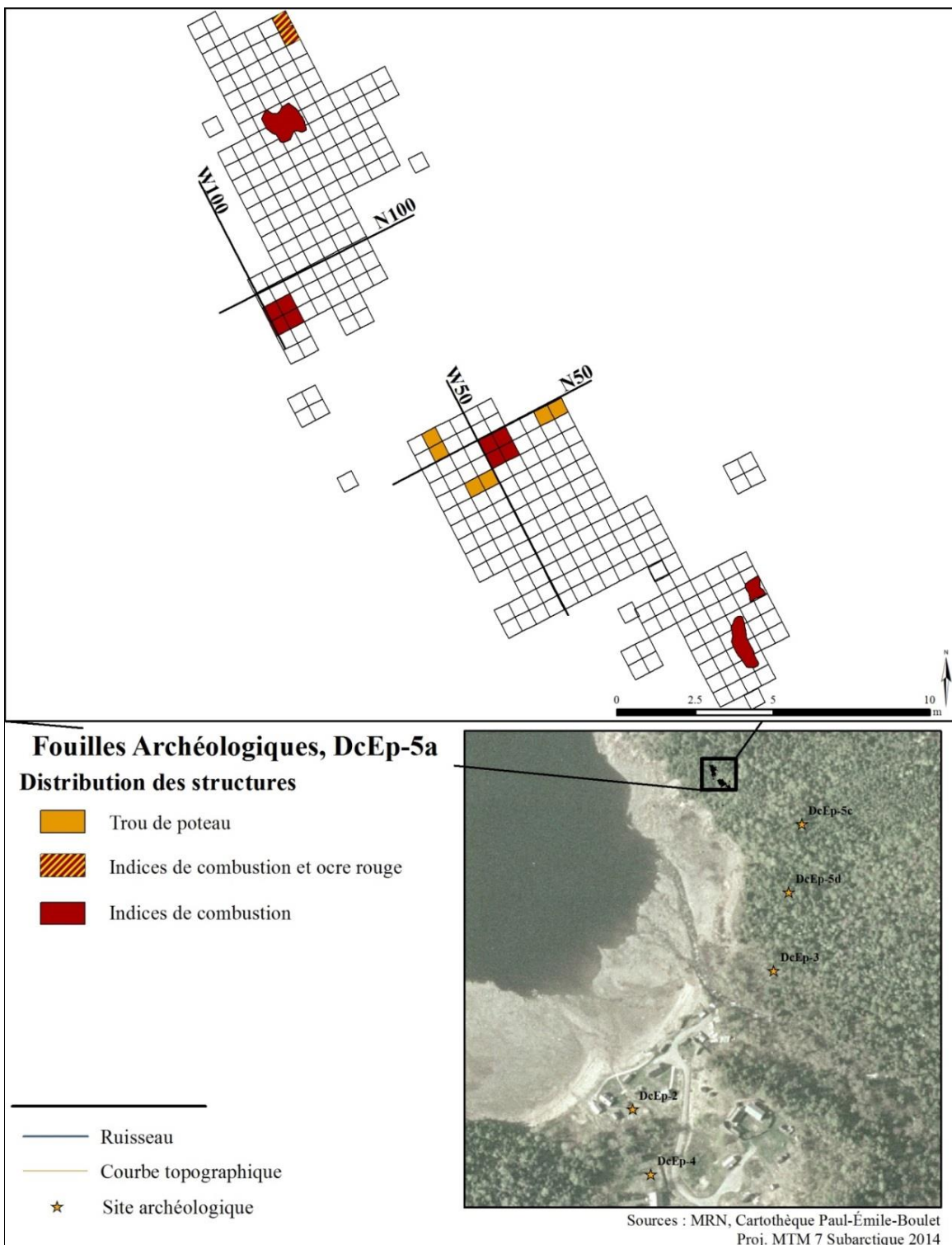


Figure 88: Site DcEp-5, station A, distribution des structures, années 2002 à 2013 (Gadbois et Langevin 2014).

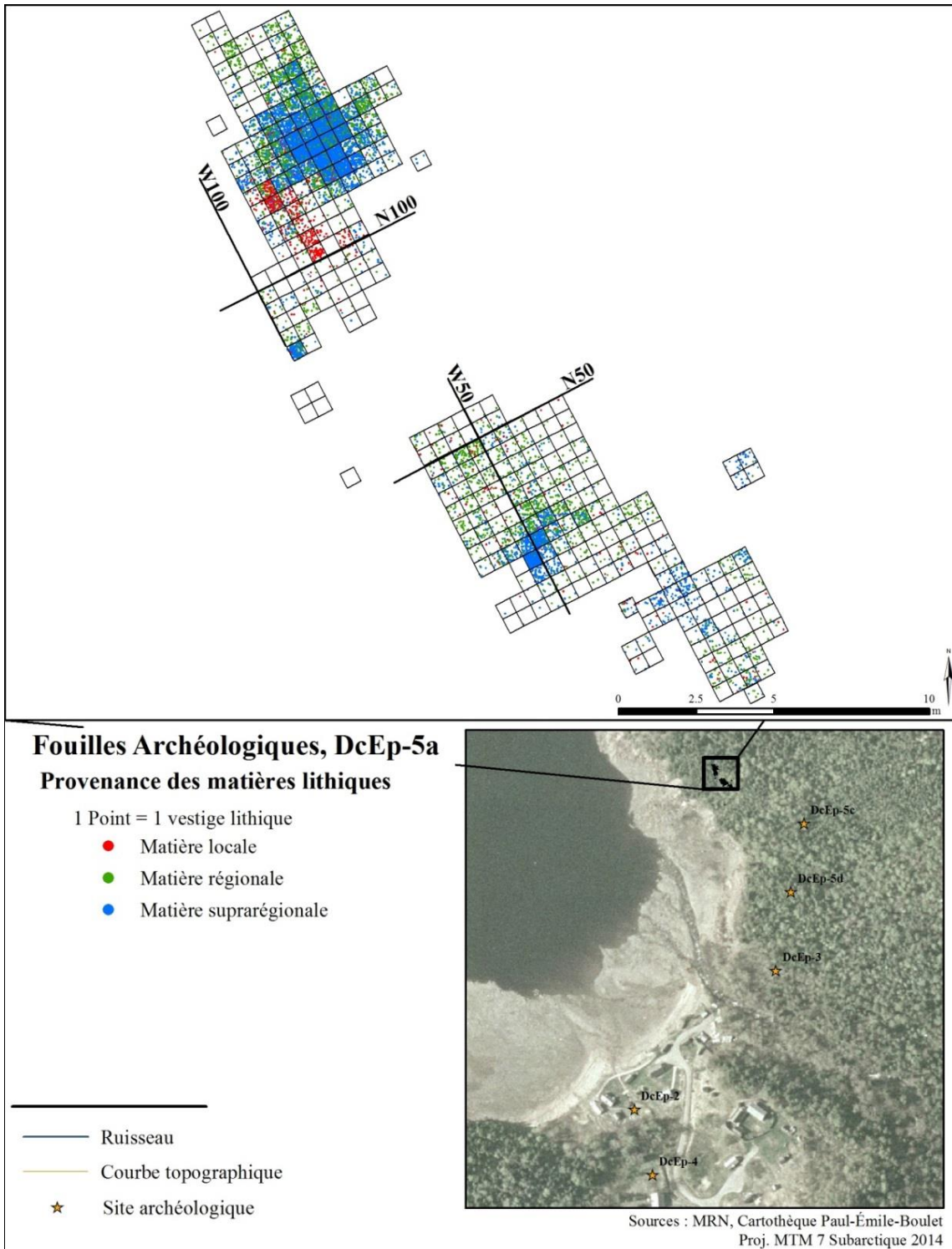


Figure 89: Site DcEp-5, station A, distribution des vestiges lithiques en fonction de leur provenance présumée, années 2002 à 2013 (Gadbois et Langevin 2014).

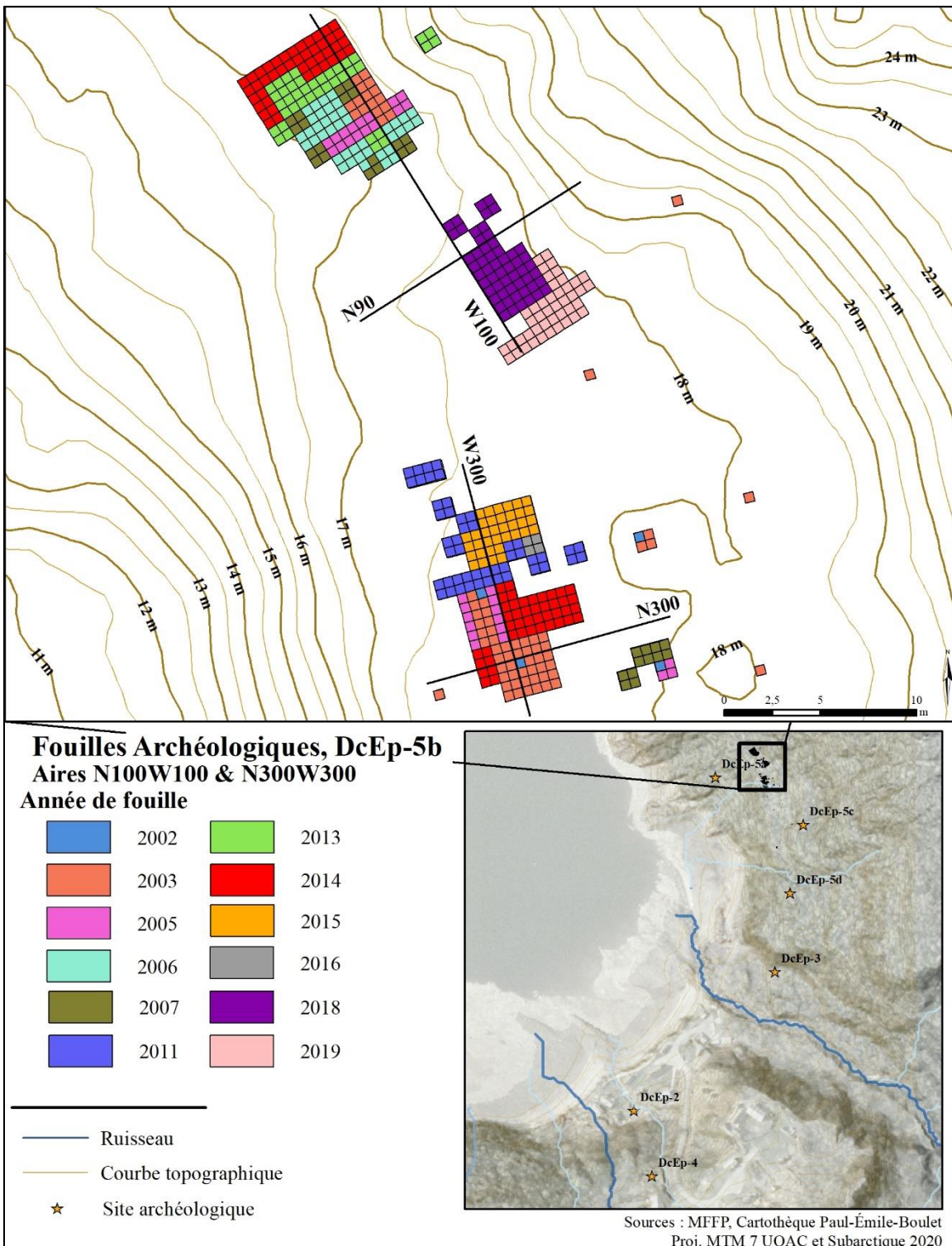


Figure 90: Site DcEp-5, station B, interventions annuelles, années 2002 à 2019 (Plourde, Bouchard, Pilette et Langevin 2020).

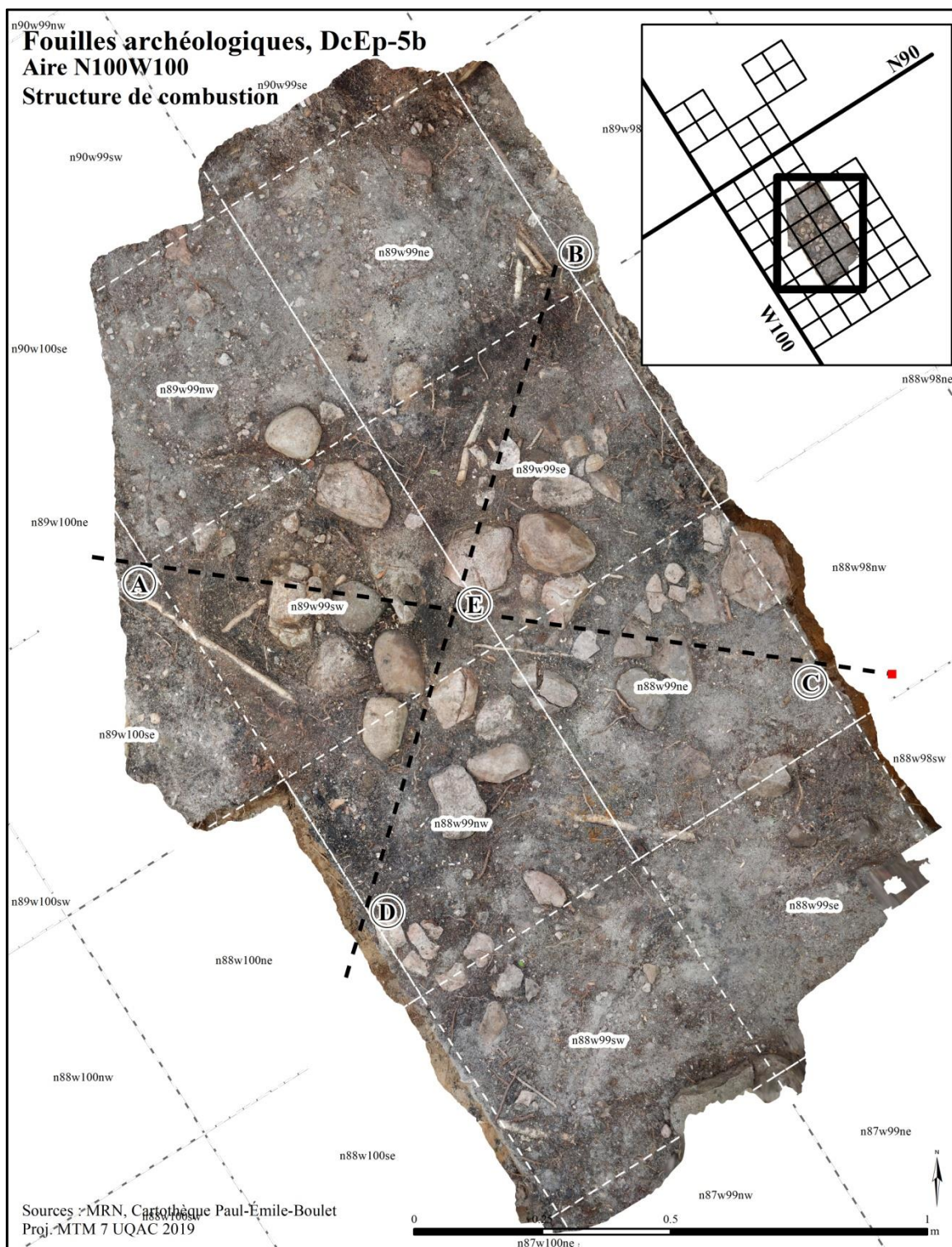


Figure 91: Site DcEp-5, station B, structure de combustion, aire N100W100, années 2018-2019 (Plourde, Bouchard, Pilette et Langevin 2020)

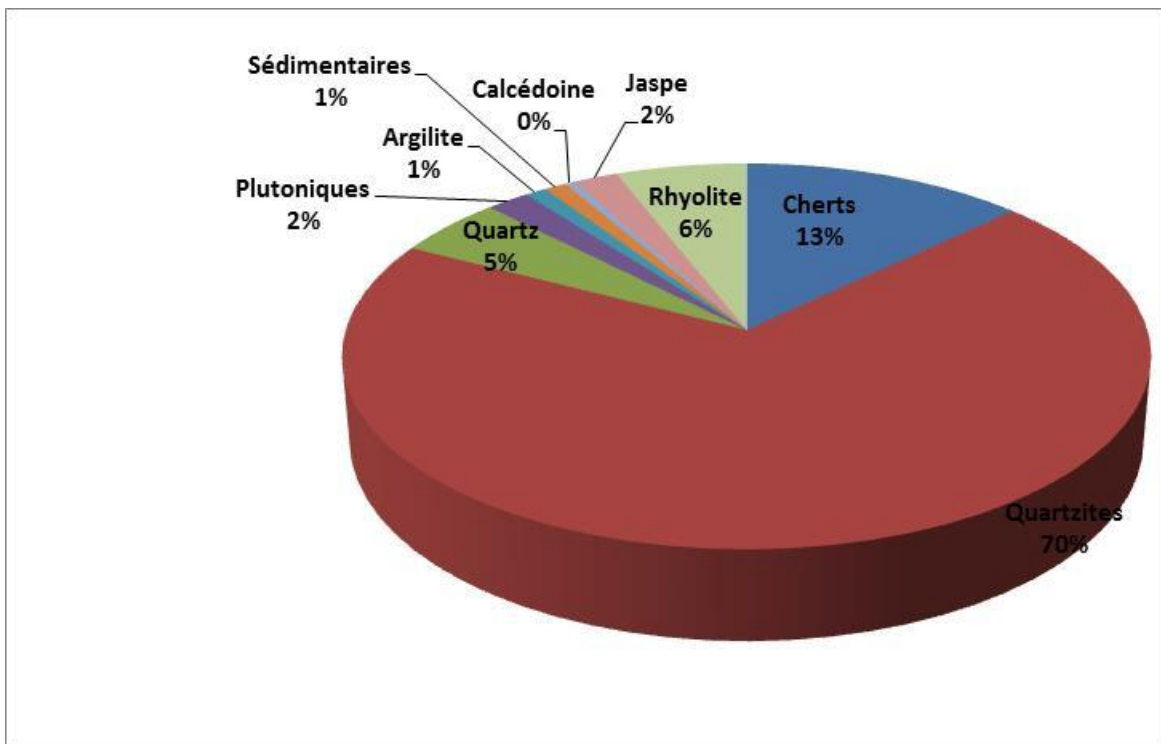


Figure 92: Site DcEp-5, station B, ventilation des matières premières lithiques, années 2002 à 2013.

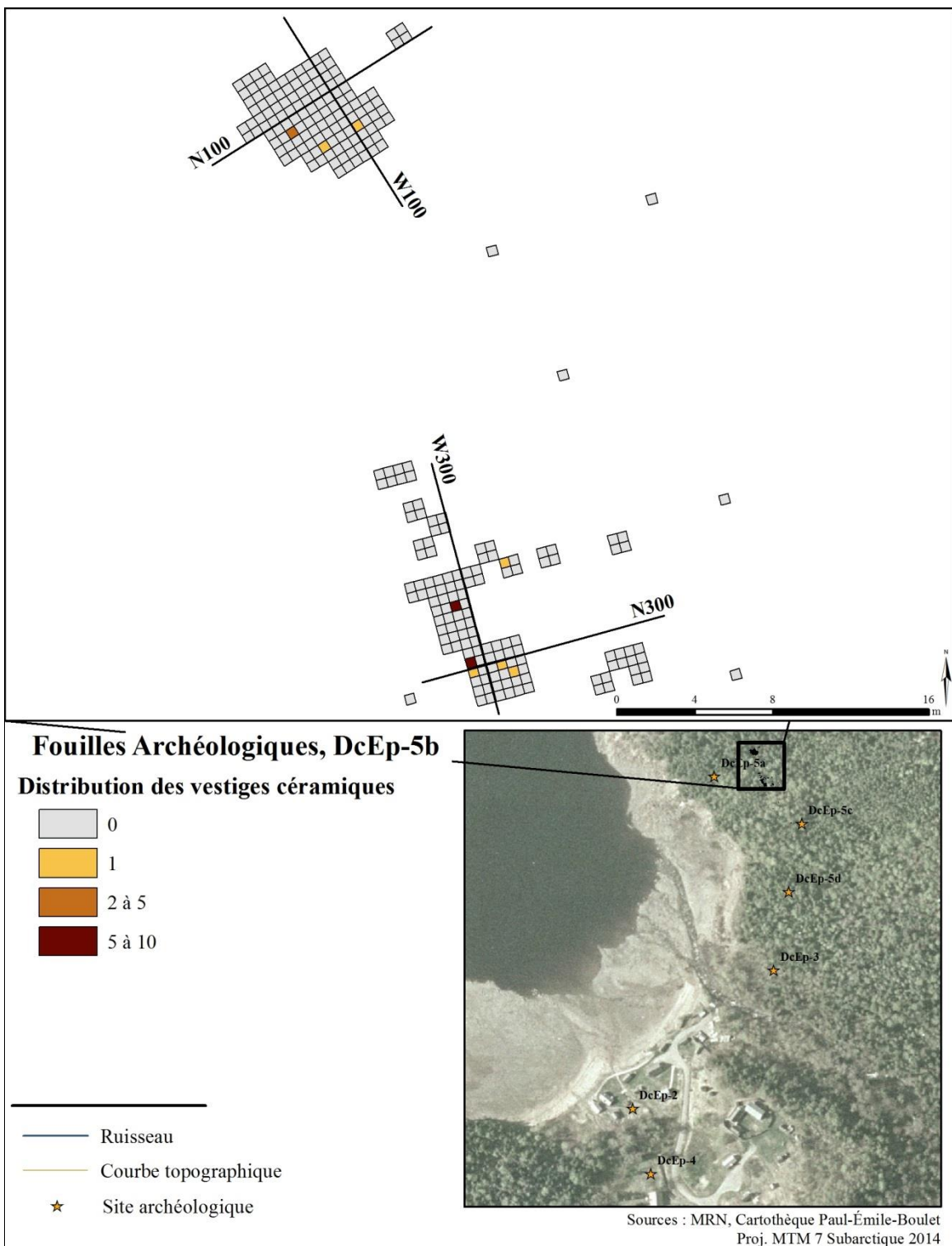


Figure 93: Site DcEp-5, station B, distribution des vestiges céramiques, années 2002 à 2013.

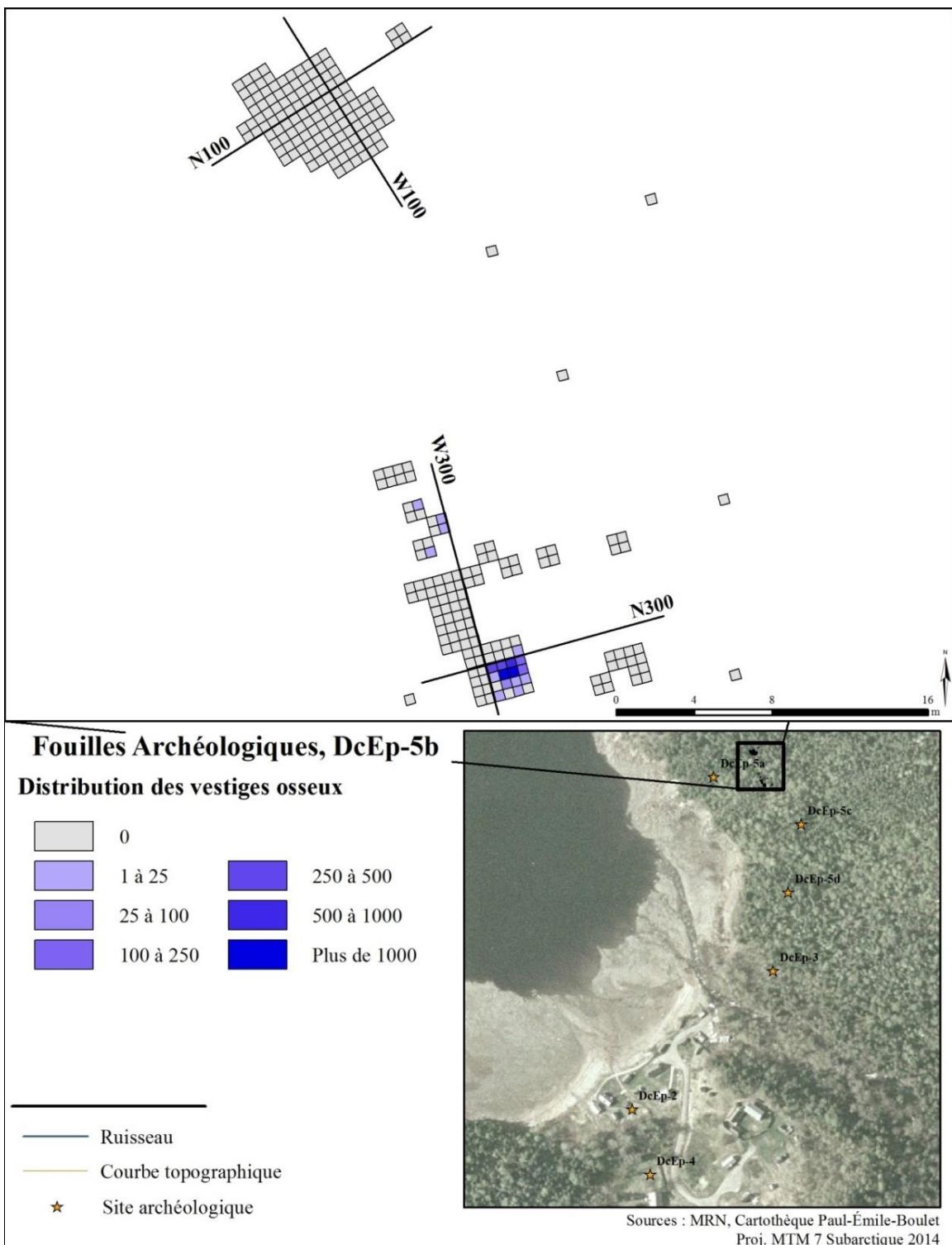


Figure 94: Site DcEp-5, station B, distribution des vestiges osseux, années 2002 à 2013.

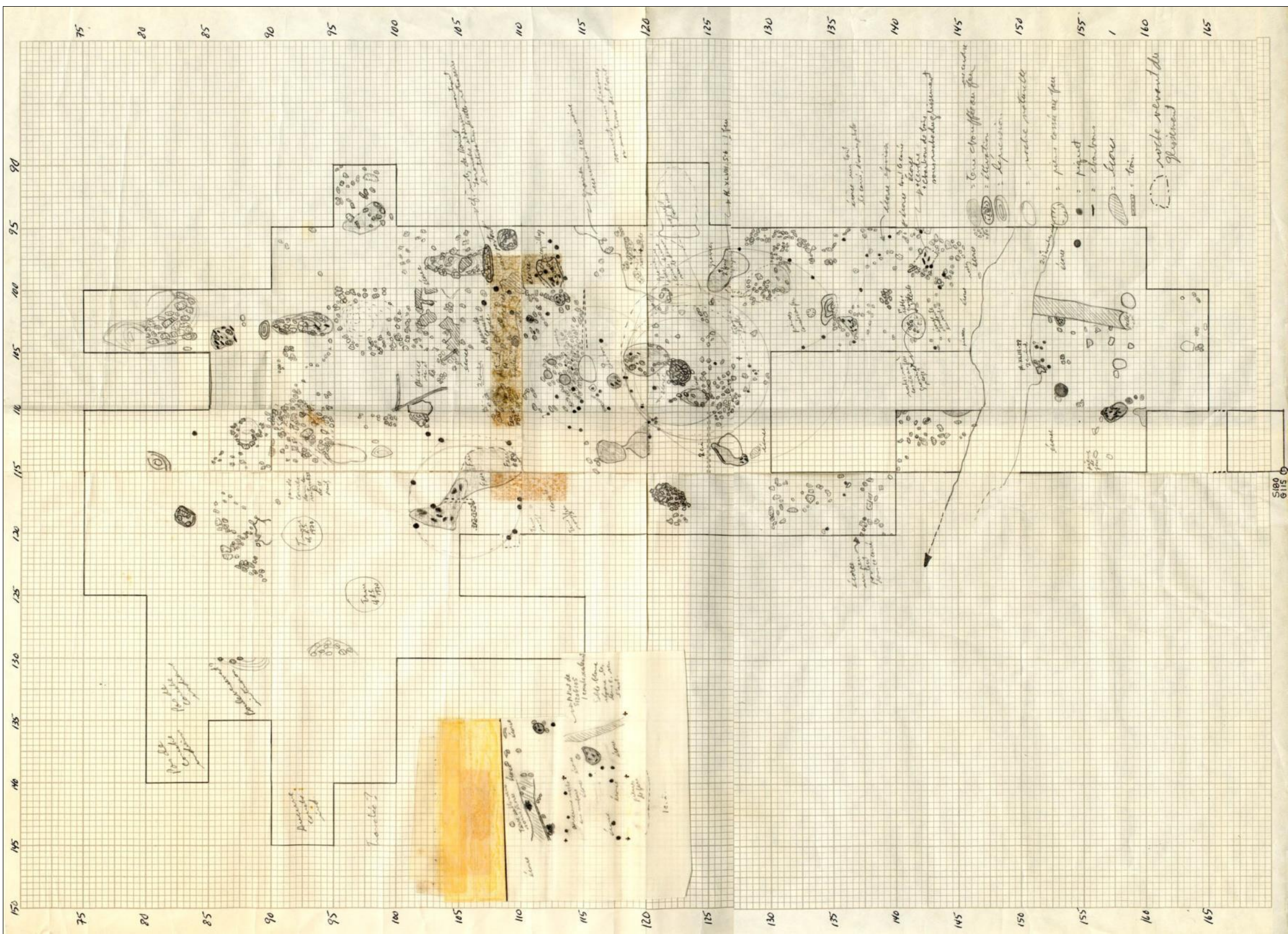


Figure 95 : Plan original des aires de combustion lors de la fouille du site DcEs-1 (1969-1972) (Archives du Laboratoire d'archéologie, UQAC).



Figure 96 : Site DcEs-1, structure de combustion 129, fouilles 1969 à 1972 (Archives du Laboratoire d'archéologie, UQAC).

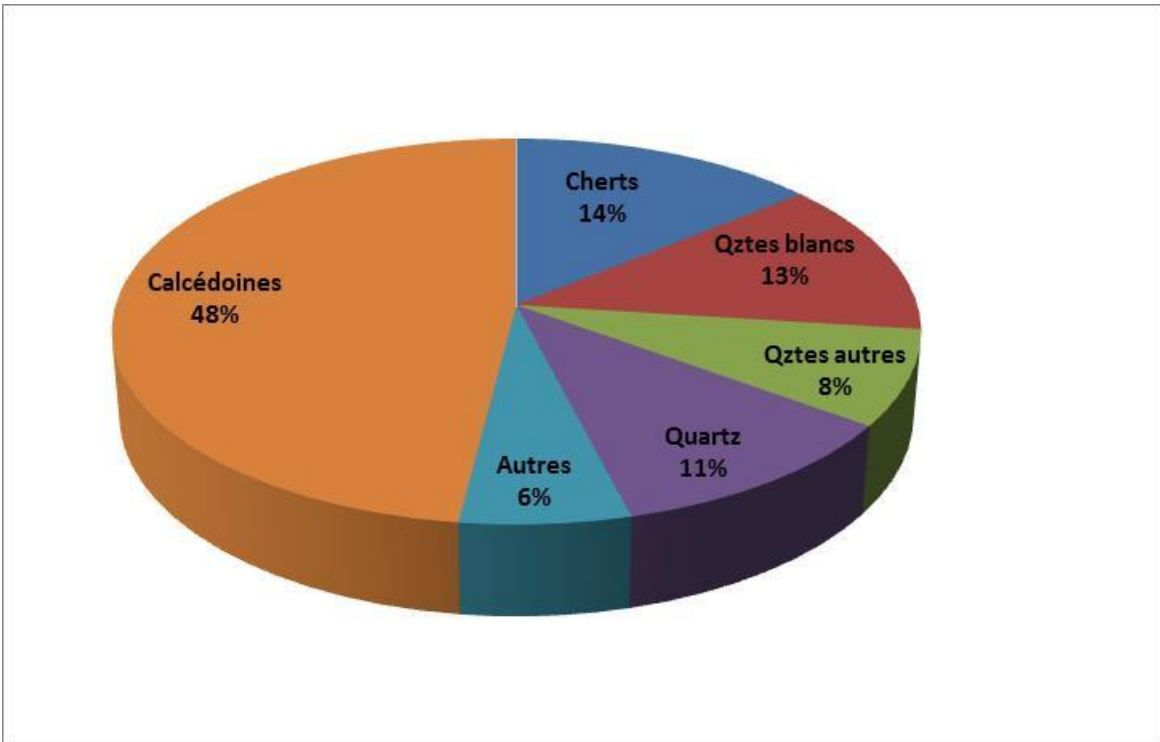


Figure 97 : DcEs-1, ventilation des matières premières lithiques pour les déchets de taille.

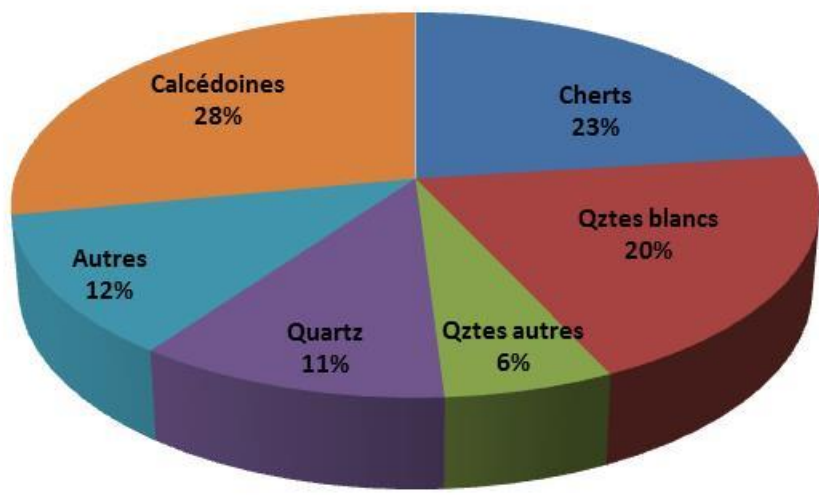


Figure 98 : DcEs-1, ventilation des matières premières lithiques pour les objets transformés.

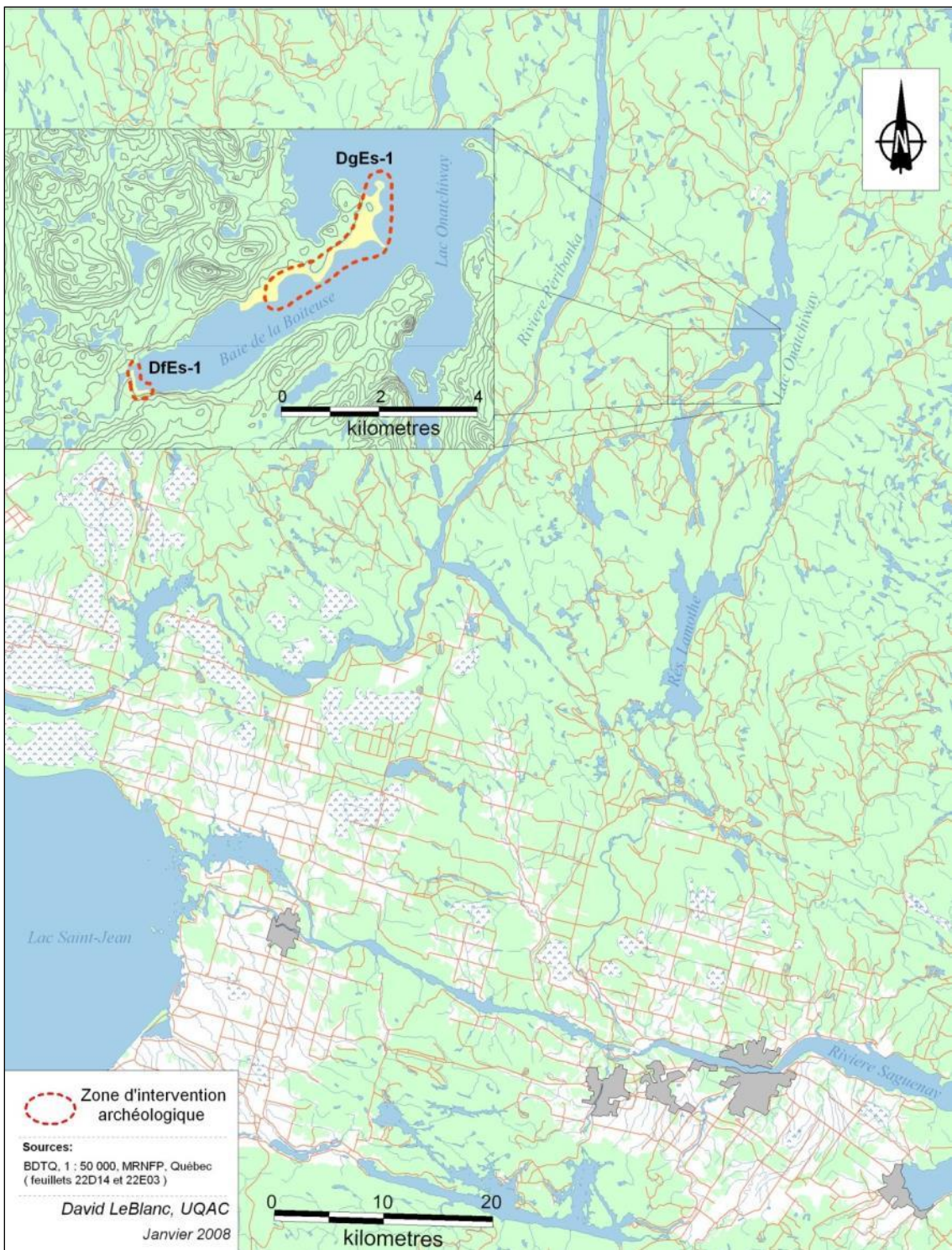


Figure 99 : DgEs-1, localisation du site (Langevin, Lavoie-Painchaud et LeBlanc 2008).

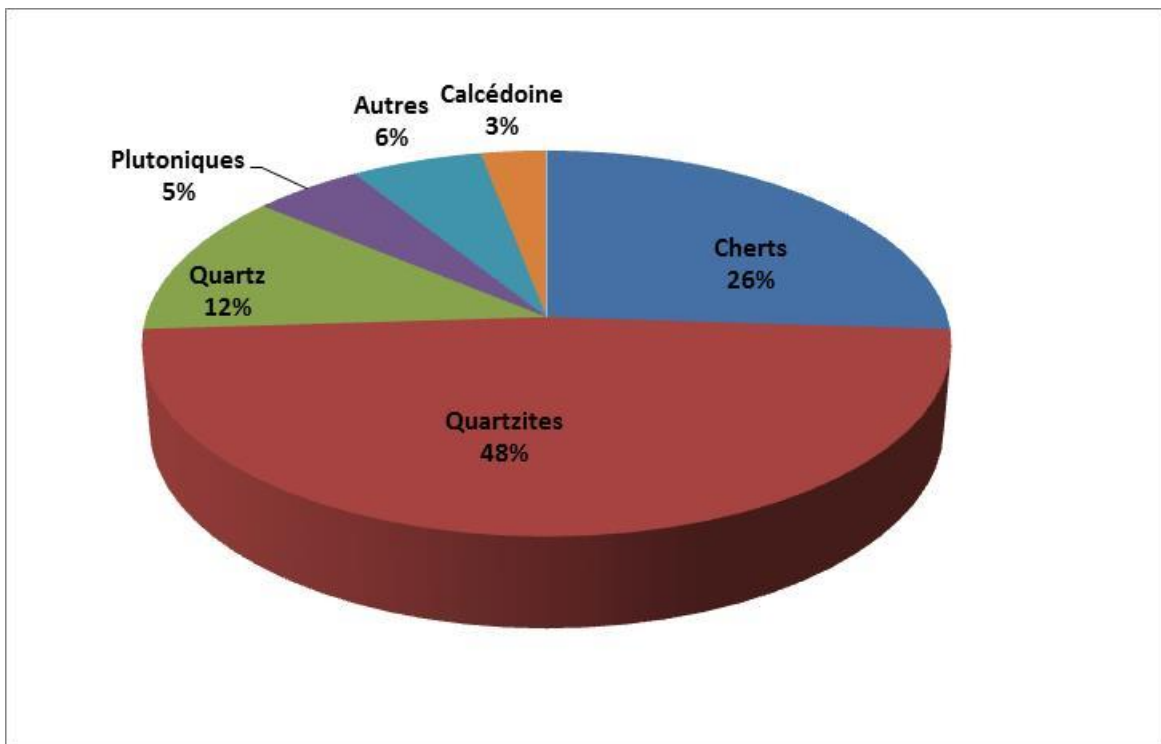


Figure 100 : DgEs-1, ventilation des matières premières lithiques toute typologie confondue.



Figure 101 : Site DgEs-1, aire de combustion.



Figure 102 : Site DgEs-1, galets présumément associés à une activité de sudation.

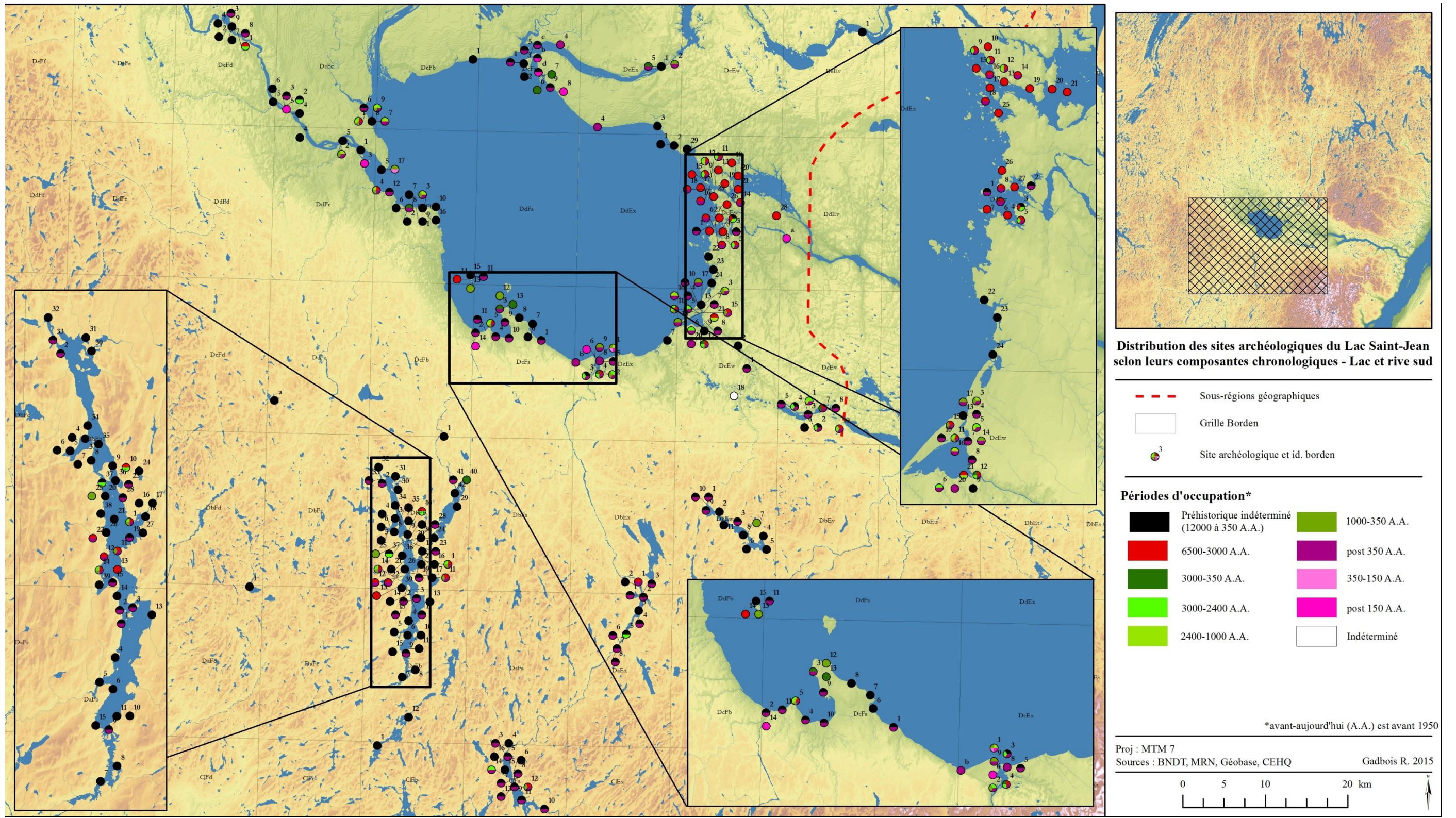
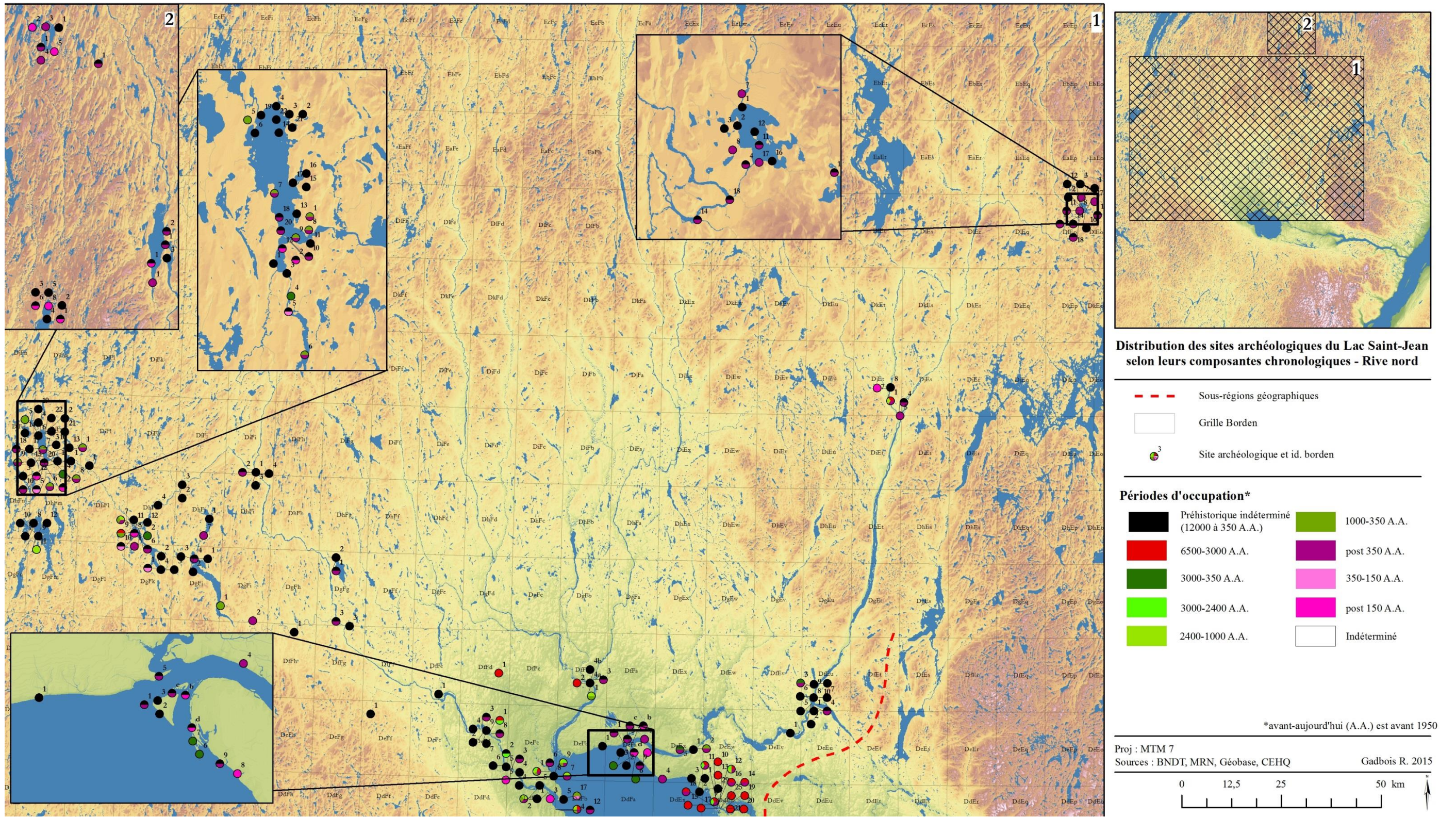


Figure 103 : Distribution des sites archéologiques sur la portion sud des Basses et Hautes-terres du lac Saint-Jean selon leurs composantes chronologiques.



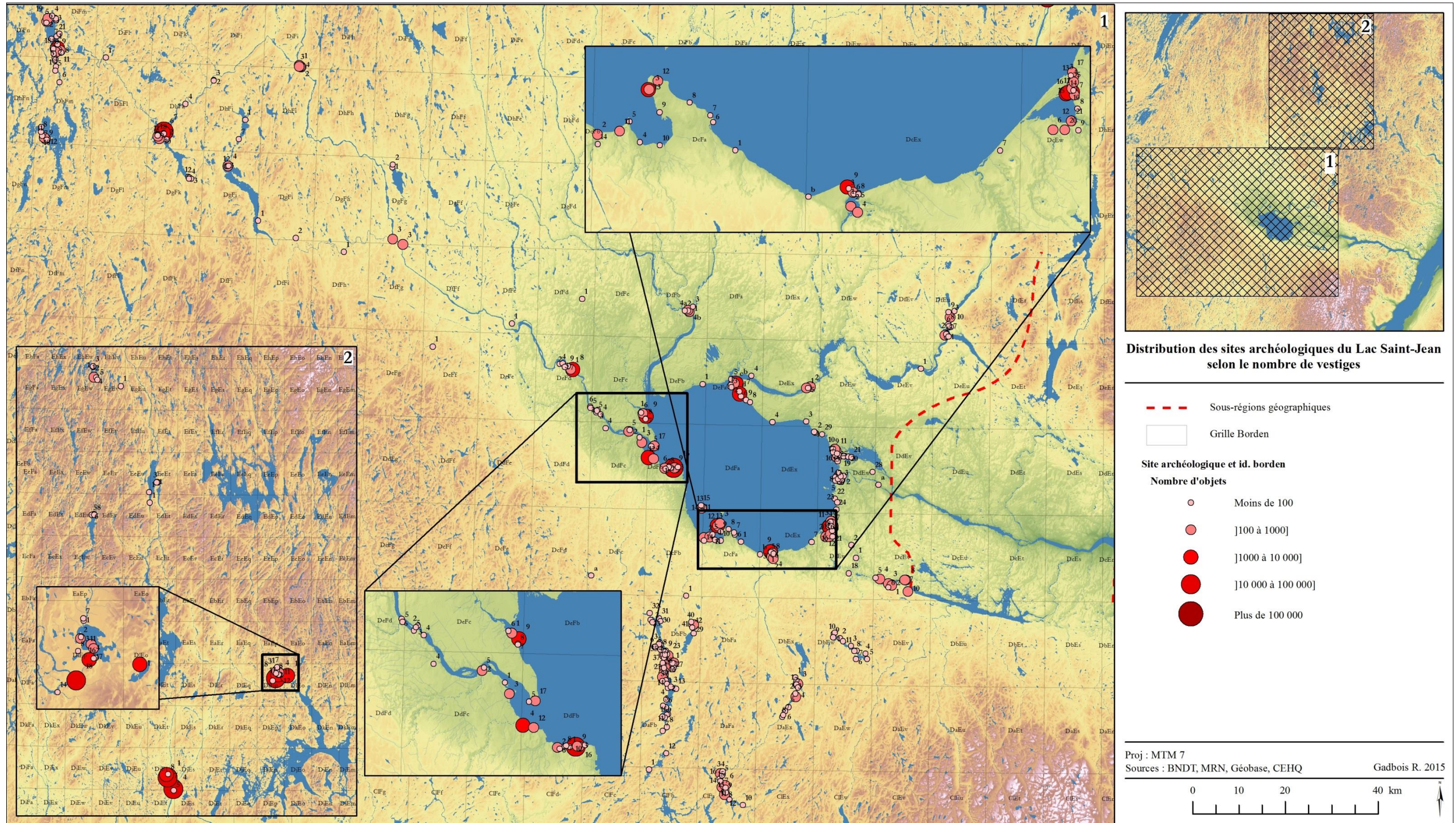


Figure 105 : Distribution spatiale des gisements régionaux selon le nombre de vestiges présents dans les assemblages. Sous-région du lac Saint-Jean.

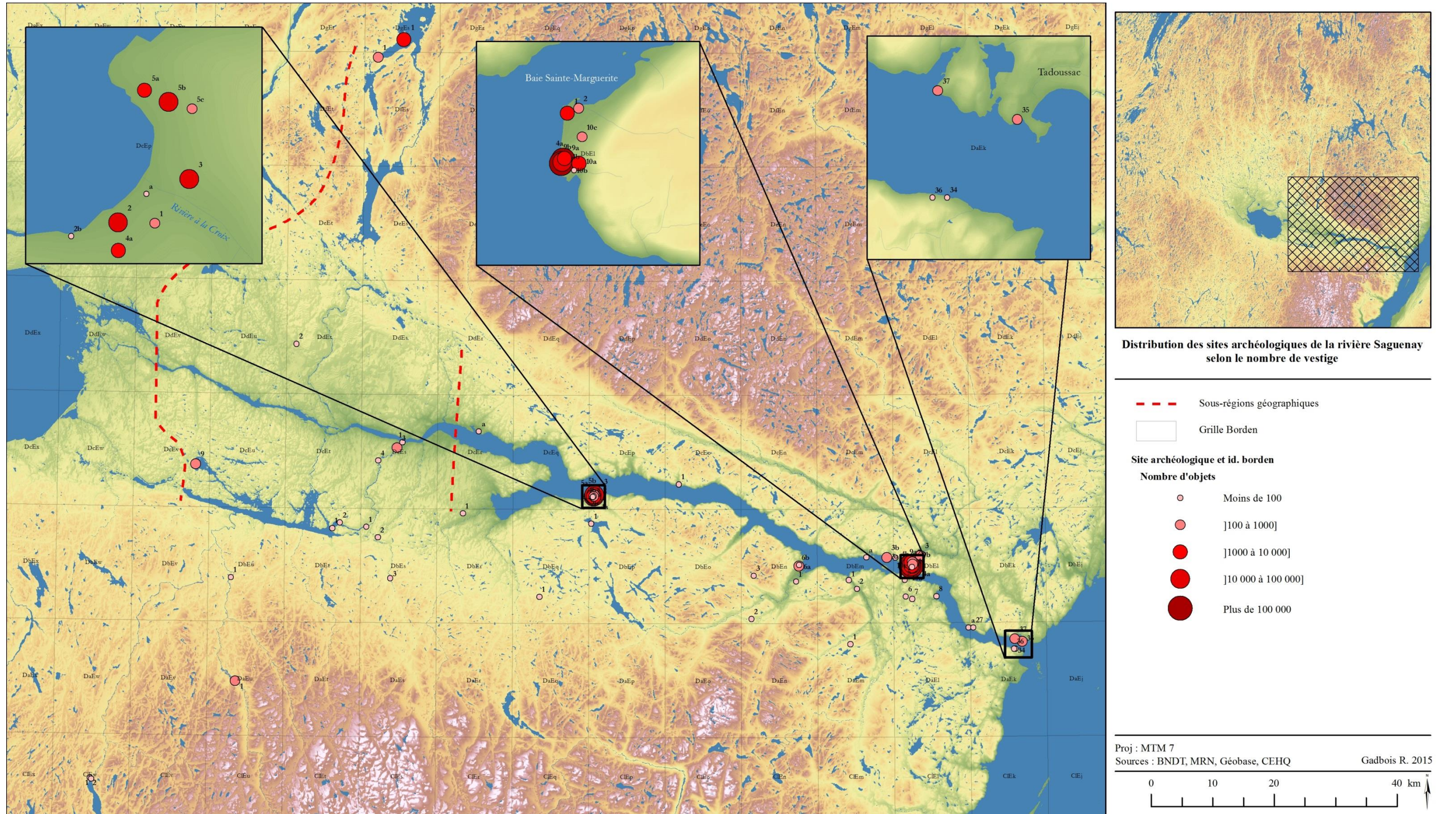


Figure 106: Distribution spatiale des gisements régionaux selon le nombre de vestiges présents dans les assemblages. Sous-régions du Haut et Bas-Saguenay.

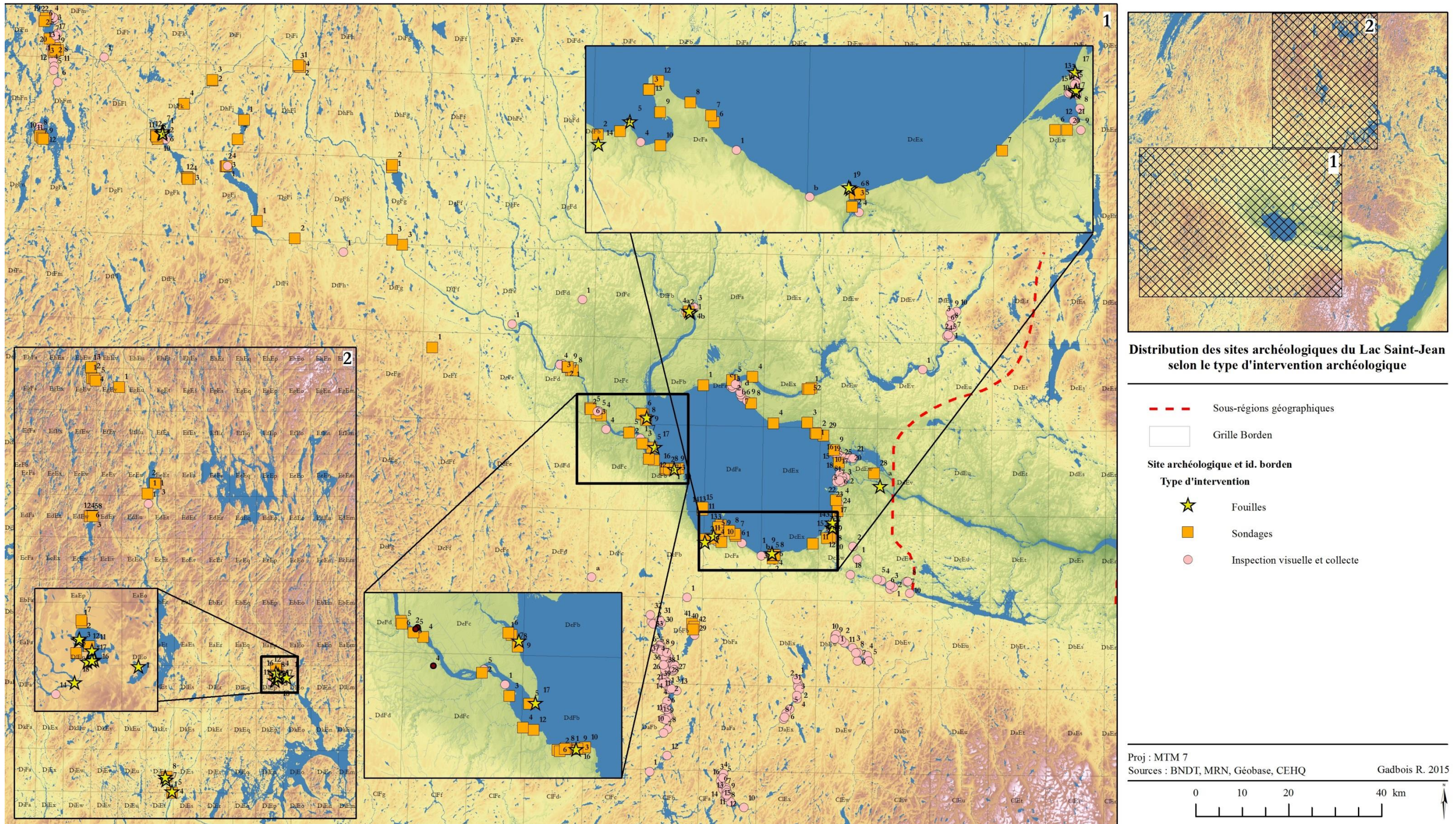


Figure 107: Distribution spatiale des gisements régionaux selon le type d'activité archéologique. Sous-région du lac Saint-Jean.

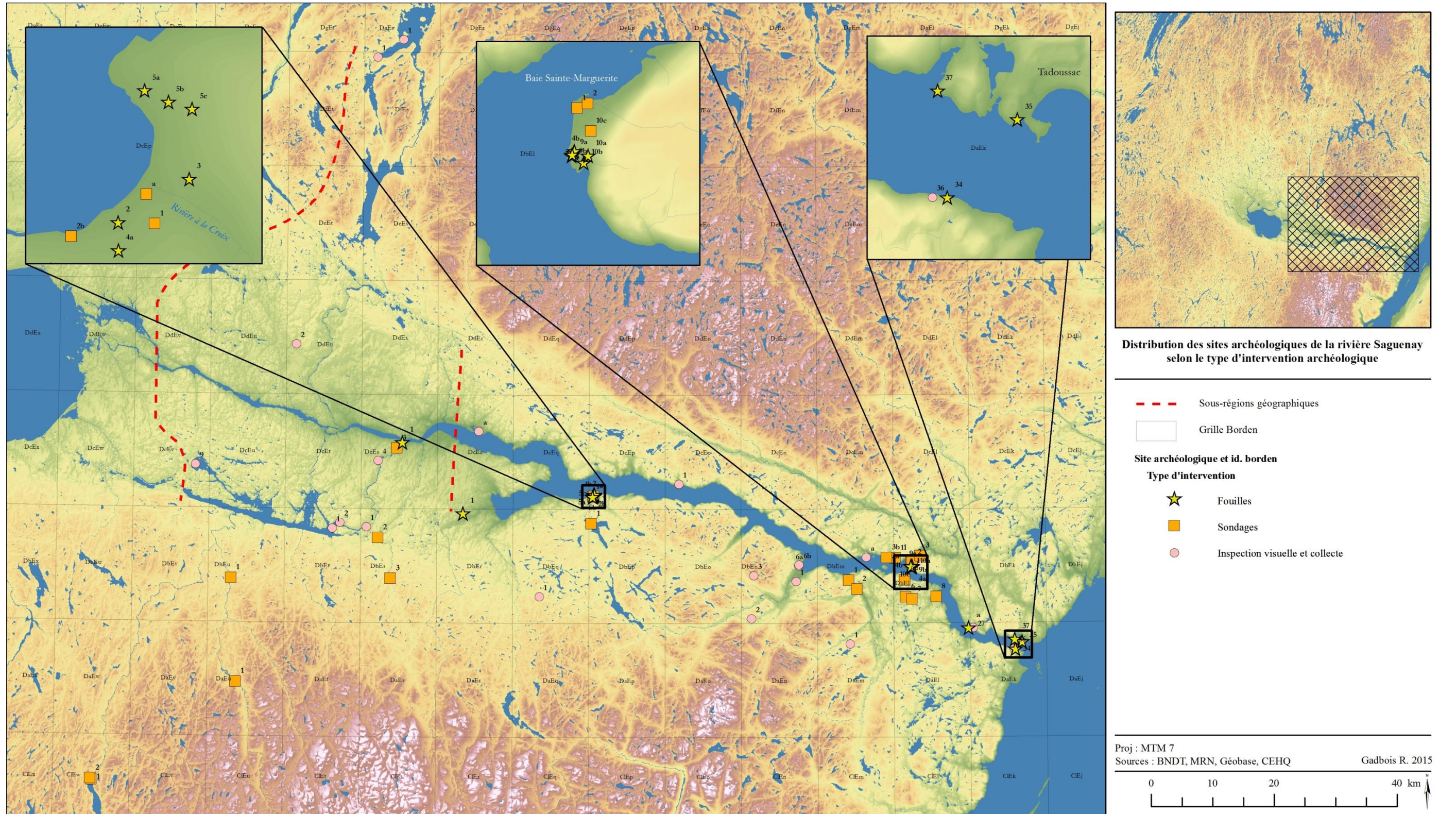


Figure 108: Distribution spatiale des gisements régionaux selon le type d'activité archéologique. Sous-régions du Haut et du Bas-Saguenay.

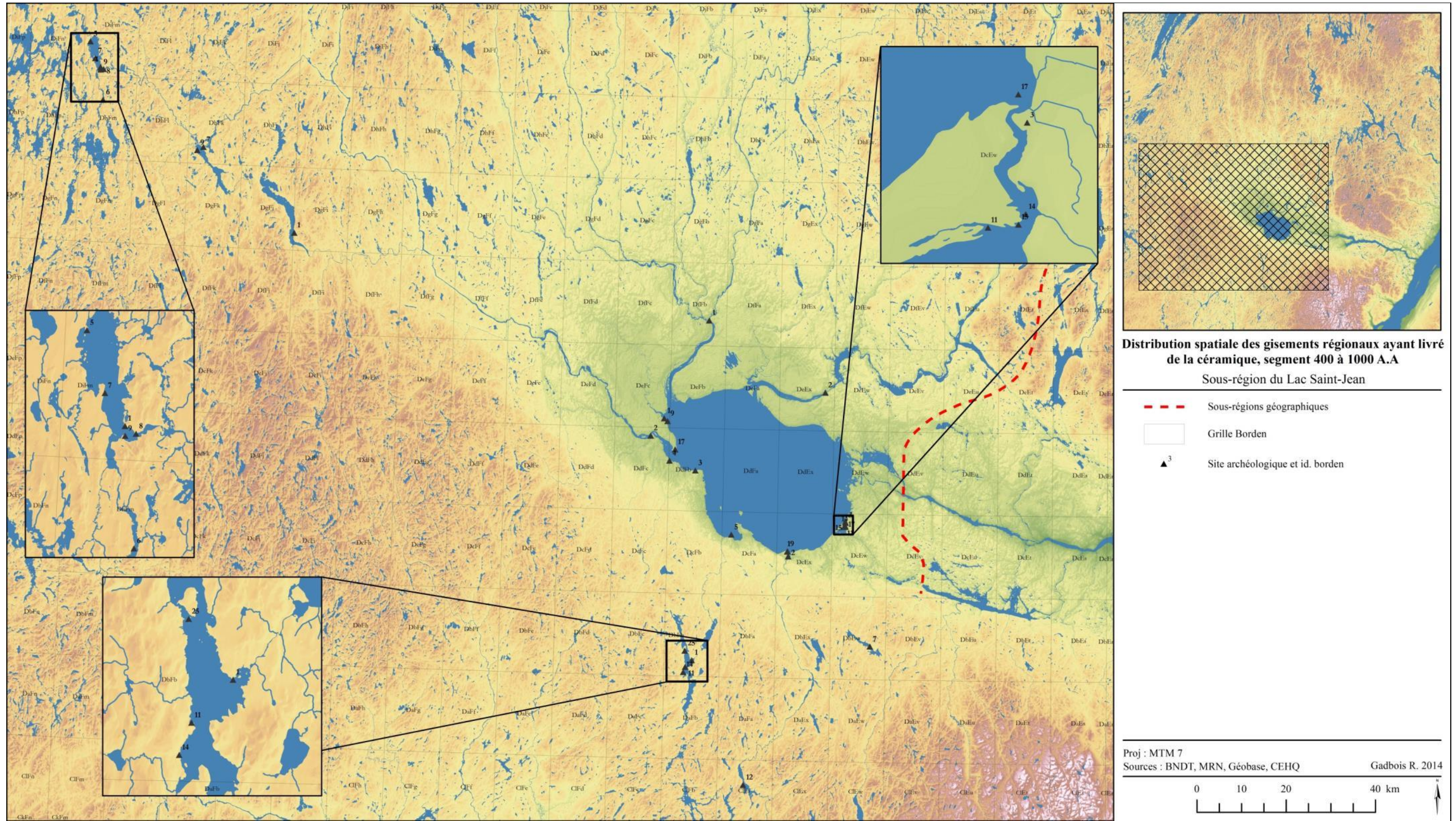


Figure 109: Distribution spatiale des gisements régionaux ayant livré de la céramique du Sylvicole supérieur. Sous-région du lac Saint-Jean.

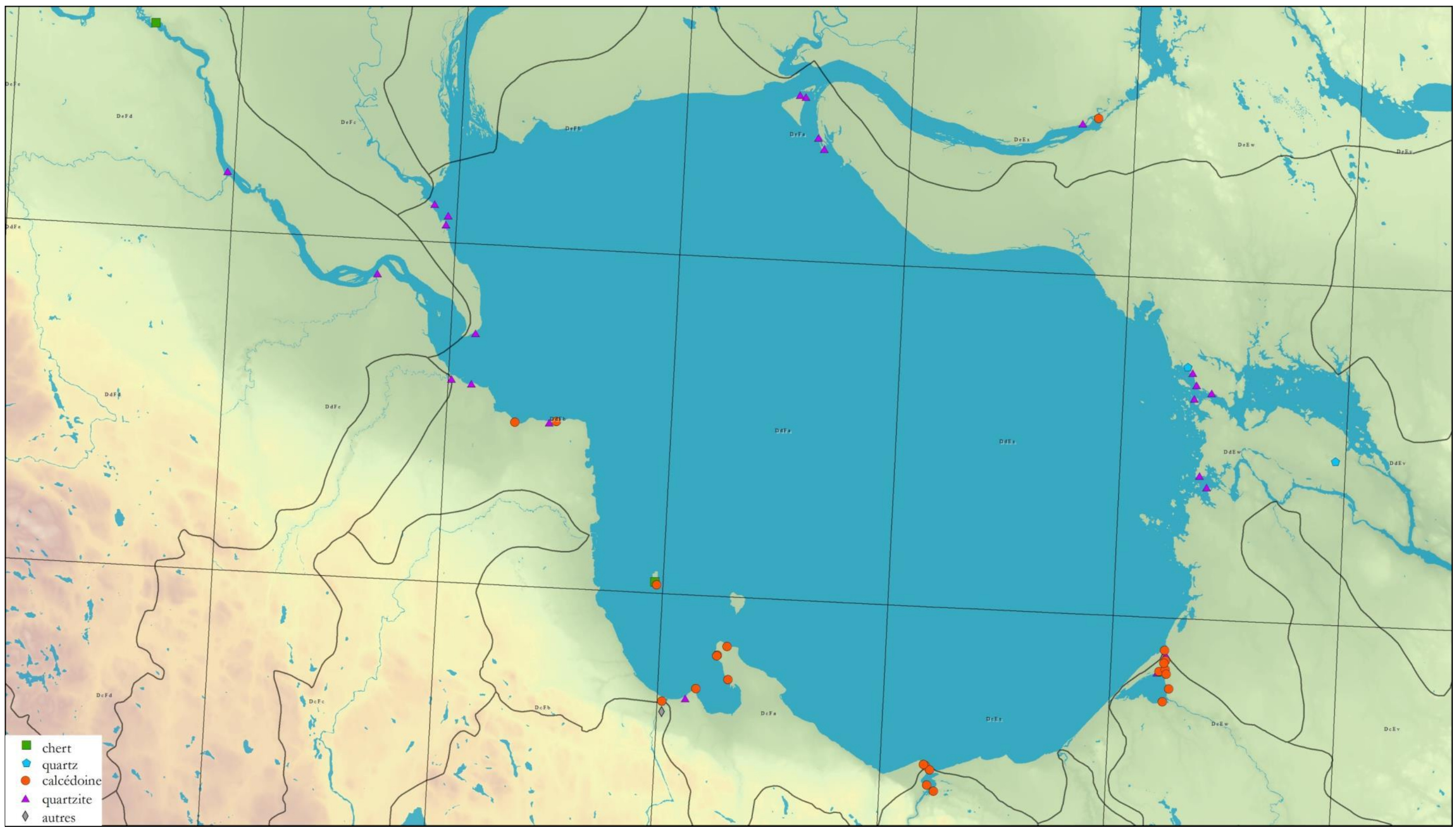


Figure 110 : Distribution par matière première dominante des sites des Basses-terres du lac Saint-Jean contenant plus de 50 objets lithiques.

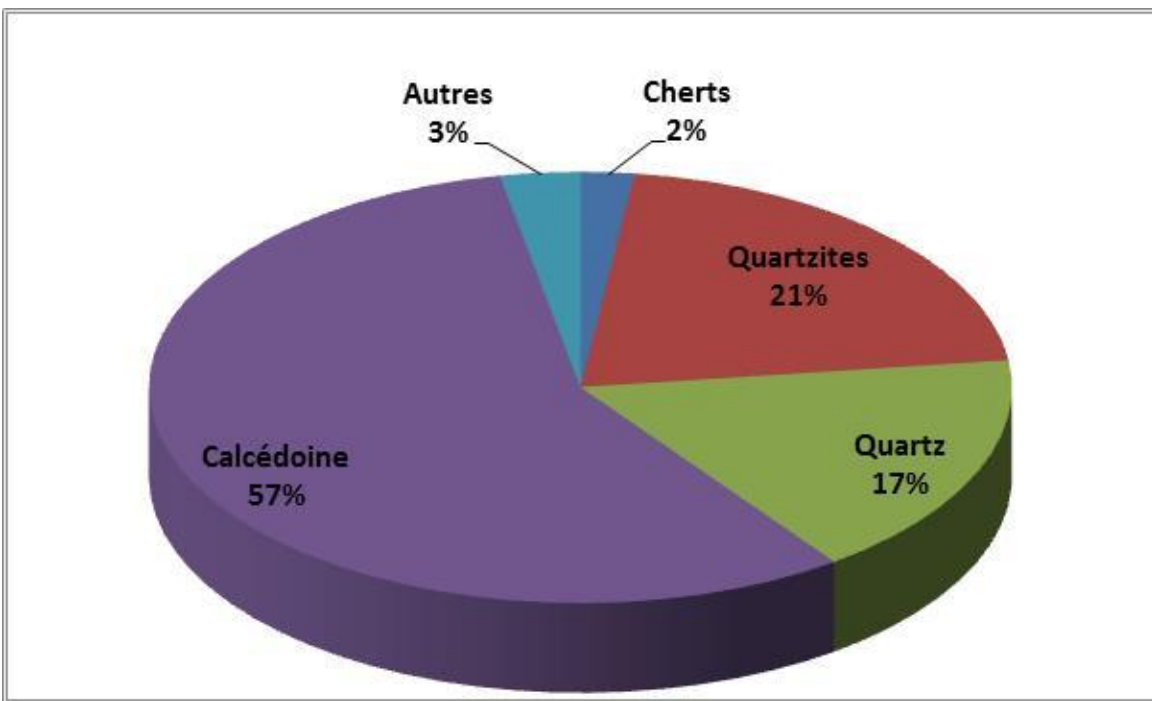


Figure 111 : DcEx-1, ventilation des matières premières lithiques toute typologie confondue.

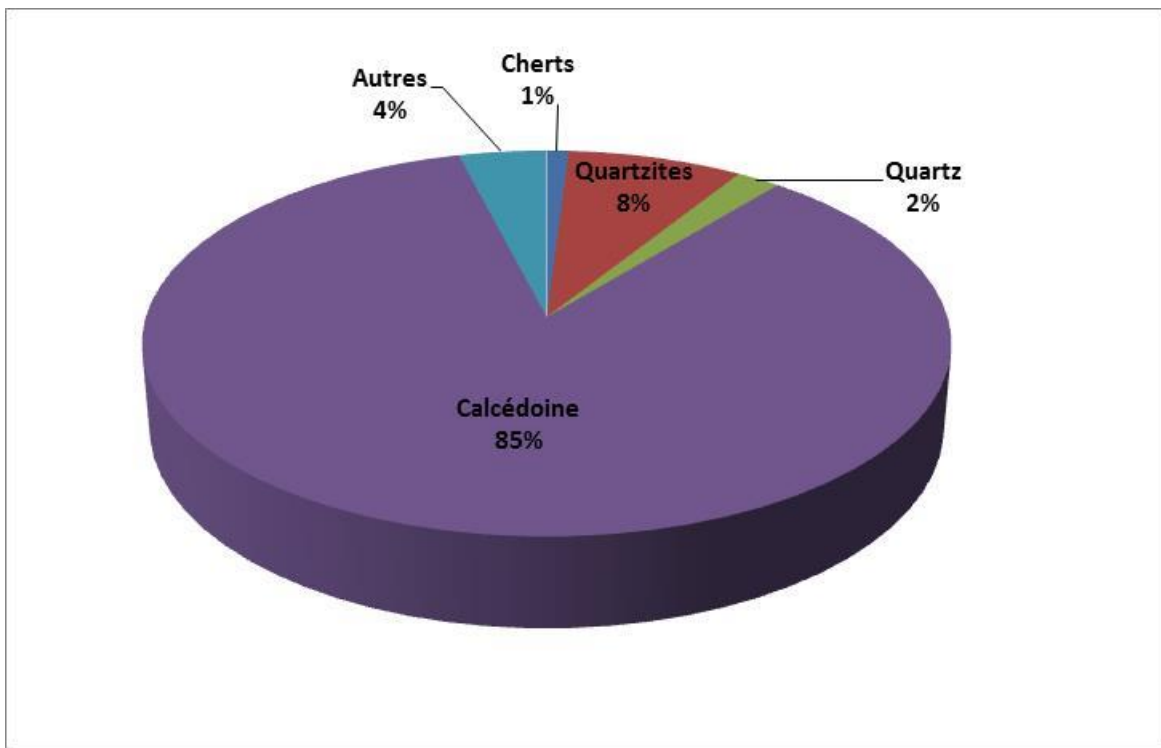


Figure 112 : Site DcFa-5, distribution des matières premières.



Figure 113 : Environ du site DcFa-5 en 1926, au moment de la mise en eau du réservoir du lac Saint-Jean (Rio-Tinto Alcan, Programme de stabilisation des berges du lac Saint-Jean, collection 1926A, cliché 26a040052).

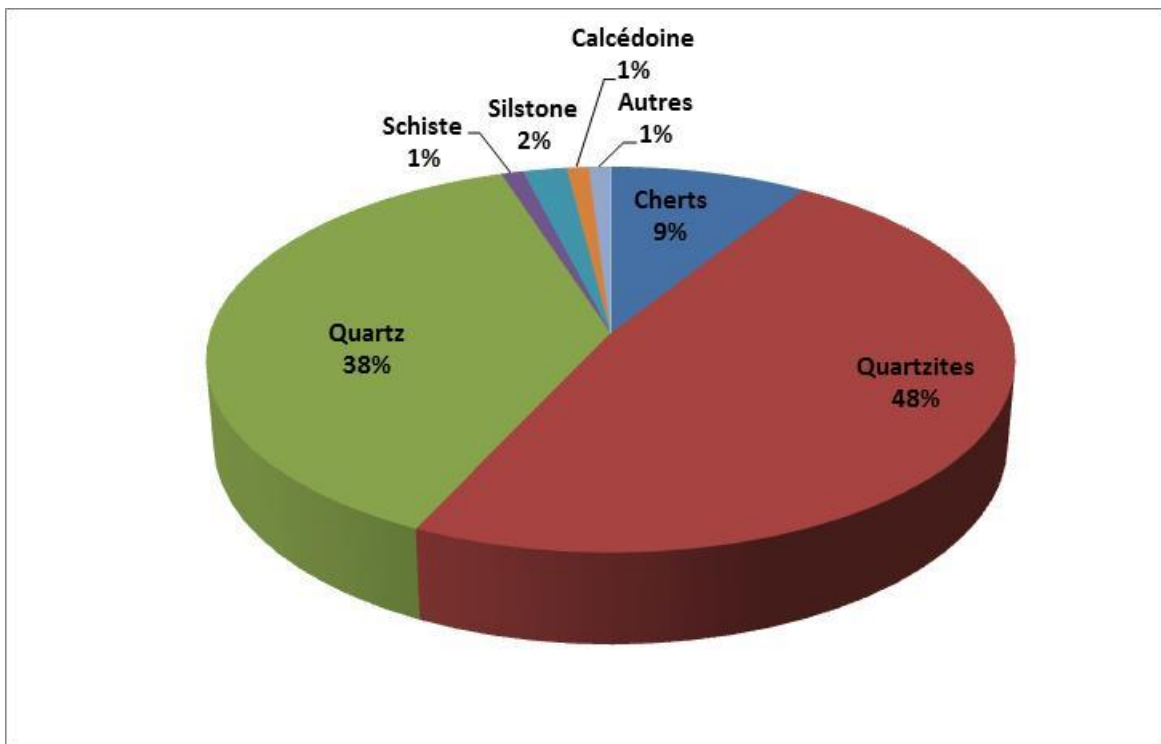


Figure 114 : Site DhFk-7, ventilation des matières premières lithiques chez le débitage.

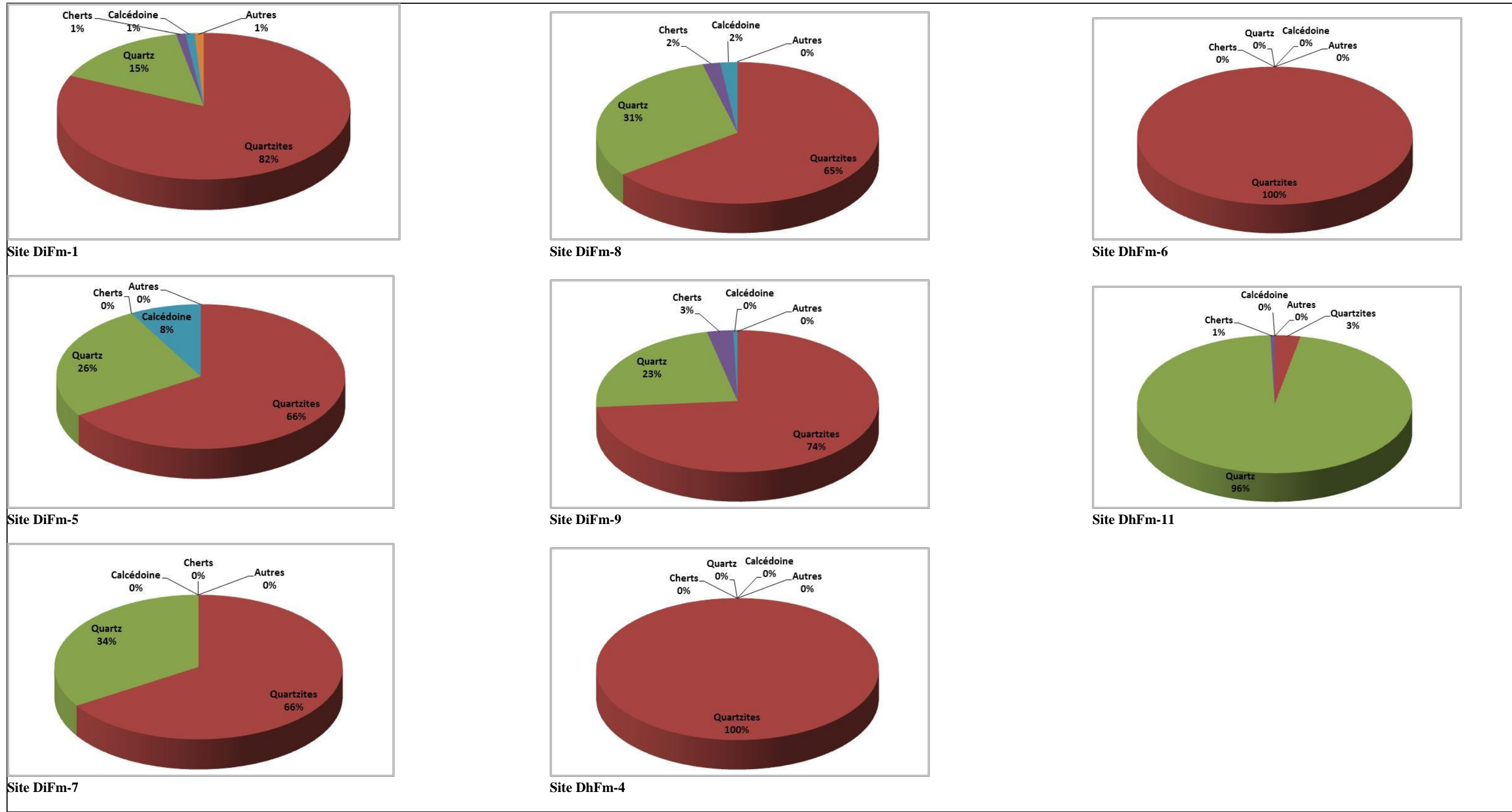


Figure 115 : Sites à céramique de la rivière Ashuapmushuan, ventilation des matières premières lithiques.

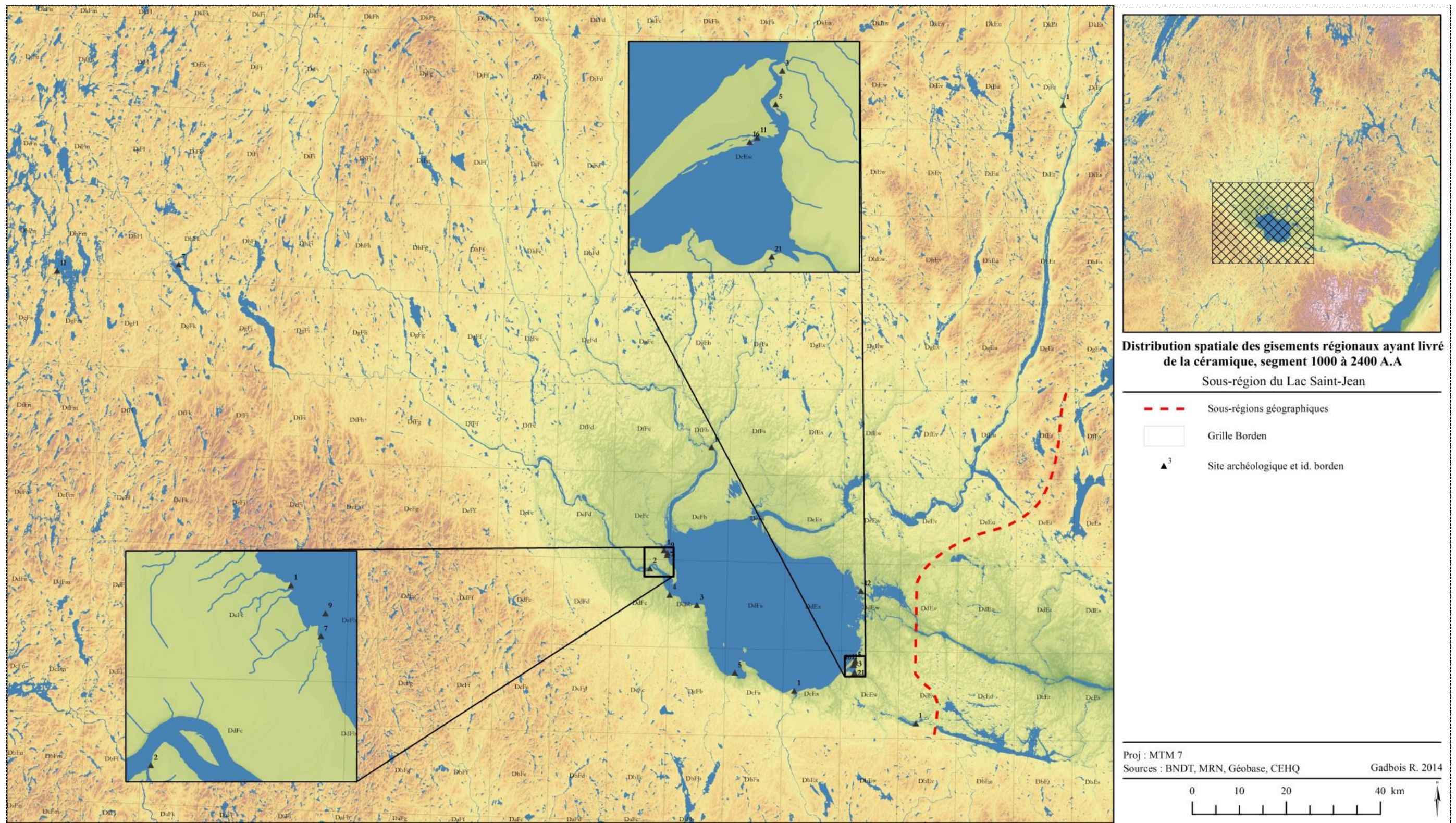


Figure 116: Distribution spatiale des gisements régionaux ayant livré de la céramique du Sylvicole moyen. Sous-régions du lac Saint-Jean.

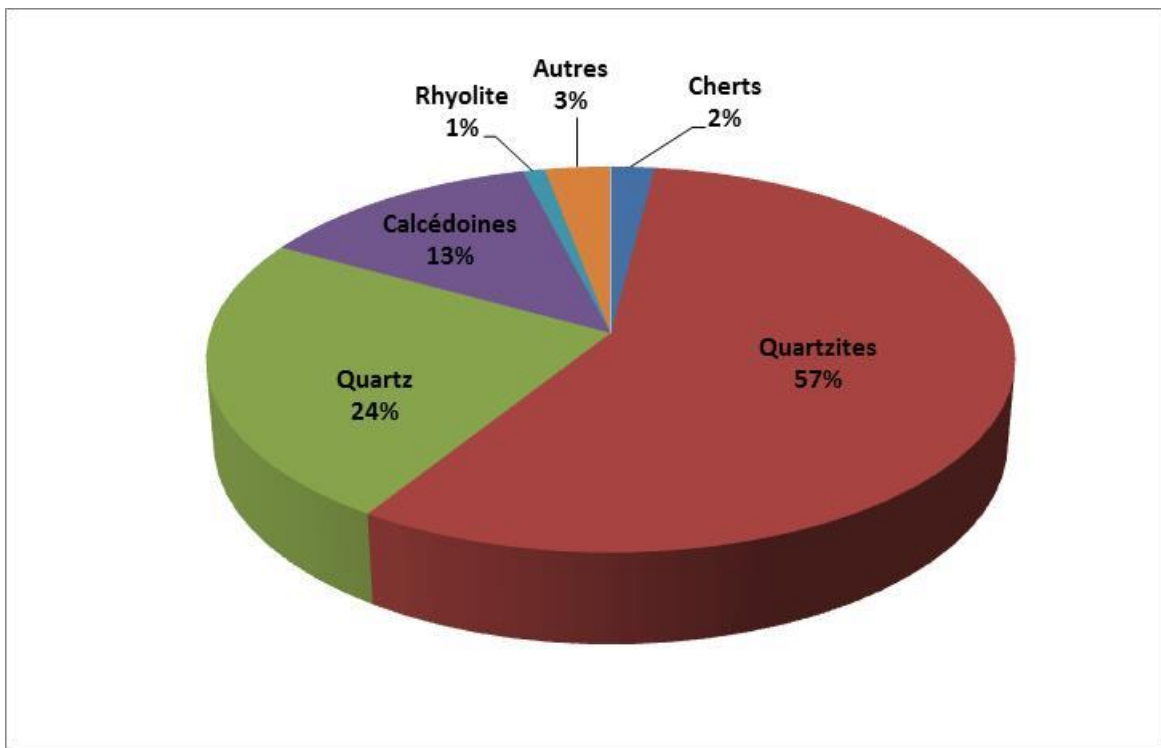


Figure 117 : Site DeFc-1/9, distribution des matières premières.

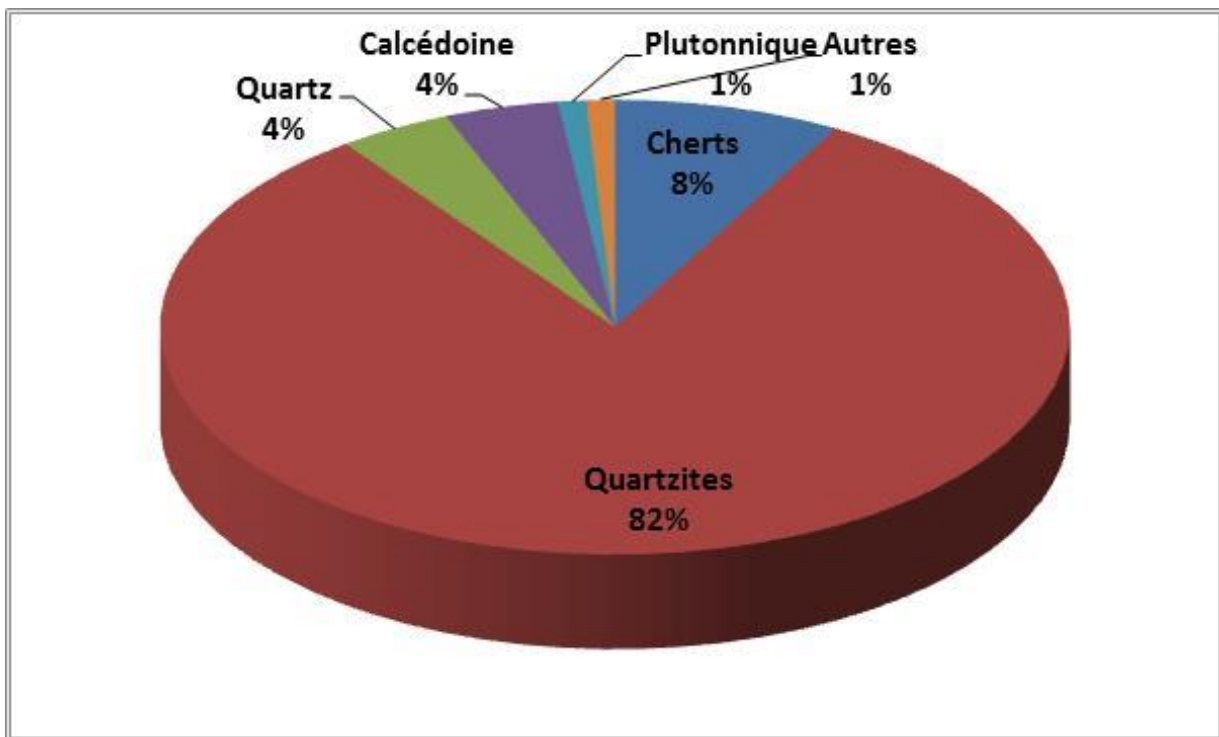


Figure 118 : Site DfEu-3, distribution des matières premières.

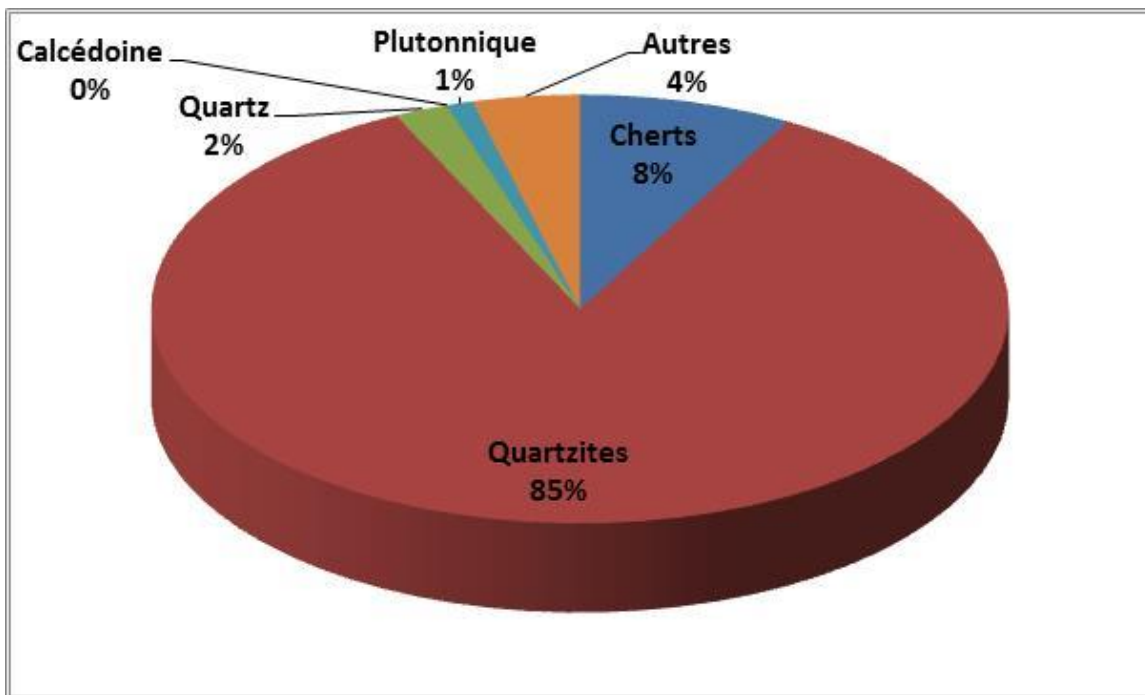


Figure 119 : Site DfEu-2, distribution des matières premières.



Figure 120: Site DfEu-2, aire de combustion observée en surface du site par eaux basses.



Figure 121: Site DfEu-2, aire de combustion observée en surface du site par eaux basses.



Figure 122 : DjEt-1, aire E.1, sol rubéfié (Langevin, Tremblay, Girard et Moreau 2005).



Figure 123: DjEt-1, aire E.1, amoncellement de pierres chauffées (Langevin, Tremblay, Girard et Moreau 2005).

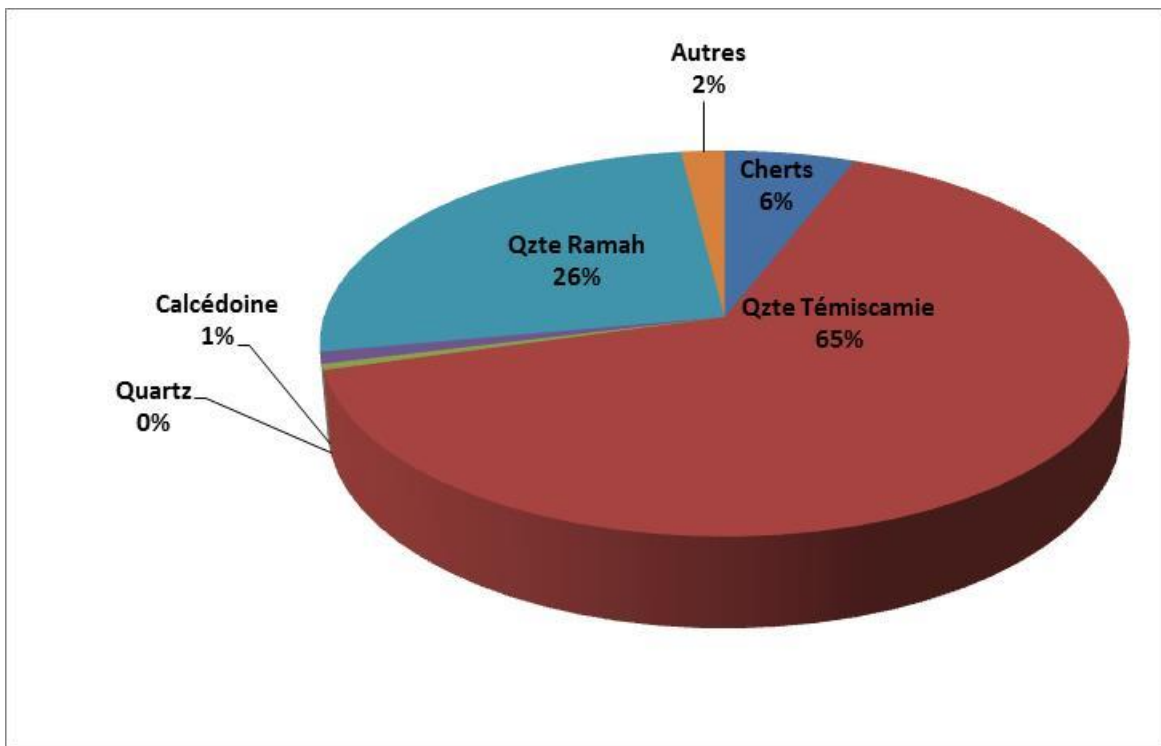


Figure 124 : Site DjEt-1, section E, distribution des matières premières.

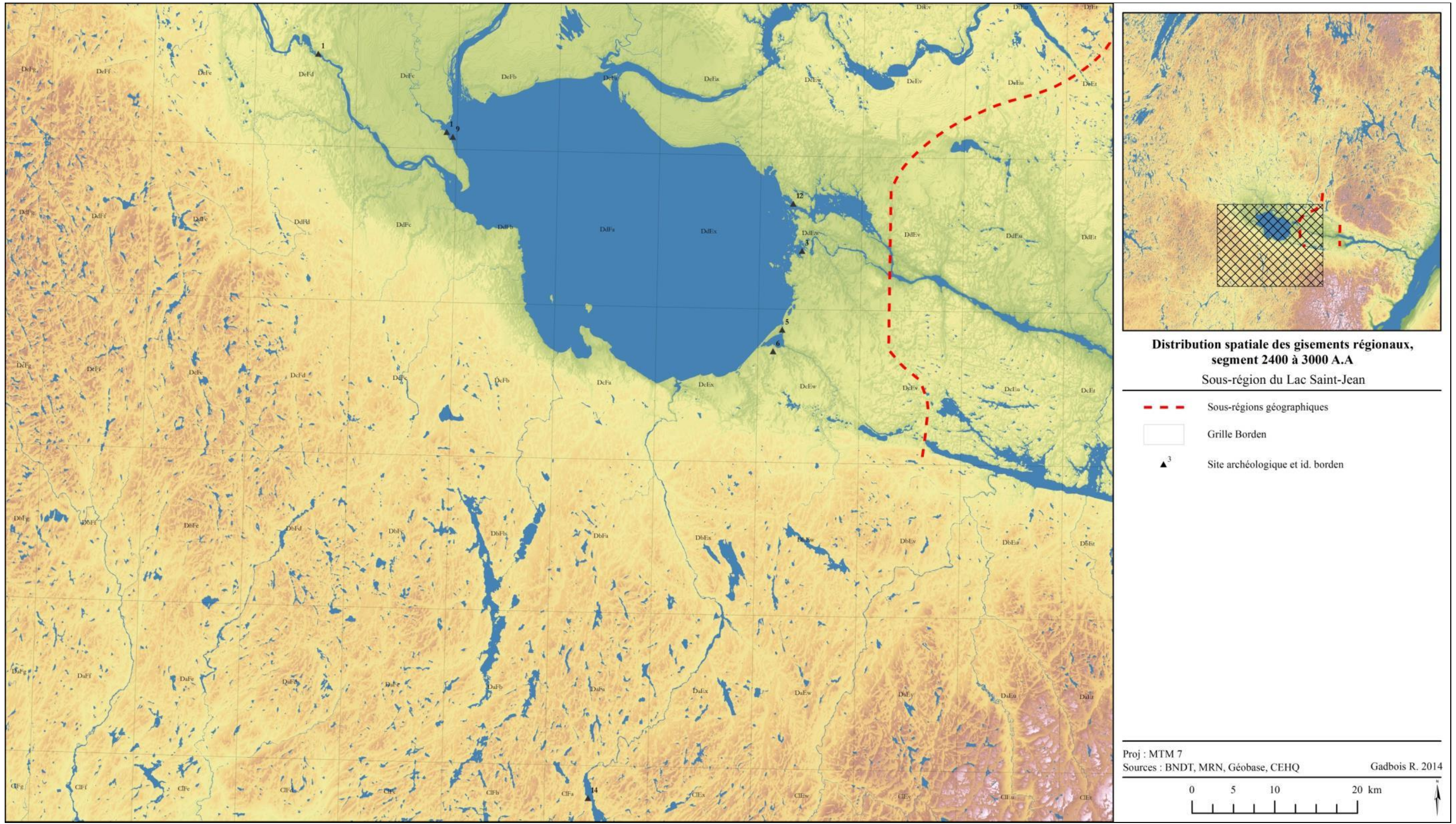


Figure 125: Distribution spatiale des gisements régionaux ayant livré des vestiges du Sylvicole inférieur. Sous-région du lac Saint-Jean.

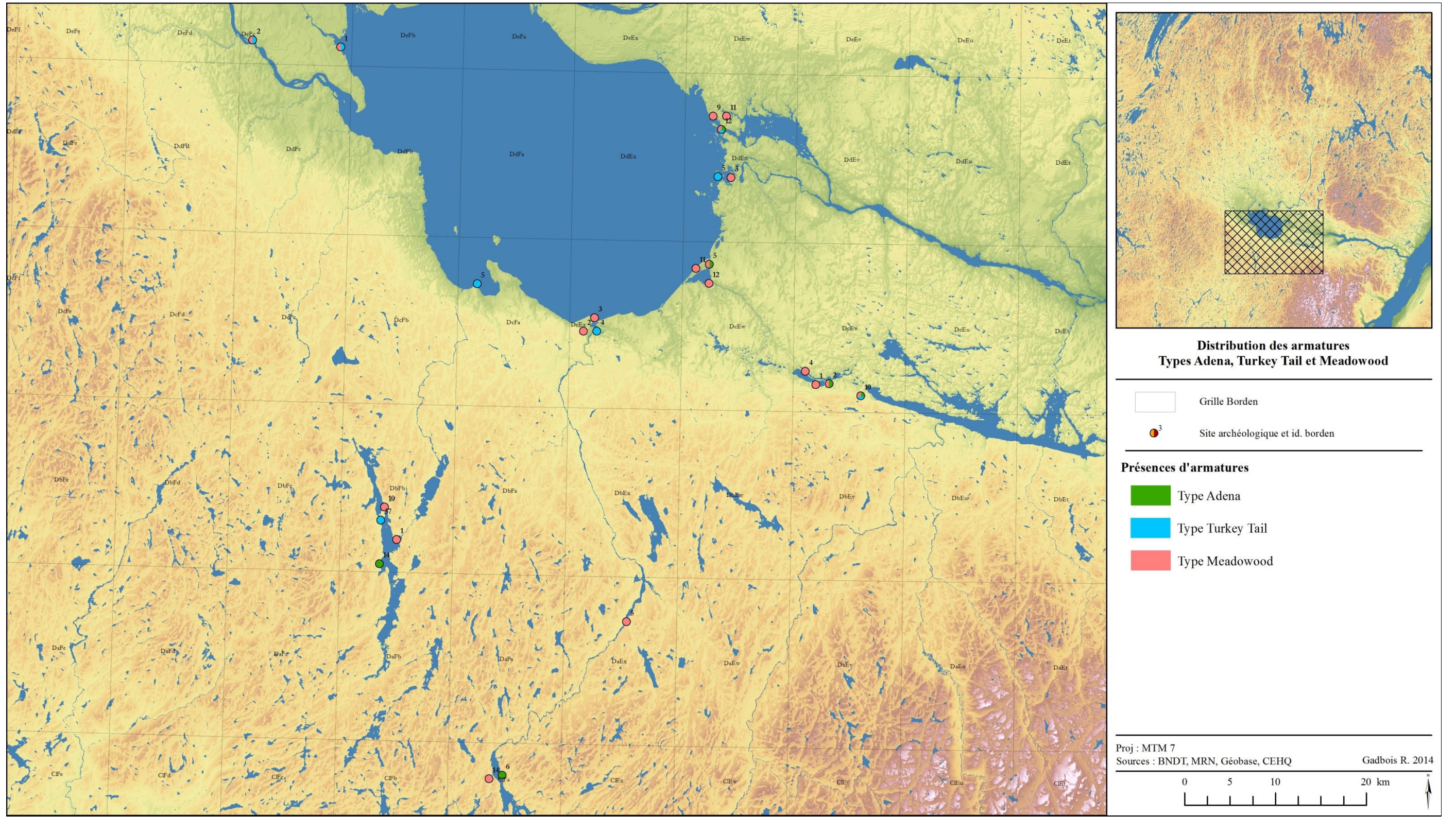


Figure 126: Distribution spatiale des gisements régionaux ayant livré des pointes de jet de type Adéna, Turkey-Tail et Meadowood.

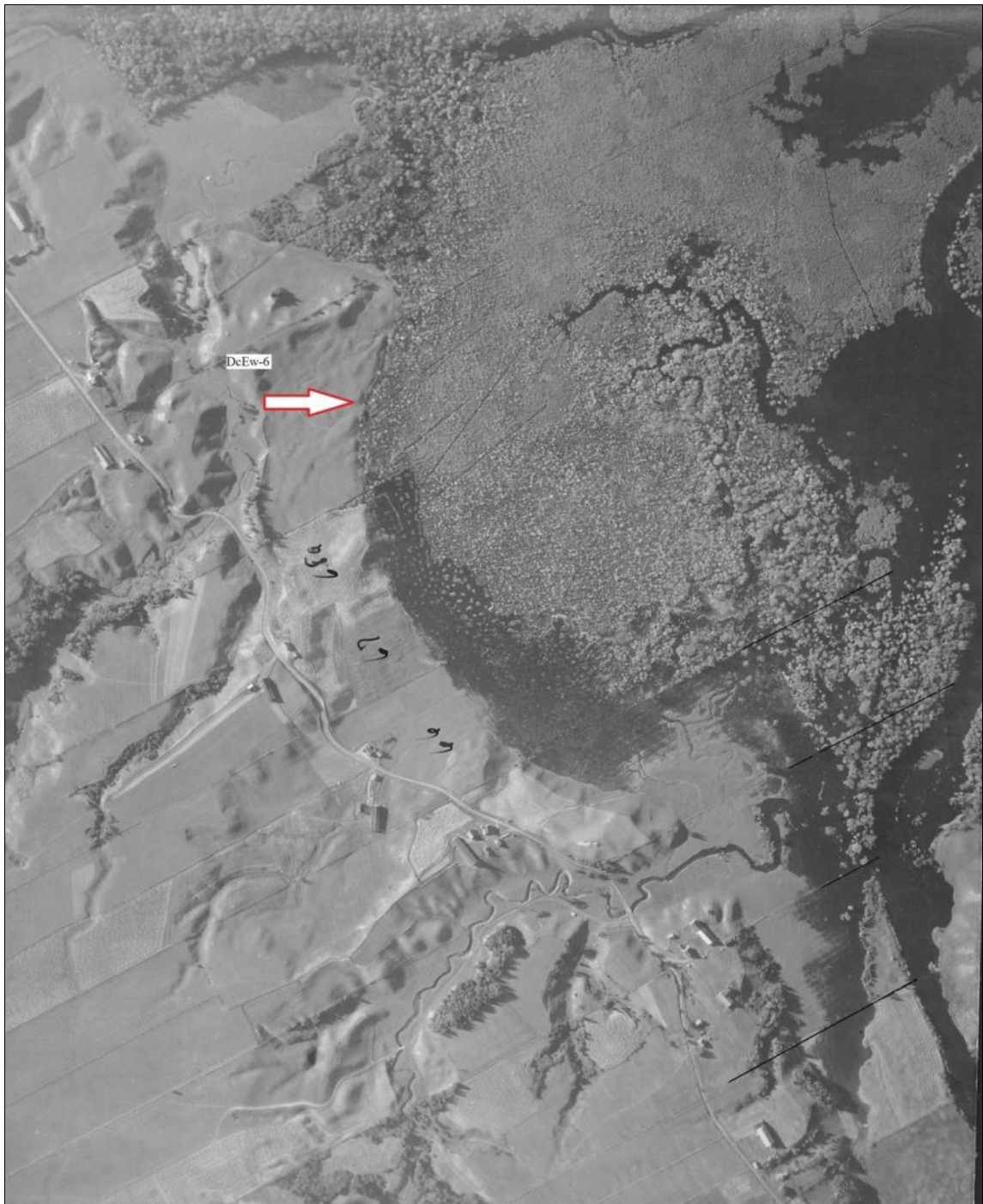


Figure 127 : Secteur du site DcEw-6 avant l'érosion des berges (Rio-Tinto Alcan, Programme de stabilisation des berges, collection 1926 #26b350312).

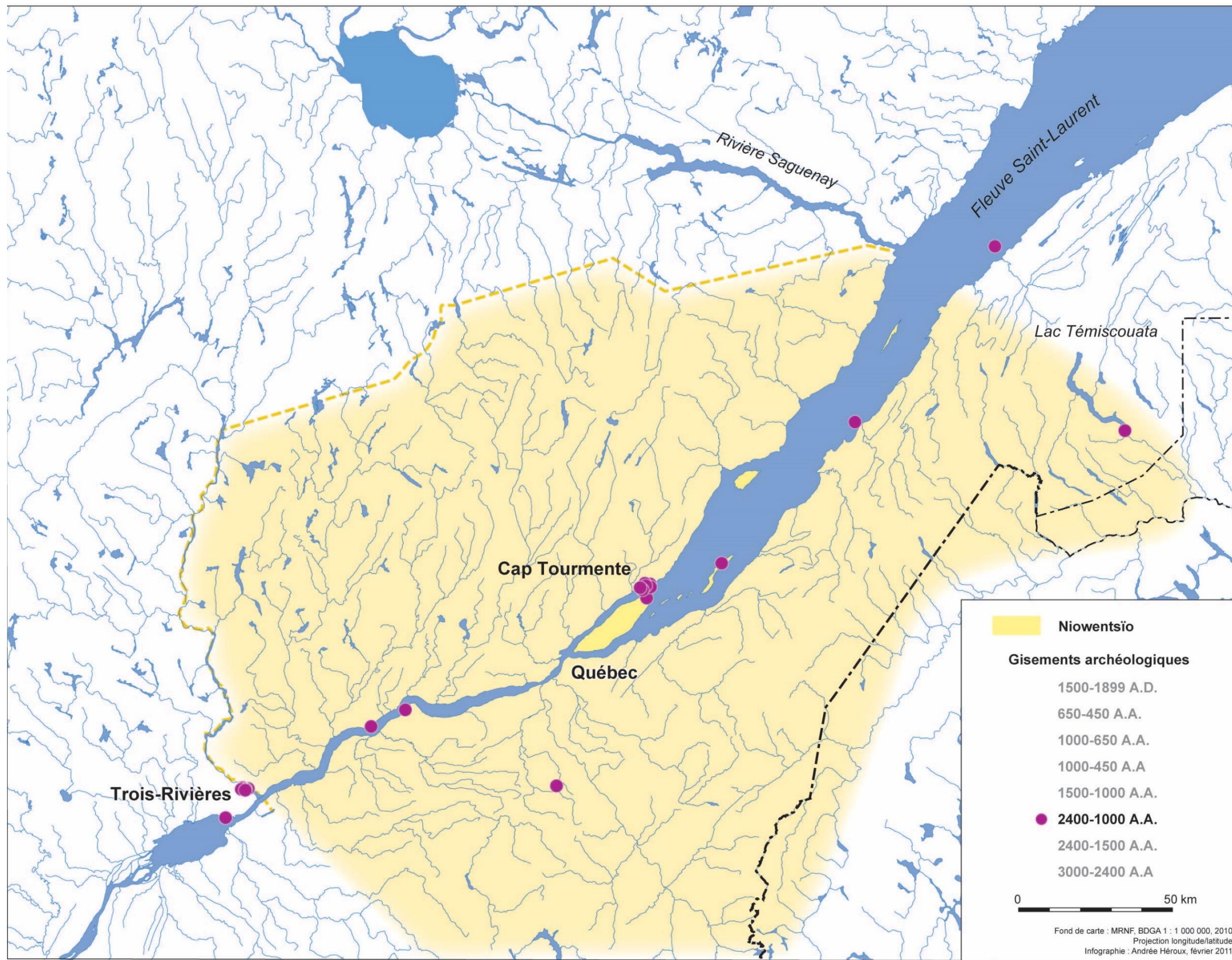


Figure 128 : Occurrence de céramique du Sylvicole moyen dans l'estuaire du fleuve Saint-Laurent jusqu'à Baie-Sainte-Catherine (Langevin 2011).

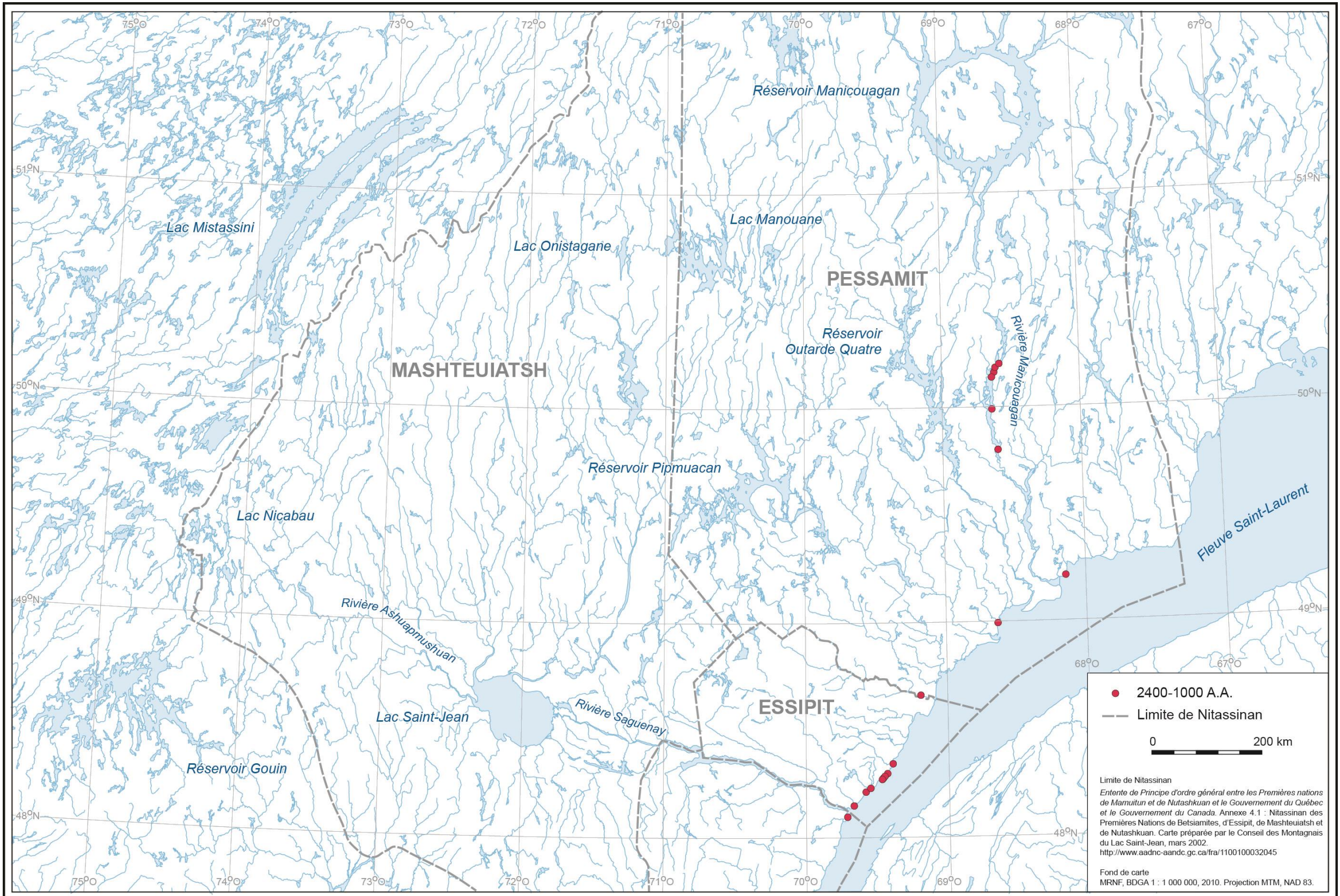


Figure 129 : Occurrence de céramique du Sylvicole moyen sur la Haute Côte-Nord (Langevin 2012).



Figure 130 : Tracé théorique de déplacement sur le fjord du Saguenay, secteur anse à la Croix (modifiée de <http://atlas.nrcan.gc.ca>).



Figure 131 : Site DcEp-2, ourlet d'habitation (les contours avaient été saupoudrés de poudre).

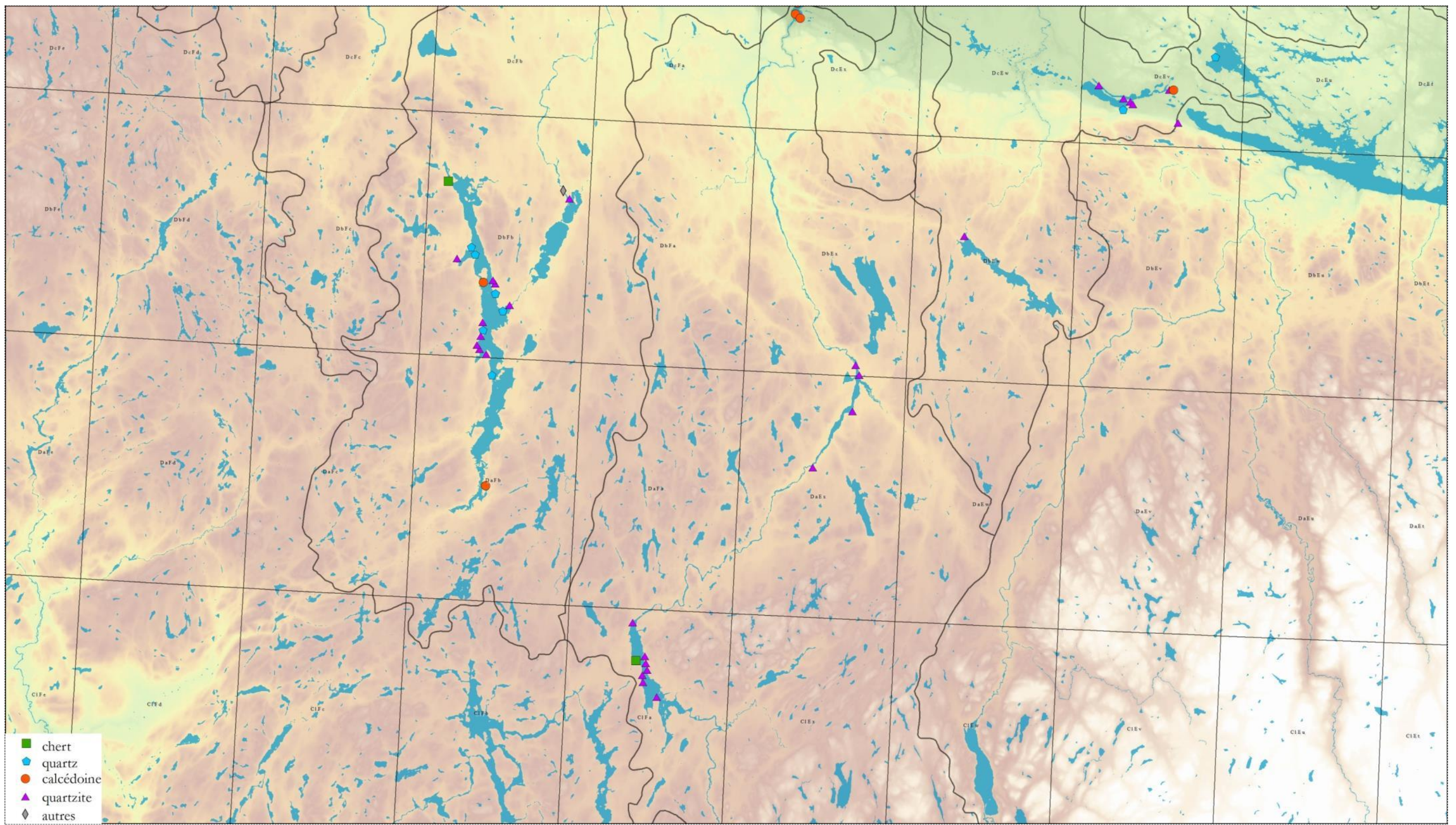


Figure 132 : Distribution par matière première dominante des sites des Hautes-terres du lac Saint-Jean contenant plus de 50 objets lithiques. Section sud.

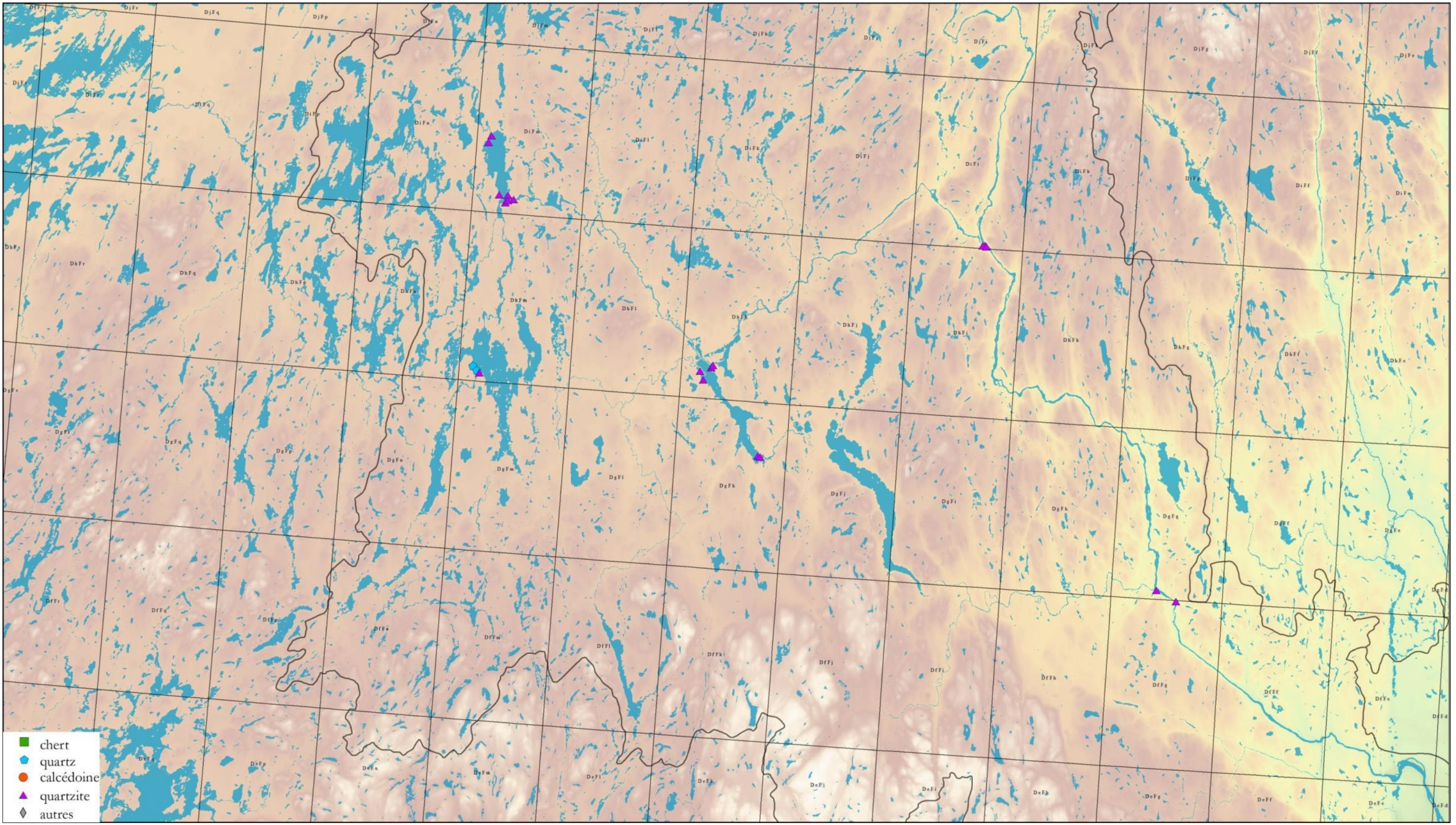


Figure 133 : Distribution par matière première dominante des sites des Hautes-terres du lac Saint-Jean contenant plus de 50 objets lithiques. Section nord.

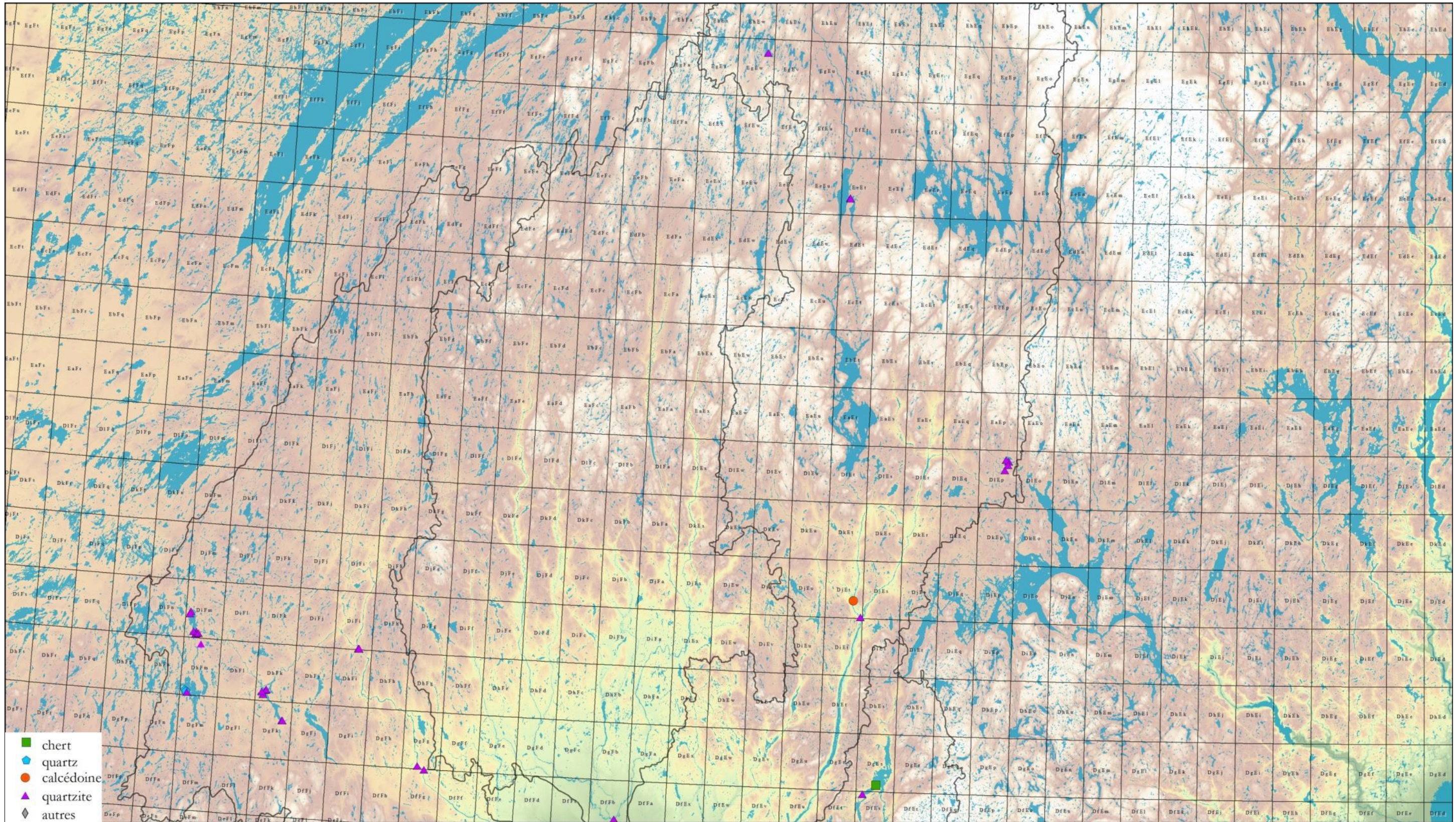


Figure 134 : Distribution par matière première dominante des sites des Hautes-terres du lac Saint-Jean contenant plus de 50 objets lithiques. Section ouest.

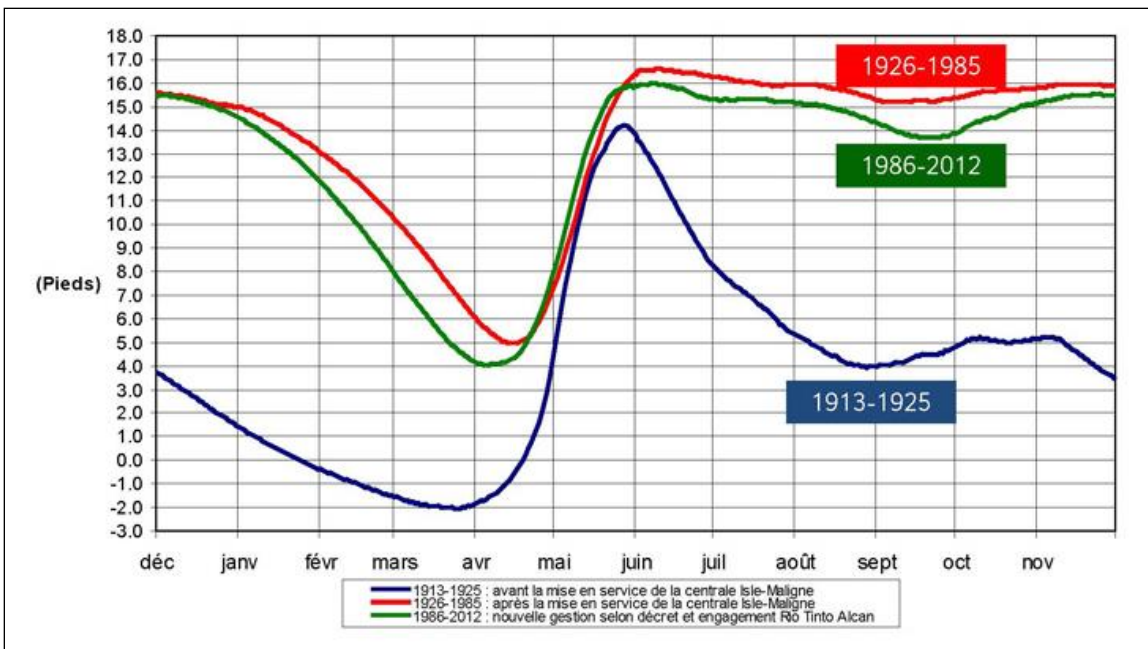


Figure 135 : Niveaux historiques mensuelles du lac Saint-Jean (<http://www.energie.alcan.com/index.php?id=12>).



Figure 136 : Extrait d'une carte de l'atelier Sanson 1656.



Figure 137 : Extrait d'une carte de l'atelier Sanson 1690.

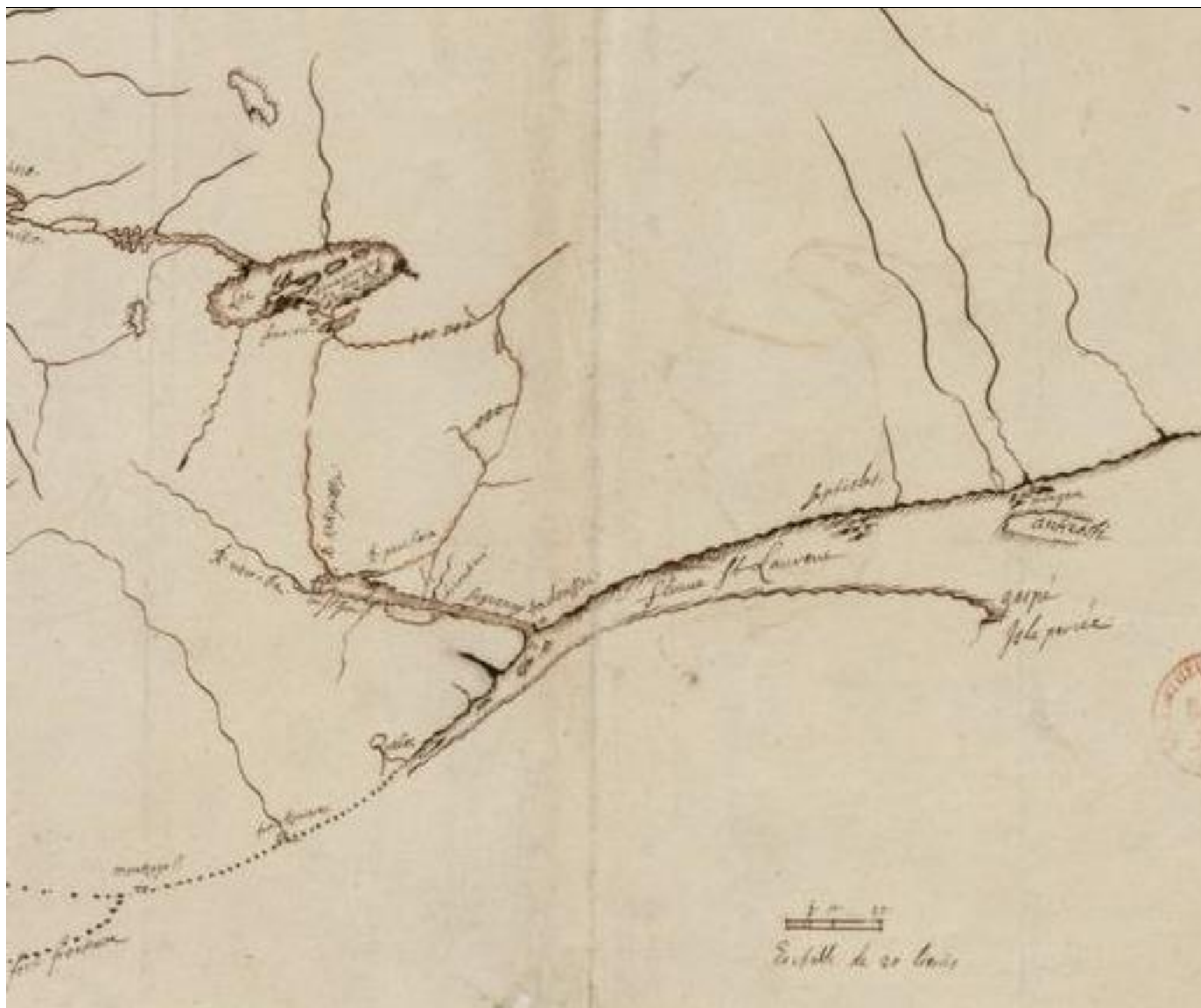


Figure 138 : Extrait de la carte de Joliet 1679 (source : Gallica.bnf.fr).

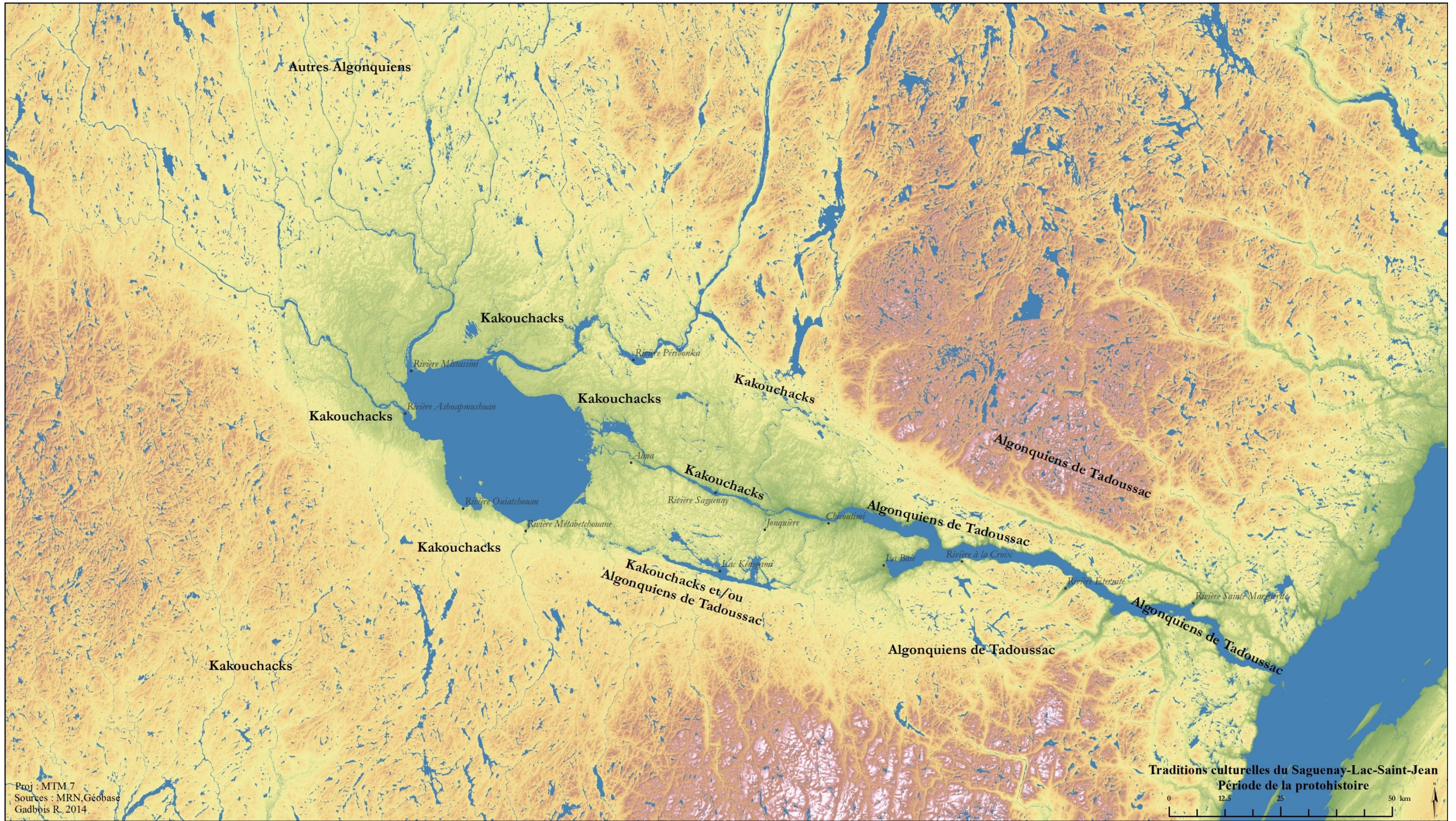


Figure 139 : Géographie humaine à la fin de la Protohistoire.

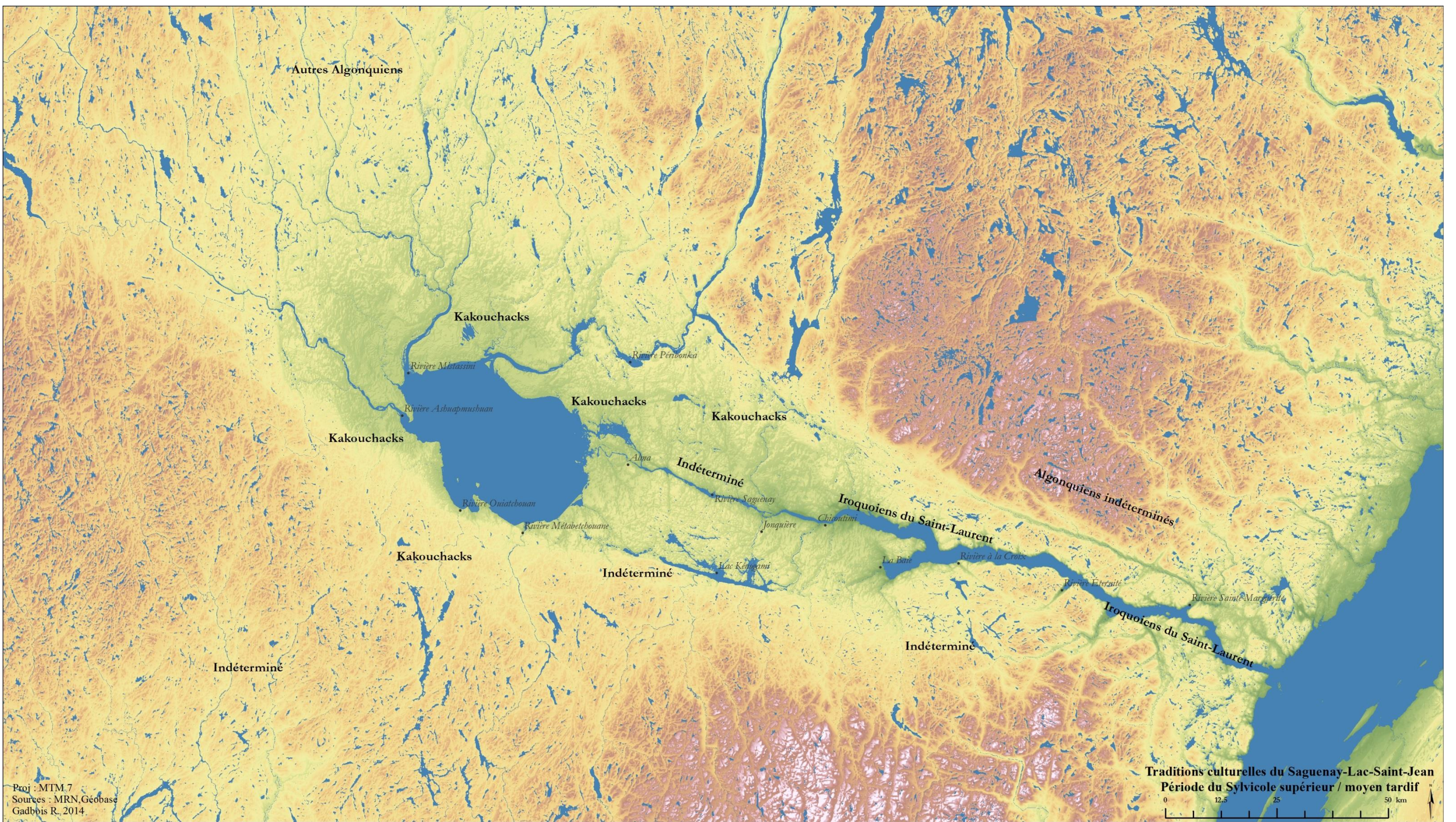


Figure 140 : Géographie humaine au Sylvicole Supérieur et au début de la Protohistoire.

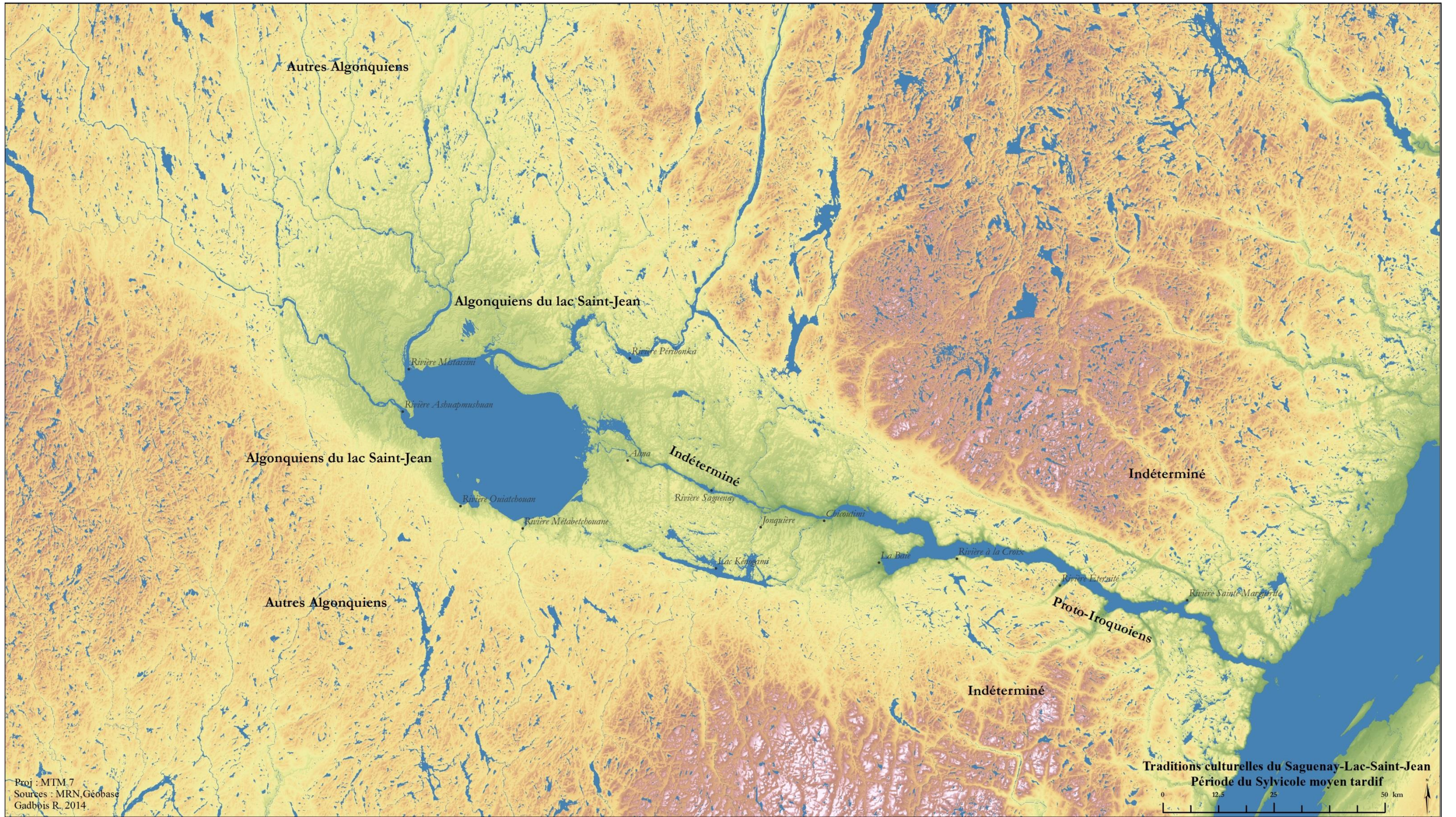


Figure 141 : Géographie humaine lors du Sylvicole moyen tardif.

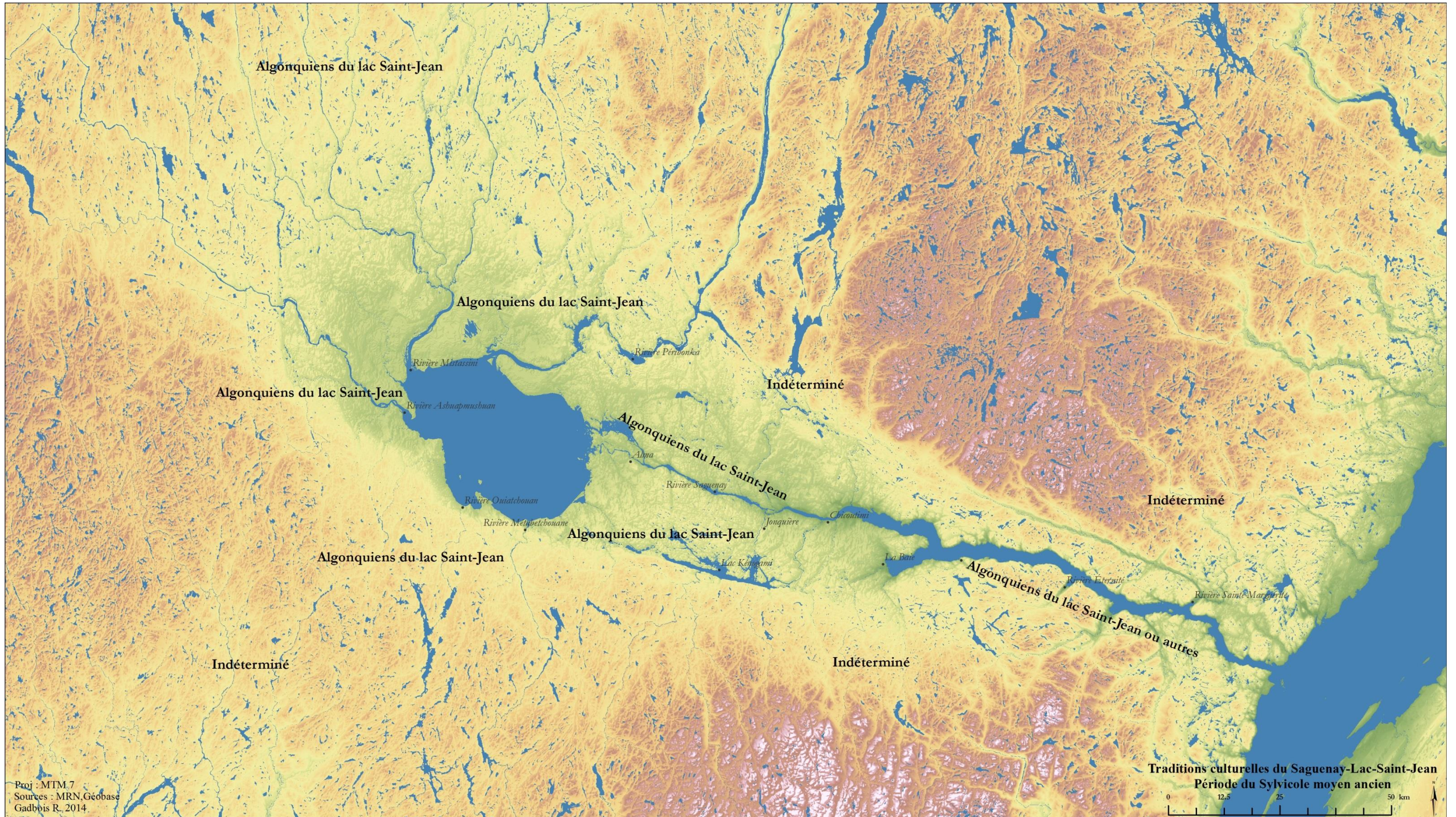


Figure 142 : Géographie humaine lors du Sylvicole moyen ancien.

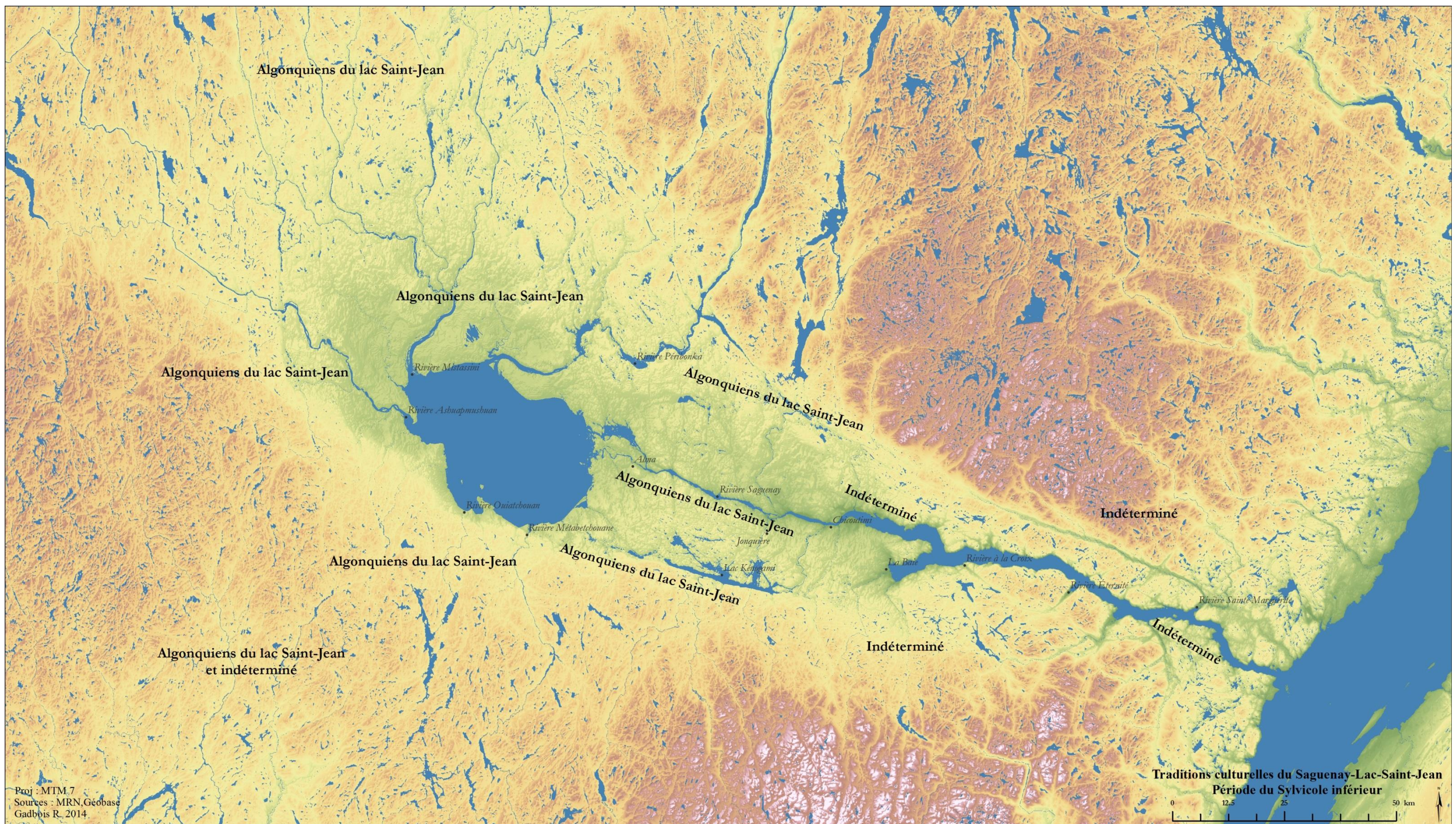


Figure 143 : Géographie humaine lors du Sylvicole inférieur.

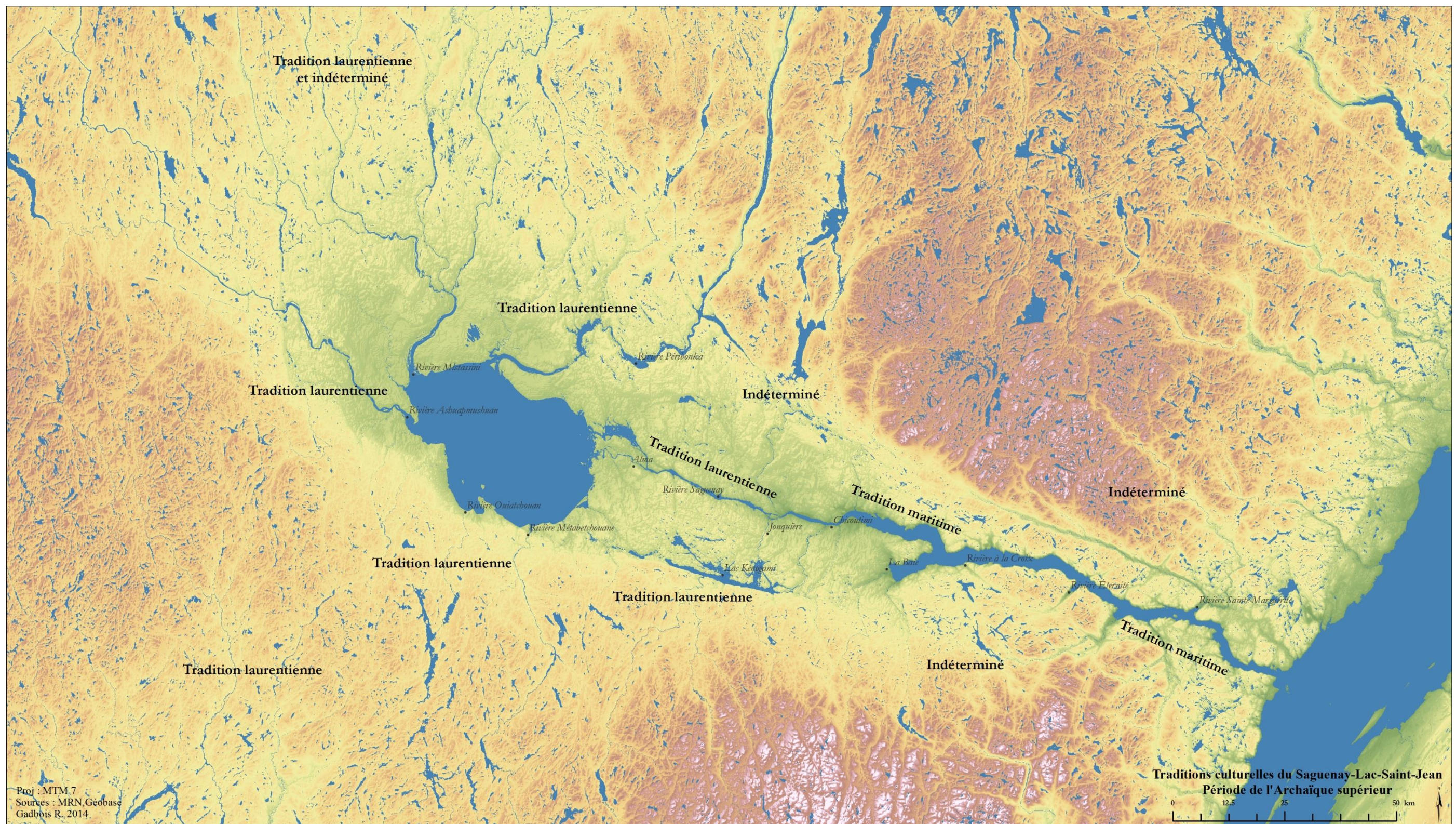


Figure 144 : Géographie humaine lors de l'Archaïque supérieur.